



UNIVERSIDAD NACIONAL DE INGENIERÍA
FACULTAD DE INGENIERÍA CIVIL
CENTRO PERUANO JAPONÉS DE INVESTIGACIONES
SÍSMICAS Y MITIGACIÓN DE DESASTRES



| | |
|------------------------------|---|
| PROGRAMA PRESUPUESTAL | 0068: REDUCCIÓN DE VULNERABILIDAD Y ATENCIÓN DE EMERGENCIAS POR DESASTRES |
| PRODUCTO | 3000562. MUNICIPIOS PROMUEVEN LA ADECUADA OCUPACIÓN Y USO DEL TERRITORIO FRENTE AL RIESGO DE DESASTRES |
| ACTIVIDAD | 5001593. FORMULACIÓN Y ACTUALIZACIÓN DE ESTUDIOS TERRITORIALES PARA EL ANÁLISIS DE RIESGO A NIVEL URBANO |
| FINALIDAD | 0053449. ELABORACIÓN DE ESTUDIOS TERRITORIALES PARA LA INCORPORACIÓN DEL ANÁLISIS DE LA GESTIÓN DE RIESGOS |
| INFORME | ANÁLISIS DE RIESGO EN ZONAS URBANAS DEL DISTRITO DE PUNTA HERMOSA |



LIMA, ABRIL 2016



ÍNDICE

| | |
|--|-----------|
| ÍNDICE | 1 |
| LISTA DE FIGURAS | 4 |
| LISTA TABLAS | 8 |
| 1. ANTECEDENTES | 9 |
| 2. INTRODUCCIÓN | 9 |
| 3. MAPAS DE VULNERABILIDAD | 10 |
| 3.1. Exploración de Campo de Tipo Muestral | 10 |
| 3.1.1. Preparación de Actividades, Coordinación y Personal | 10 |
| 3.1.2. Metodología de toma de datos | 10 |
| 3.1.3. Plantilla para la encuesta | 10 |
| 3.1.4. Sectorización y Levantamiento de Datos de Campo | 12 |
| 3.1.5. Procedimiento y control de calidad de datos de campo..... | 13 |
| 3.1.6. Georeferenciación y Compatibilización de Planos | 14 |
| 3.1.7. Sistematización de la Información..... | 14 |
| 3.1.8. Ubicación de las manzanas a evaluar..... | 15 |
| 3.2. Informe de campo | 17 |
| 3.2.1. Edificaciones..... | 17 |
| 3.2.2. Edificaciones esenciales | 21 |
| 3.3. Base de datos geo-espacial | 28 |
| 3.3.1. Mapa de Uso de Suelo | 30 |
| 3.3.2. Mapa de Materiales Predominantes..... | 31 |
| 3.3.3. Mapa de Alturas de Edificación | 32 |



UNIVERSIDAD NACIONAL DE INGENIERÍA FACULTAD DE INGENIERÍA CIVIL

CENTRO PERUANO-JAPONÉS DE INVESTIGACIONES
SÍSMICAS Y MITIGACIÓN DE DESASTRES



| | | |
|---|--|-----------|
| 3.3.4. | Mapa de Tipologías Estructurales | 33 |
| 3.3.5. | Mapa de Estado de Conservación | 35 |
| 3.3.6. | Mapa de Vulnerabilidad | 38 |
| 4. | MAPAS DE RIESGO | 44 |
| 4.1. | Elaboración de Estudio de Riesgo para un Escenario Sísmico | 44 |
| 4.2. | Mapa de riesgo de las edificaciones evaluadas para un escenario sísmico | 44 |
| 4.3. | Conclusiones de evaluación del riesgo sísmico para un escenario de sismo severo | 47 |
| 5. | MAPAS DE AMENAZA POR TSUNAMI | 48 |
| 5.1. | Sismicidad en el Perú | 49 |
| 5.2. | Tsunamis históricos en el Perú | 51 |
| 5.3. | Ámbito de Estudio | 53 |
| 5.4. | Procedimiento de Análisis..... | 54 |
| 5.5. | Consideraciones Teóricas..... | 55 |
| 5.5.1. | Conceptos Básicos | 55 |
| 5.6. | Análisis del Tsunami para el distrito de Punta Hermosa | 61 |
| 5.6.1. | Fase de la Deformación Inicial de la Superficie del Océano..... | 61 |
| 5.6.2. | Fase de la Propagación del Tsunami..... | 65 |
| 5.6.3. | Fase de Inundación | 69 |
| 5.7. | Análisis de Resultados | 72 |
| 5.8. | Recomendaciones..... | 75 |
| ANEXO I. TABLA DE LOS PARÁMETROS DE LA FUENTE SÍSMICA QUE CONSIDERA 280 SUB FALLAS. | | 82 |
| ANEXO II. TABLA DE LOS PARÁMETROS DE LA FUENTE SÍSMICA QUE CONSIDERA 5 SUB FALLAS. | | 86 |



**UNIVERSIDAD NACIONAL DE INGENIERÍA
FACULTAD DE INGENIERÍA CIVIL**

**CENTRO PERUANO-JAPONÉS DE INVESTIGACIONES
SÍSMICAS Y MITIGACIÓN DE DESASTRES**





LISTA DE FIGURAS

| | |
|--|----|
| Figura 1. Formato de Ayuda para Codificación del Lote | 11 |
| Figura 2. Formato de evaluación para la edificación representativa de la manzana | 12 |
| Figura 3. Sectores de evaluación del distrito de Punta Hermosa..... | 13 |
| Figura 4. Manzanas totales (243) versus manzanas seleccionadas (108)..... | 16 |
| Figura 5. Izquierda: Edificaciones multifamiliares recientes en parte superior del talud y viviendas unifamiliares pre existentes en la Playa Señoritas. Derecha: Restaurantes en la Antigua Panamericana Sur..... | 17 |
| Figura 6: Vivienda de albañilería confinada de dos niveles en topografía plana. | 18 |
| Figura 7. Vivienda de albañilería confinada de tres niveles adaptada a la pendiente del terreno..... | 18 |
| Figura 8. Viviendas de albañilería de tres niveles..... | 18 |
| Figura 9. Vivienda de albañilería confinada del Sector 02. | 19 |
| Figura 10. Edificio de concreto armado del Sector 02..... | 19 |
| Figura 11. Pendiente del terreno en Punta Hermosa..... | 19 |
| Figura 12. Vivienda de mampostería de tres niveles del sector 03 | 20 |
| Figura 13. Edificios multifamiliares de 4 niveles en el sector 03 | 20 |
| Figura 14. Edificación de 2 niveles, que presenta problemas por humedad en el sector 03. 21 | |
| Figura 15. Vivienda de un nivel, afectada por problemas de salinidad en el sector 03. | 21 |
| Figura 16: Parroquia Católica Romana Juan Pablo II. | 22 |
| Figura 17: Vista Panorámica de la Parroquia Católica Romana Juan Pablo II..... | 22 |
| Figura 18: Comisaría PNP Punta Hermosa. | 23 |
| Figura 19: I.E. Inicial Virgen del Carmen. | 23 |
| Figura 20. I.E. Inicial N° 654 Nuestra Señora del Carmen..... | 24 |
| Figura 21. Grifo PECSA. | 24 |
| Figura 22. I.E. Víctor A. Belaunde Diez Canseco N°3060..... | 25 |
| Figura 23. I.E. Inicial N° 546..... | 25 |
| Figura 24. Municipio de Punta Hermosa..... | 26 |
| Figura 25. Parroquia “Nuestra Señora de Lourdes”..... | 26 |



UNIVERSIDAD NACIONAL DE INGENIERÍA FACULTAD DE INGENIERÍA CIVIL

CENTRO PERUANO-JAPONÉS DE INVESTIGACIONES
SÍSMICAS Y MITIGACIÓN DE DESASTRES

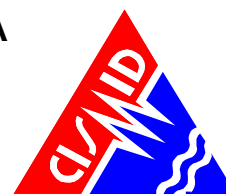


| | |
|--|----|
| Figura 26. Antiguo Local de la Municipalidad de Punta Hermosa..... | 27 |
| Figura 27. Centro de Salud. | 27 |
| Figura 28. Club Náutico..... | 27 |
| Figura 29. Base de datos de los lotes representativos por manzana | 28 |
| Figura 30. Base de datos Geo-espacial, integración de información cartográfica, descriptiva y procesamiento..... | 30 |
| Figura 31. Distribución del uso del suelo de la muestra del distrito de Punta Hermosa | 31 |
| Figura 32. Mapa de Distribución del uso del suelo de la muestra del distrito de Punta Hermosa | 31 |
| Figura 33. Distribución de los materiales de construcción de la muestra del distrito Punta Hermosa | 32 |
| Figura 34. Mapa de Distribución de los materiales de construcción predominante del distrito de Punta Hermosa | 32 |
| Figura 35. Distribución del número de pisos de las edificaciones del distrito de Punta Hermosa | 33 |
| Figura 36. Mapa temático del número de pisos de las edificaciones del distrito de Punta Hermosa | 33 |
| Figura 37. Distribución del uso del sistema estructural muestra del distrito de Punta Hermosa | 34 |
| Figura 38. Mapa del uso del sistema estructural muestra del distrito de Punta Hermosa | 35 |
| Figura 39. Estado de conservación de la muestra de edificaciones del distrito de Punta Hermosa | 37 |
| Figura 40. Mapa del estado de conservación de la muestra de edificaciones del distrito de Punta Hermosa | 37 |
| Figura 41. Edificación representada por un sistema equivalente | 39 |
| Figura 42. Mapa de vulnerabilidad del Distrito de Punta Hermosa | 43 |
| Figura 43. Proceso de generación del mapa de riesgo..... | 45 |
| Figura 44. Resultado del cálculo del costo de reparación para las manzanas evaluadas | 46 |
| Figura 45. Imagen de interpolación del costo de reparación (método IDW)..... | 47 |
| Figura 46. Sismos ocurridos en el Perú desde el año 1973 al año 2017 con magnitudes mayores a 5, base de datos (USGS)..... | 50 |



UNIVERSIDAD NACIONAL DE INGENIERÍA FACULTAD DE INGENIERÍA CIVIL

CENTRO PERUANO-JAPONÉS DE INVESTIGACIONES
SÍSMICAS Y MITIGACIÓN DE DESASTRES



| | |
|---|----|
| Figura 47. Zona de ruptura de los terremotos históricos ocurridos en el Perú. Las longitudes de las barras representan la longitud de ruptura, las barras con líneas punteadas representan los terremotos que no han producido tsunamis y la línea roja muestra la ubicación de la Ciudad de Lima. (Dorbath et al., 1990) | 51 |
| Figura 48. Ubicación de los terremotos, y las réplicas, que produjeron los cuatro tsunamis que afectaron al Perú y otros países según NGDC Tsunami Database..... | 52 |
| Figura 49. La erosión producto del tsunami del 23 de junio del año 2001 en la playa la Punta-Camaná, la altura máxima de ola en esta zona fue hasta de 7.5m (izquierda) (ITST, 2001a). Un bote pesquero arrastrado 1.3km en la zona donde la inundación llegó a 2km producto del tsunami del 15 de agosto de 2007 (derecha) (Fritz et al., 2008)..... | 53 |
| Figura 50. Localización del distrito de Punta Hermosa. | 54 |
| Figura 51. Proceso del origen de los tsunamis en las costas peruanas (Fuente: www.oannes.org.pe). | 56 |
| Figura 52. Parámetros de fuente sísmica para la generación de la condición inicial del tsunami. | 59 |
| Figura 53. Distribución de desplazamientos para a) el primer escenario sísmico que consta de 280 sub fallas y b) para el segundo escenario que consta de 5 sub fallas..... | 60 |
| Figura 54. Deformación inicial de la superficie del océano para un sismo de Mw 8.8. Los puntos representan la sismicidad histórica. | 63 |
| Figura 55. Deformación inicial de la superficie del fondo del océano para el sismo de Mw 8.9. Los puntos representan la sismicidad histórica..... | 64 |
| Figura 56. Dominios utilizados en la simulación numérica, a) Distribución de los 4 dominios, b) Detalle del área para el análisis de inundación. (Mapa base: Fuente GEBCO y NOAA) .. | 65 |
| Figura 57. a) y b) Capturas instantáneas de la propagación del tsunami, donde el color azul representa el desplazamiento vertical positivo y el color celeste el desplazamiento vertical negativo de la superficie del océano para el escenario de 8.8 Mw. | 67 |
| Figura 58. Señal sintética del tsunami para el escenario de Mw = 8.8 en las costas de Punta Hermosa | 67 |
| Figura 59. a) y b) Capturas instantáneas de la propagación del tsunami, donde el color azul representa el desplazamiento vertical positivo y el color celeste el desplazamiento vertical negativo de la superficie del océano para el escenario de 8.9 Mw. | 68 |
| Figura 60. Señal sintética del tsunami para el escenario de Mw = 8.9 en las costas de Punta Hermosa | 69 |
| Figura 61. Profundidades de inundación para Punta Hermosa con el escenario sísmico de magnitud 8.8 Mw..... | 71 |



**UNIVERSIDAD NACIONAL DE INGENIERÍA
FACULTAD DE INGENIERÍA CIVIL**

**CENTRO PERUANO-JAPONÉS DE INVESTIGACIONES
SÍSMICAS Y MITIGACIÓN DE DESASTRES**



| | |
|--|----|
| Figura 62. Profundidades de inundación para Punta Hermosa con el escenario sísmico de magnitud 8.9 Mw. | 72 |
| Figura 63. Manzanas afectadas por la inundación por el evento sísmico de 8.8 Mw (arriba) y por el de 8.9 Mw (abajo)..... | 74 |



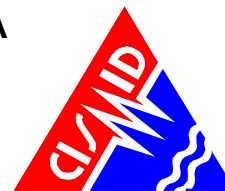
UNIVERSIDAD NACIONAL DE INGENIERÍA FACULTAD DE INGENIERÍA CIVIL

CENTRO PERUANO-JAPONÉS DE INVESTIGACIONES
SÍSMICAS Y MITIGACIÓN DE DESASTRES



LISTA TABLAS

| | |
|--|----|
| Tabla 1. Descripción de los campos de la base de datos | 29 |
| Tabla 2. Resultados del daño en el distrito de Punta Hermosa para un escenario de sismo severo | 47 |
| Tabla 3. Resultado de daño esperado en edificaciones esenciales | 48 |
| Tabla 4. Tsunamis históricos que han afectado las costas del Perú de acuerdo a NGDC Tsunami Database. | 52 |
| Tabla 5. Parámetros de fuente sísmica para el cálculo de la deformación inicial de la superficie del océano, definidos en la Figura 52. | 62 |
| Tabla 6. Fuentes y resolución de la topografía y batimetría para la simulación numérica..... | 69 |
| Tabla 7. Alturas máximas de ola obtenidas del modelo numérico de simulación de Tsunami | 70 |
| Tabla 8. Valores corregidos de alturas máximas de olas..... | 70 |
| Tabla 9. Número de manzanas afectadas en el distrito de Punta Hermosa, según el escenario sísmico..... | 73 |



Análisis de Riesgo en Zonas Urbanas del Distrito de Punta Hermosa

1. ANTECEDENTES

El Ministerio de Economía y Finanzas (MEF) tiene entre sus programas presupuestales al Programa Presupuestal PP-068, "Reducción de la Vulnerabilidad y Atención de Emergencias por Desastres", asignando recursos a las instituciones públicas competentes, para el desarrollo de estudios para establecer el riesgo a nivel territorial. La Universidad Nacional de Ingeniería es receptora de un presupuesto anual asignado por el MEF, para el desarrollo de los estudios de riesgo a nivel territorial, cuya unidad ejecutora del presupuesto es el Centro Peruano-Japonés de Investigaciones Sísmicas y Mitigación de Desastres - CISMID, de la Facultad de Ingeniería Civil de la Universidad Nacional de Ingeniería (UNI). CISMID es una institución de sólido prestigio internacional, cuya misión es la difusión de conocimientos en prevención y mitigación de desastres a través de la investigación y aplicación de tecnologías propias para contribuir al desarrollo sostenible y prosperidad de los pueblos del país. Entre sus competencias se encuentra el desarrollo de estudios de microzonificación sísmica, vulnerabilidad sísmica de edificaciones y evaluación del riesgo sísmico en áreas urbanas.

El presente informe desarrollado en el marco del Programa Presupuestal PP-068, presenta el estudio de microzonificación sísmica y análisis de riesgo en zonas ubicadas en el distrito de Punta Hermosa.

2. INTRODUCCIÓN

El distrito de Punta Hermosa es uno de los 43 distritos de la provincia de Lima. El distrito limita al Norte con los distritos de Lurín y el Cercado de Lima, al Este con la provincia de Huarochirí, al Sur con el distrito de Punta Negra y al Oeste con el Océano Pacífico. Tiene una superficie de 119.5 km² y una altitud de 18 msnm.

Acerca de la Historia del distrito de Punta Hermosa

Punta Hermosa es uno de los distritos más atractivos de la costa peruana. El origen del distrito data de la década del 40 antes de su creación política que ocurrió el 07 de abril de 1954, con los primeros grupos humanos que se situaron en la parte central del balneario (Malecón Central o Playa Negra). El área territorial estaba comprendida desde el balneario hasta el eje de la vía de la Antigua Panamericana Sur; delimitación que fue modificada el 22 de diciembre de 1986, mediante la dación de la Ley N^o 24513, incluyendo dentro de su área, parte de las Pampas de San Bartolo.



Este atractivo distrito fue uno de los primeros balnearios del sur de Lima, junto a Punta Negra y San Bartolo. Dentro de los pobladores más notables de la historia del distrito, podemos mencionar a Matías Espichan, quien fue el primer poblador que se estableció perennemente en esta localidad; a Domingo García Rada, quién fuera reconocido por la comuna del lugar, designando que la avenida principal del distrito llevara su nombre; a Geraldo Castro García, quien además de ser uno de los primeros pobladores de Punta Hermosa, llegó a ser alcalde durante 7 Periodos consecutivos, elegido por voto popular. Mención aparte, pero no por ello menos honrosa merece Jorge Calatayud Calampa, quién si bien es cierto no fue poblador del distrito, fue el creador y diseñador del escudo del distrito.

3. MAPAS DE VULNERABILIDAD

3.1. Exploración de Campo de Tipo Muestral

3.1.1. Preparación de Actividades, Coordinación y Personal

Para el desarrollo de las actividades del levantamiento de datos de campo, se inició el trabajo con la selección de los ingenieros coordinadores, se organizaron grupos de trabajo asignando tres personas por cada grupo para el levantamiento de información de campo. El personal seleccionado fue formado por un grupo de jóvenes ingenieros, estudiantes de postgrado y estudiantes del último año de ingeniería que laboran como asistentes de investigación o realizan su tesis de antegrado o post grado en nuestro Centro. Este personal recibió un entrenamiento basado en el procedimiento de evaluación. Este procedimiento ha sido diseñado para poder representar de la mejor manera las tipologías constructivas de nuestro país, resaltando el sistema estructural, los materiales utilizados y en general las condiciones físicas de la edificación.

3.1.2. Metodología de toma de datos

Este procedimiento se basa en la toma de información en edificaciones de adobe, albañilería, quincha y concreto armado. La metodología consiste en una inspección visual rápida de las edificaciones identificando las debilidades aparentes en las edificaciones de una manzana. De acuerdo al porcentaje de lotes visualmente evaluados, se determina el lote representativo de la manzana del cual se toma el detalle de su información a través de una ficha de inspección estructural. El lote representativo es aquel que presenta de la mejor manera las características promedio de los lotes de la manzana evaluada.

3.1.3. Plantilla para la encuesta

Para la valoración en campo de las características de las edificaciones se utiliza una ficha de evaluación de elaborada por nuestra institución para la evaluación rápida de estructuras, la cual se presenta en la Figura 1 y Figura 2. La Ficha está dividida en cinco áreas:

- Número de pisos.
- Material.



UNIVERSIDAD NACIONAL DE INGENIERÍA FACULTAD DE INGENIERÍA CIVIL

CENTRO PERUANO-JAPONÉS DE INVESTIGACIONES SÍSMICAS Y MITIGACIÓN DE DESASTRES



- Usos.
- Sistema Estructural.
- Conservación.

Esta información es complementada con la toma de fotografías en cada esquina de la manzana y del lote representativo de la manzana, donde se pueda identificar a la estructura de la edificación. Posteriormente estas fotografías se codifican para que coincidan con el identificador del lote y de esta manera poder almacenar la fotografía o fotografías en la base de datos geoespacial.

| PROGRAMA PRESUPUESTAL PP-068 REDUCCIÓN DE LA VULNERABILIDAD Y ATENCIÓN DE EMERGENCIAS POR DESASTRES UNIVERSIDAD NACIONAL DE INGENIERIA CISMID/FIC/UNI - | | | | |
|---|--|--|---|--------------------------------------|
| | | ESTUDIO DE RIESGO SÍSMICO DEL DISTRITO DE PUNTA HERMOSA | | |
| | | | | |
| INFORMACIÓN DE LA MANZANA | | | | |
| CÓDIGO DE LA MANZANA: | | | | |
| LEYENDA PARA LA CODIFICACIÓN DEL LOTE | | | | |
| No.Pisos (1) | Material (2) | Usos (3) | Sistema Estructural (4) | Conservación (5) |
| | Adobe (A) Mampostería (M) Concreto(C) Quincha (Q) Acero (S) Madera(W) Otro (O) | Vivienda (V) Vivienda y Comercio (Y) Comercio (C) Multifamiliar (M) Policía o Bomberos (B) Educativo (E) Hospital (H) Industrial (I) Baldío (B) Otros (O) | S Mampostería de Arcilla Sin Refuerzo M Mampostería Armada o Confinada con Diafragmas Rígidos N Mampostería Armada o Confinada con Diafragmas Flexibles L Construcción Informal en Albañilería A Adobe y Quincha C Pórticos de Concreto W Estructura de Concreto Armado con Placas I Pórticos de Concreto con Vanos Rigidizados con Mampostería L Estructura Celular de Concreto F Pórtico de Acero Resistentes a Momento B Pórtico de Acero Arriostrados con Diagonales U Estructura de Perfiles Livianos W Entramados de Madera T Estructuras Industriales / Comerciales | (B) Bueno (R) Regular (M) Malo |
| *Nota: La Información de la manzana irá en plano lotizado adjunto similar al ejemplo de llenado que se muestra. | | | Nota 2: No Evaluado Use (X) Caso Valديو Use (V) | |
| 1AVSR | | | 1PISOS + ADOBE + USO VIVIENDA + MAMPOSTERÍA DE ARCILLA SIN REFUERZO + REGULAR | |
| Foto 5 - Numero <input type="text"/> | | | | |
| Achurar lote representativo | | | | |
| Foto 1 - Numero <input type="text"/> | | | | Foto 2 - Numero <input type="text"/> |
| Foto 3 - Numero <input type="text"/> | | | | Foto 4 - Numero <input type="text"/> |

Figura 1. Formato de Ayuda para Codificación del Lote

| PROGRAMA PRESUPUESTAL PP-068 | | | | |
|--|--------------------|-------------------|-----------------------|---------------|
| REDUCCIÓN DE LA VULNERABILIDAD Y ATENCIÓN DE EMERGENCIAS POR DESASTRES | | | | |
| UNIVERSIDAD NACIONAL DE INGENIERIA CISMID/FIC/UNI - | | | | |
| ESTUDIO DE RIESGO SÍSMICO DEL DISTRITO DE PUNTA HERMOSA | | | | |
| CODIGO DE MANZANA | | CODIGO INTERNO | | |
| ESTRUCTURACIÓN | | | | |
| Material | Adobe | Mamposteria | Concreto | Observaciones |
| Estado de Conservación | Bueno | Regular | Malo | |
| Cimentación | Asentamiento | Sí | No | |
| | Humedad en la Base | Sí | No | |
| Techo | | | | |
| Adobe | Mamposteria | Concreto | Otros | |
| Madera | Losa de CA | Losa de CA | | |
| Caña | Aligerado | Aligerado | | |
| Torta Barro | Calamina | Placa Colaborante | | |
| Otro | Otro | Otro | | |
| Elementos Estructurales | | | | |
| Fisuración | | | | |
| Columnas | Fisuras | NOTA | Fisura Vertical (V) | |
| Vigas | Fisuras | Sin Fisuras (X) | Fisura Diagonal (D) | |
| Muros | Fisuras | | Fisura Horizontal (H) | |
| Estado de Muros | | | | |
| Unidad | Artesanal | Industrial | Sólido | Tubular/Hueco |
| Confinamiento | Si | No | | |
| Fisuras | Si | No | | |
| Tarrajeo | Si | No | | |
| Estado de conservacion | Bueno | Regular | Malo | |
| Acharar lote representativo | | | | |
| | | | | |

Figura 2. Formato de evaluación para la edificación representativa de la manzana

3.1.4. Sectorización y Levantamiento de Datos de Campo

- Preparación de planos para la toma de datos: Basado en la información de planos georreferenciados del INEI del censo de vivienda del año 2007, se imprimieron los planos para la elaboración de los trabajos de campo en las zonas de estudio. Para facilitar el trabajo de los grupos evaluadores, el área a evaluar se dividió en 3 sectores, tal como se muestra en el mapa No. E-01.
- Para determinación de los límites del área a evaluar, se coordinó con funcionarios del Ministerio de Vivienda, de manera que se evaluara la totalidad del área urbana, con los diferentes niveles de ocupación y consolidación urbana. Adicionalmente, se prepararon mapas sobrepuestos en imágenes de Google Earth para la determinación exacta de estas áreas.
- Distribución de coordinadores responsables de los equipos de evaluadores: Con los cuatro equipos de dos evaluadores cada uno se realizaron salidas periódicas de campo por un



desarrollada por cuatro asistentes y un supervisor, quienes procesaron la información de campo.

b) Clasificación de datos

Se clasificó la base de datos según las características físicas de los predios levantados como: material predominante, número de pisos, uso y estado de conservación.

c) Verificación de los datos recogidos

Se llevaron a cabo dos niveles de control de calidad:

c1 - Un control de calidad en campo:

Donde los coordinadores realizaron visitas de campo para verificar la información recolectada por los diferentes equipos tomándose al azar manzanas y lotes que fueron verificadas en el campo. Se realizó el control de calidad durante la campaña de levantamiento de datos por 4 profesionales.

c2 – Un control de calidad en gabinete:

El método de verificación usado fue mediante la comparación de los formatos llenados en campo con las fotografías digitales tomadas en el lugar, la verificación se hace comparando la foto con los atributos de los lotes, por ejemplo, observando el número de pisos en la foto y comparándolo con el valor almacenado en la base de datos.

3.1.6. Georeferenciación y Compatibilización de Planos

a) Definición del sistema de georeferenciación.

Según normatividad actual, todos los planos producidos deben estar georeferenciados usando la proyección del sistema de coordenadas planas UTM, teniendo como base el DATUM WGS84.

b) Compatibilización de planos provenientes de diferentes fuentes sobre la misma base cartográfica

Los planos que estuvieron en otro sistema de coordenadas fueron convertidos al sistema en mención mediante los parámetros por defecto que otorga el programa ArcGIS.

3.1.7. Sistematización de la Información

Para el procesamiento de la información se creó una base de datos geoespacial donde se integrarían no solo los datos cartográficos, como los límites de las manzanas, sino también los datos descriptivos de cada una de ellas. Los datos con los sectores, las manzanas y los lotes dentro los límites distritales son implementados al sistema SIG.



La evaluación de las edificaciones, si bien es cierto que se identificó una evaluación genérica a nivel de lote, la presentación de los resultados se basa en la identificación del lote representativo de la manzana. Para realizar la evaluación y trabajo de campo se seleccionó una muestra estadística distribuida espacialmente entre todas las manzanas del distrito. Para la selección de manzanas se definió que por lo menos el 32% del total de manzanas debe ser evaluado.

3.1.8. Ubicación de las manzanas a evaluar

Para la selección de la ubicación de las manzanas a evaluar se utilizó una función estadística de distribución continua. La distribución que se utilizó fue la distribución uniforme. En estadística la distribución uniforme es una distribución de probabilidad cuyos valores tienen la misma probabilidad. Se define la función de probabilidad uniforme como:

$$f(x) = \begin{cases} \frac{1}{b-a} & \text{para } x \text{ a } \leq x \leq b \\ 0 & \text{para el resto} \end{cases} \quad \text{Ec. 1}$$

Donde, a y b son los límites geográficos para el distrito de Punta Hermosa, y x toma los valores para las coordenadas Norte y Este. Esta función tiene como característica que su media es $(a + b)/2$.

Es decir, si bien la ubicación de la distribución sigue un valor aleatorio tanto para las coordenadas Norte como Este, en un sistema de referencia UTM, esta ubicación tiene límites de borde, los cuales son los límites del distrito que son respetados al momento de generar las coordenadas de las selecciones de las manzanas. Es así que se generaron número aleatorios que siguen una distribución uniforme. En la Figura 4 se presenta el total de las 243 manzanas del área estudiada del distrito, en color rojo las evaluadas y en color verde las no evaluadas. Se presentan las 108 manzanas evaluadas en color rojo y las no evaluadas en color verde. El porcentaje de manzanas a evaluar es de 44%, lo cual hace una muestra significativa. En el Mapa E-02 del Anexo I se presenta en detalle las manzanas que fueron evaluadas.

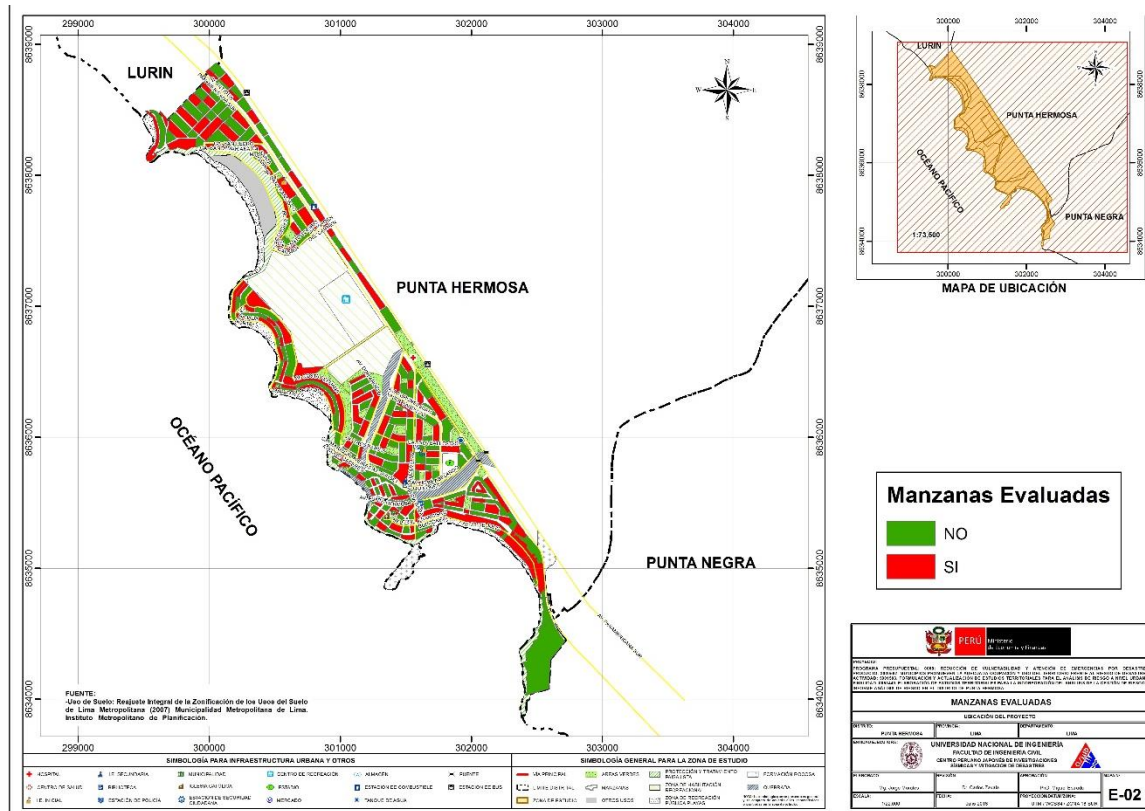


Figura 4. Manzanas totales (243) versus manzanas seleccionadas (108)

En el presente trabajo se optó por considerar un nivel de confianza del 95.7% bajo el supuesto que exista un error del orden del 1.10% en la desviación estándar, dando como resultado que el tamaño de la muestra es del 44% de población total de las manzanas. Esto produce un tamaño muestral calculado en función del tamaño de la población (N), el error en la desviación estándar (α) y el número de unidades de desviación estándar para alcanzar el nivel de confianza deseado (z).

$$n = \frac{0.25N}{\left(\frac{\alpha}{z}\right)^2 (N - 1) + 0.25} \quad \text{Ec. 2}$$

Esto produce un tamaño muestral mínimo de 98 manzanas. En el presente estudio se mejoró este valor al considerar una muestra de 108 manzanas, bajo la premisa, con este mayor número de manzanas se cubre mayor área y por lo tanto el análisis tiene una mayor consistencia.

3.2. Informe de campo

3.2.1. Edificaciones

Las edificaciones de vivienda representan la mayor parte del distrito de Punta Hermosa. Existen edificaciones de varios materiales, combinaciones de material, entre otros. De acuerdo a la sectorización presentada en ítems anteriores se describe a continuación las viviendas que se consideran como representativas de cada sector:

Sector 01

El Sector 01 se encuentra ubicado al norte con el distrito de Lurín, al Sur con el Centro Recreacional CAFAE, al este con la Panamericana Sur y al Oeste parte de las playas Los Pulpos, El Silencio y Señoritas. Este sector es básicamente residencial con algunas viviendas-comercio y comercios orientados al servicio turístico y de hospedaje. El Club recreacional CAFAE es el centro recreacional más importante del Sector 01. (Ver Figura 5).



Figura 5. Izquierda: Edificaciones multifamiliares recientes en parte superior del talud y viviendas unifamiliares pre existentes en la Playa Señoritas. Derecha: Restaurantes en la Antigua Panamericana Sur.

En este sector se tomaron en cuenta 38 manzanas evaluadas, donde la tipología predominante son viviendas unifamiliares de dos pisos, con un sistema estructural de albañilería confinada y losa aligerada como se muestra en la **Error! Reference source not found.**; asimismo en el acantilado de las playas Señoritas existen viviendas unifamiliares de tres niveles con terraza que se acomodan a la topografía del terreno (**Error! Reference source not found.**). Algunos restaurantes y viviendas unifamiliares cuentan con cobertura ligera en los últimos niveles. En general varias viviendas presentan problemas de humedad en los muros y se encuentra en regular estado de conservación.



Figura 6: Vivienda de albañilería confinada de dos niveles en topografía plana.



Figura 7: Vivienda de albañilería confinada de tres niveles adaptada a la pendiente del terreno.

Sector 02

El Sector 02 se encuentra ubicado y delimitado con el sector 01 y el océano pacífico por el Norte, por el Sur con la avenida Gastón García Rada, por el Este con el sector 01 y la calle Alfonso Ugarte y por el Oeste con el océano pacífico. En este sector se evaluaron 34 manzanas, en su mayoría las viviendas son de uno y dos pisos con sistema estructural de albañilería confinada, con presencia de humedad en la base de los muros como se muestra en la Figura 8.



Figura 8. Viviendas de albañilería de tres niveles.

Además, se observó edificaciones de 5 niveles cercanas al balneario como se muestra en la Figura 9 y Figura 10. En general, el sector se encuentra en buen estado de conservación debido a que están en proceso de construcción o tienen poco tiempo de construcción.



Figura 9. Vivienda de albañilería confinada del Sector 02.



Figura 10. Edificio de concreto armado del Sector 02.

Respecto a la topografía del terreno se observó que en el sector existe un terreno llano cercano a la carretera de la panamericana Sur en donde están ubicadas las viviendas (Ver **Error! Reference source not found.**), en algunas de estas viviendas se pudo constatar la presencia de humedad, sin embargo las edificaciones que se encuentran ubicadas cercanas a la playa se observó asentamientos en la base ver **Error! Reference source not found.** (izquierda).

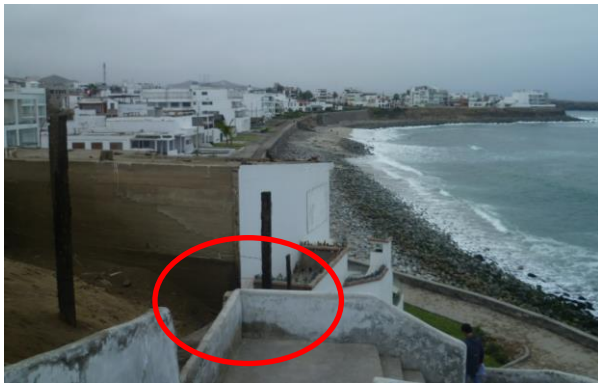


Figura 11. Pendiente del terreno en Punta Hermosa.

Sector 03

El Sector 03 se encuentra ubicado en la zona sur del distrito en estudio, este sector se encuentra delimitado principalmente por el Este con la Antigua Carretera Panamericana Sur y hacia el Oeste por el Océano Pacífico.

El total de manzanas evaluadas fue de 27, donde la tipología predominante es de vivienda de albañilería confinada de dos y tres niveles con losa aligerada y con un estado de conservación bueno en su mayoría. La Figura 13 muestra la vivienda representativa.



Figura 12. Vivienda de mampostería de tres niveles del sector 03

En este sector también podemos observar la presencia de edificios multifamiliares relativamente nuevos, de concreto armado con placas que poseen cuatro niveles en promedio, encontrándose con un buen estado de conservación (ver **Error! Reference source not found.**).



Figura 13. Edificios multifamiliares de 4 niveles en el sector 03

Por otra parte, también se ha observado que muchas de las edificaciones evaluadas presentan problemas de humedad y algunos casos de salinidad, característica por la cual presentan un regular estado de conservación, como se muestra en la Figura 14 y Figura 15, respectivamente.



Figura 14. Edificación de 2 niveles, que presenta problemas por humedad en el sector 03.



Figura 15. Vivienda de un nivel, afectada por problemas de salinidad en el sector 03.

3.2.2. Edificaciones esenciales

Para la evaluación de las edificaciones esenciales se consideró la edificación típica que formaba parte del complejo sea Colegio, Hospital, posta médica, comisaría, etc., los que podrían ser utilizados como refugio temporal de las personas damnificadas si la autoridad lo cree conveniente, de manera que fue tratada como una edificación sobre la cual deseamos conocer aproximadamente su respuesta sísmica. Bajo esta premisa, se encontró su demanda para las condiciones del estudio, de acuerdo a la demanda dada en el estudio de microzonificación geotécnica sísmica del distrito. A continuación, se presentan las edificaciones esenciales que se encuentran dentro de la muestra estudiada en los sectores del distrito:

Sector 01

Dentro del sector se encuentra la Parroquia Católica Romana Juan Pablo II, consta de dos bloques en albañilería confinada y techo aligerado en buen estado de conservación (ver Figura 16). El bloque principal es de un piso con techo cóncavo (parabólico) y corresponde a la nave de la parroquia. El segundo bloque de dos pisos corresponde a oficinas de la parroquia como se puede apreciar en la Figura 17.



Figura 16: Parroquia Católica Romana Juan Pablo II.



Figura 17: Vista Panorámica de la Parroquia Católica Romana Juan Pablo II.

La Comisaría de Punta Hermosa se encuentra ubicado en la Av. El Silencio, edificación de tres pisos con sistema estructural de albañilería confinada y con techo aligerado hasta el segundo nivel, en el tercer nivel construcción hecha de material drywall y techo de cobertura ligera, en regular estado de conservación como se observa en la Figura 18.



Figura 18: Comisaría PNP Punta Hermosa.

Con respecto a instituciones educativas, se observó la I.E. Inicial Virgen del Carmen, edificación de un piso de material ligero y cercado con material flexible; esta institución se encuentra en etapa de construcción. Ver Figura 19.



Figura 19: I.E. Inicial Virgen del Carmen.

I.E. Inicial N° 654 Nuestra Señora del Carmen es una edificación de un piso con sistema estructural de muros portantes y techo aligerado estado de conservación regular, como se ve en la Figura 20.



Figura 20. I.E. Inicial N° 654 Nuestra Señora del Carmen.

OTROS

En el Sector 01 se encuentra el grifo PECSA como se muestra en la Figura 21. Además, se observaron varios grifos a lo largo de la carretera Panamericana Sur pertenecientes a otros sectores.



Figura 21. Grifo PECSA.

Sector 02

En el sector 02 encontramos colegios como I.E. Víctor A. Belaunde Diez Canseco N°3060, es una edificación de 3 pisos con pórticos de concreto armado rigidizado con mampostería en regular estado de conservación como se muestra en la Figura 22.



Figura 22. I.E. Víctor A. Belaunde Diez Canseco N°3060.

Otra institución educativa es la I.E.I. N°546, edificación de un piso con pórticos de concreto armado rigidizado con vanos de mampostería en regular estado de conservación, ver Figura 23.



Figura 23. I.E. Inicial N° 546.

Por otro lado, se ubicó el Municipio de Punta Hermosa también donde existe un centro cultural y biblioteca municipal; esta edificación es de unos tres pisos con pórticos de concreto armado rigidizados con mampostería en buen estado de conservación, como se aprecia en la Figura 24.



Figura 24. Municipio de Punta Hermosa.

Sector 03

Dentro del Sector 3 se ubica la Parroquia Nuestra Señora de Lourdes, la cual consiste en una estructura de albañilería confinada y un techo flexible de torta de barro en forma de arco de un nivel con un buen estado de conservación, ver Figura 25.



Figura 25. Parroquia "Nuestra Señora de Lourdes".

En la Figura 26 se observa la sede de la Antigua Municipalidad de Punta Hermosa, que muestra un buen estado de conservación con una estructura de albañilería confinada y losa aligerada de dos niveles más azotea; asimismo se observa el Centro de Salud presenta un regular estado de conservación, afectado principalmente por la humedad de la zona, de un solo nivel y sistema estructural similar al de la Municipalidad como se muestra en la Figura 27.



Figura 26. Antiguo Local de la
Municipalidad de Punta Hermosa.



Figura 27. Centro de Salud.

Otros

El Club Náutico se ubica a lo largo de la Av. 28 de Julio, cuenta en su mayoría con edificaciones de un nivel con un sistema estructural conformado por mampostería confinada con cubiertas ligeras metálicas, presenta un buen estado de conservación, como se muestra en la Figura 28.



Figura 28. Club Náutico.

3.3. Base de datos geo-espacial

Organizada la información a recolectar y las manzanas donde se evaluarán los lotes se procedió al trabajo de campo para luego pasar al trabajo de gabinete donde se procesó la información adquirida.

En cada manzana seleccionada se levantó los datos de todos los lotes que se encuentran en esa manzana, indicándose las características de la edificación, así como el código de la manzana. De todos estos lotes se seleccionó uno representativo el cual es llevado a una base de datos separada para luego ser incorporada a la plataforma SIG. En la selección del lote representativo, se considera aquel que representa las características más frecuentes, es decir, aquella edificación que se repite más veces, dentro de la manzana evaluada- En la Figura 29 se muestra la base de datos de las características de las edificaciones representativas de cada una de las manzanas levantadas.

| Num | CodMza | LoteRepre | Cond. De Cimentación | CimentA | CimentH | Techo | FisuraCol | FisuraVig | FisuraMur | Unidad de Albañilería | FabricaAlb | TipoAlb | Confina | Tarrajeo | Foto Representativa |
|-----|--------|-----------|----------------------|---------|------------|-------|-----------|-----------|------------|-----------------------|------------|---------|---------|-------------------------------|---------------------|
| 1 | 125 | 03MVMR | NO | NO | Aligerado | X | X | X | Industrial | Tubular | SI | SI | | .Fotos\Fotos_S01\P1140423.jpg | |
| 2 | 45 | 04MMMB | NO | NO | Aligerado | X | X | X | Artisanal | Sólido | SI | SI | | .Fotos\Fotos_S01\P1140424.jpg | |
| 3 | 221 | 03CEPB | NO | NO | Aligerado | X | X | X | Industrial | Sólido | SI | SI | | .Fotos\Fotos_S01\P1140425.jpg | |
| 4 | 184 | 04CHPB | NO | NO | Aligerado | X | X | X | Industrial | Sólido | SI | SI | | .Fotos\Fotos_S01\P1140430.jpg | |
| 5 | 150 | 02MVMR | NO | NO | Aligerado | X | X | X | Industrial | Tubular | SI | SI | | .Fotos\Fotos_S01\P1140432.jpg | |
| 6 | 12 | 03MYMR | NO | NO | Aligerado | X | X | X | Industrial | Sólido | SI | SI | | .Fotos\Fotos_S01\P1140436.jpg | |
| 7 | 104 | 02MYMR | NO | NO | Aligerado | X | X | X | Artisanal | Sólido | SI | SI | | .Fotos\Fotos_S01\P1140440.jpg | |
| 8 | 15 | 02MVMR | NO | NO | Aligerado | X | X | X | Industrial | Sólido | SI | SI | | .Fotos\Fotos_S01\P1140441.jpg | |
| 9 | 169 | 10CHPB | NO | NO | Aligerado | X | X | X | Industrial | Sólido | SI | SI | | .Fotos\Fotos_S01\P1140443.jpg | |
| 10 | 24 | 04MMNR | NO | NO | Aligerado | X | X | X | Industrial | Sólido | SI | SI | | .Fotos\Fotos_S01\P1140444.jpg | |
| 11 | 16 | 05CEIB | NO | NO | Aligerado | X | X | X | Industrial | Sólido | SI | SI | | .Fotos\Fotos_S01\P1140446.jpg | |
| 12 | 214 | 18CYCR | NO | NO | Losa de CA | X | X | X | Industrial | Sólido | SI | SI | | .Fotos\Fotos_S01\P1140448.jpg | |
| 13 | 117 | 03MYMR | NO | NO | Aligerado | X | X | X | Artisanal | Sólido | SI | SI | | .Fotos\Fotos_S01\P1140457.jpg | |
| 14 | 7 | 03MYMR | NO | NO | Aligerado | X | X | X | Artisanal | Sólido | SI | SI | | .Fotos\Fotos_S01\P1140458.jpg | |
| 15 | 37 | 03MVMR | NO | NO | Aligerado | X | X | X | Artisanal | Sólido | SI | SI | | .Fotos\Fotos_S01\P1140460.jpg | |
| 16 | 44 | 04MYMR | NO | NO | Aligerado | X | X | X | Industrial | Sólido | SI | SI | | .Fotos\Fotos_S01\P1140461.jpg | |
| 17 | 183 | 03MVMR | NO | NO | Aligerado | X | X | X | Industrial | Tubular | SI | SI | | .Fotos\Fotos_S01\P1140462.jpg | |
| 18 | 123 | 20CMPB | NO | NO | Aligerado | X | X | X | Industrial | Sólido | SI | SI | | .Fotos\Fotos_S01\P1140463.jpg | |
| 19 | 199 | 02MVMB | NO | NO | Aligerado | X | X | X | Industrial | Sólido | SI | SI | | .Fotos\Fotos_S02\P1140992.jpg | |
| 20 | 153 | 01AYAR | NO | NO | Madera | X | V | X | ND | ND | NO | NO | | .Fotos\Fotos_S02\P1140993.jpg | |
| 21 | 164 | 03MVMB | NO | NO | Aligerado | X | X | X | Industrial | Tubular | SI | SI | | .Fotos\Fotos_S02\P1140998.jpg | |
| 22 | 56 | 03MVMR | NO | SI | Aligerado | X | X | X | Artisanal | Sólido | NO | NO | | .Fotos\Fotos_S02\P1140999.jpg | |
| 23 | 3 | 04MMNR | NO | NO | Aligerado | X | X | X | Industrial | Tubular | SI | SI | | .Fotos\Fotos_S02\P1150002.jpg | |
| 24 | 188 | 04MVMR | NO | NO | Aligerado | X | X | X | Industrial | Tubular | SI | SI | | .Fotos\Fotos_S02\P1150026.jpg | |
| 25 | 134 | 02MVMR | NO | NO | Aligerado | X | X | X | Industrial | Tubular | SI | SI | | .Fotos\Fotos_S02\P1150008.jpg | |
| 26 | 156 | 01AVAM | NO | NO | Madera | X | X | X | ND | ND | NO | NO | | .Fotos\Fotos_S02\P1150012.jpg | |
| 27 | 198 | 03MYMR | NO | NO | Aligerado | X | X | X | Industrial | Sólido | SI | SI | | .Fotos\Fotos_S02\P1150013.jpg | |
| 28 | 69 | 05CMIB | NO | NO | Aligerado | X | X | X | Industrial | Sólido | SI | SI | | .Fotos\Fotos_S02\P1150019.jpg | |

Figura 29. Base de datos de los lotes representativos por manzana

Esta base de datos elaborada en hoja de cálculo se transfiere a la plataforma SIG y se integra a la base de datos de las manzanas, de manera de cada una de las manzanas tenga los datos necesarios para su evaluación mediante el programa de cálculo de nivel de daño o reparación.

En la plataforma SIG se genera la base de datos geo-espacial la cual permite una rápida observación de las condiciones de las edificaciones de las manzanas, no sólo desde el punto de vista descriptivo, sino también gráfico, ya que se integran a la base de datos las fotografías de las manzanas. Por cada manzana se tomó una foto del lote representativo.



UNIVERSIDAD NACIONAL DE INGENIERÍA

FACULTAD DE INGENIERÍA CIVIL

CENTRO PERUANO-JAPONÉS DE INVESTIGACIONES
SÍSMICAS Y MITIGACIÓN DE DESASTRES

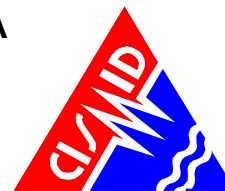


Tabla 1. Descripción de los campos de la base de datos

| Nombre del Campo | Descripción |
|------------------|--|
| AcelMax | Aceleración máxima del terreno en cm/s ² |
| Avg_GRID_C | Promedio del porcentaje del costo de reparación |
| CimentA | Asentamiento en la cimentación |
| CimentH | Humedad en la cimentación |
| Codaza | Código de la manzana |
| Confina | Confinamiento en muros |
| CostRep3 | Porcentaje del costo de reparación calculado |
| Esen_Dano | Uso de suelo y nivel de daño |
| Estado | Estado de la edificación |
| FabricaAlb | Tipo de unidad de albañilería |
| FID | Identificador de elemento |
| FisuraCol | Fisuras en las columnas |
| FisuraMur | Fisuras en muros |
| FisuraVig | Fisuras en vigas |
| FotoRepres | Foto del lote representativo |
| LoteRepre | Característica del lote representativo |
| Material | Tipo de material construcción |
| MatNivDan | Tipo de material y nivel de daño |
| Max_GRID_C | Valor máximo del porcentaje del costo de reparación interpolado |
| Min_GRID_C | Valor mínimo del porcentaje del costo de reparación interpolado |
| Num | Número de manzana interpolada |
| NumMza | Número de sector y manzana |
| Pisos | Número de pisos promedio en la manzana |
| Rango_Dano | Nivel de daño final |
| SD_GRID_CO | Desviación estándar de los valores del porcentaje de reparación interpolados |
| Shape | Tipo de entidad geométrica |
| Sist_Est | Sistema estructural |
| Tarrajeo | Existencia de tarrajeo |
| Techo | Tipo de techo |
| TipoAlb | Tipo de unidad de albañilería |
| Uso | Tipo de uso |
| Verifica | Se evalúa |

La Tabla 1 presenta la base de datos descriptiva. En esta tabla se muestran todos los campos ordenados alfabéticamente. Esta base de datos contiene la integración de todos los datos, es decir de los datos levantados en campo, así como los valores obtenidos del procesamiento de la información, para finalizar con el valor del costo de reparación, que es explicado más adelante.

La Figura 30 muestra el detalle de los datos de una manzana evaluada. Como se puede apreciar en esta base de datos geo-espacial se ha integrado una imagen de satélite, obtenida

desde Google Earth, la información cartográfica de los bordes de las manzanas y dentro de la base de datos descriptiva además de la información levantada en campo se encuentra la información procesada. Adicionalmente, se han integrado fotografías de las manzanas evaluadas por medio de hipervínculos a los archivos que contienen a estas fotos.

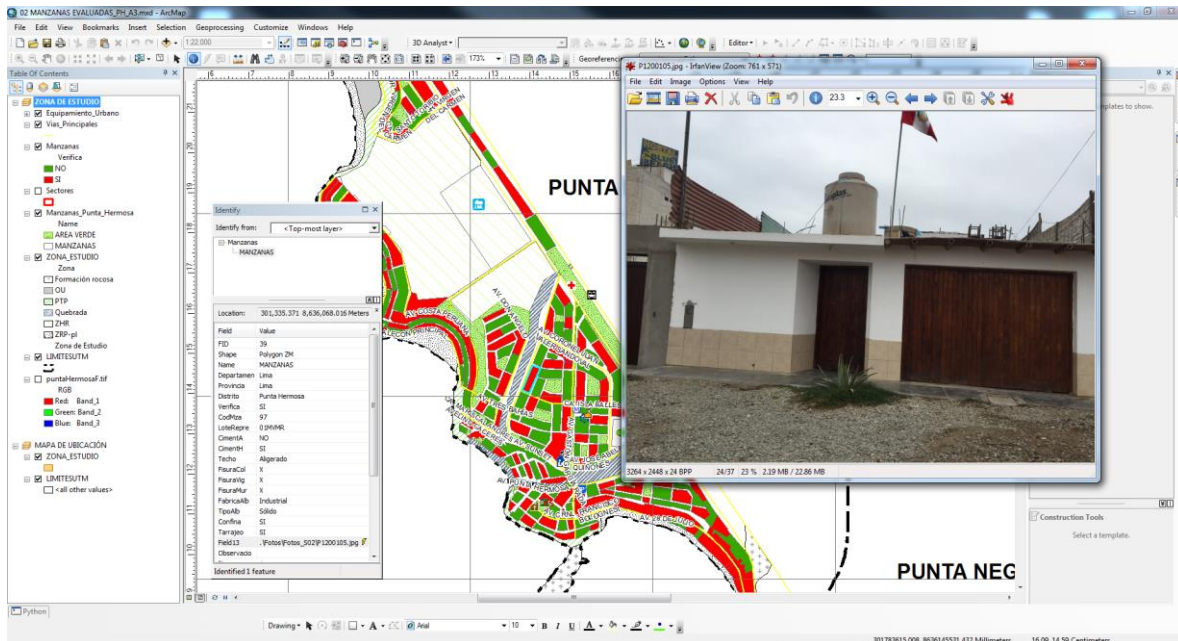


Figura 30. Base de datos Geo-espacial, integración de información cartográfica, descriptiva y procesamiento

Como resumen de los datos adquiridos en campo se presenta en el mapa No. E-03 el número de pisos, en el mapa No. E-04 el material predominante de la edificación, en el mapa No. E-05 el uso de suelo, en el mapa E-06 el sistema estructural y en el mapa No. E-07 se muestra el estado de conservación.

3.3.1. Mapa de Uso de Suelo

En el mapa E05 (Figura 32) se presenta las manzanas evaluadas y clasificadas de acuerdo al uso del suelo de las edificaciones. En la Figura 31 se presenta el análisis estadístico de la muestra en lo referente al uso del suelo o uso de la edificación de la muestra estudiada. Puede leerse que es predominante el uso en viviendas que ocupan un 77.8% de la muestra, seguido de los edificios de comercio que representan el 8.3% de la muestra, los edificios multifamiliares un 7.4%, los edificios dedicados a educación y edificios dedicados al vivienda-comercio con un 0.9% y un 2.8% las edificaciones de salud en el área estudiada.



Figura 31. Distribución del uso del suelo de la muestra del distrito de Punta Hermosa

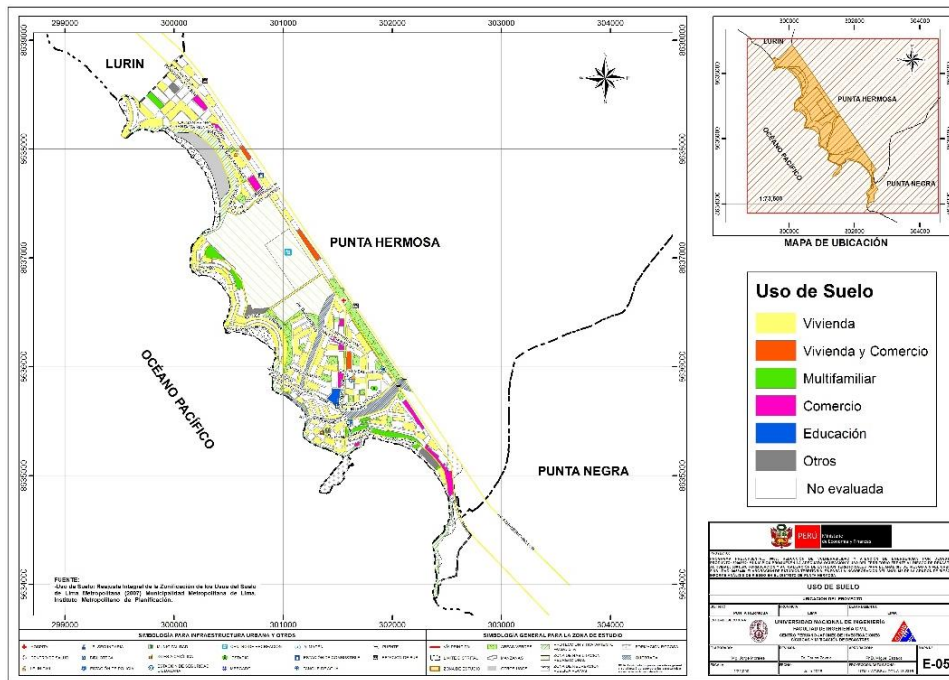


Figura 32. Mapa de Distribución del uso del suelo de la muestra del distrito de Punta Hermosa

3.3.2. Mapa de Materiales Predominantes

En el mapa No. E04 (Figura 34), referente a los materiales existentes en las edificaciones del distrito de Punta Hermosa, se realizó un análisis estadístico de la muestra, dando como resultado la gráfica que se presenta en la Figura 33, donde es notorio que el material predominante es la mampostería de ladrillo que representa el 86% de la muestra, seguido de las edificaciones de concreto con un 12%. Asimismo, existen edificaciones de madera que representan un 1% de la muestra.

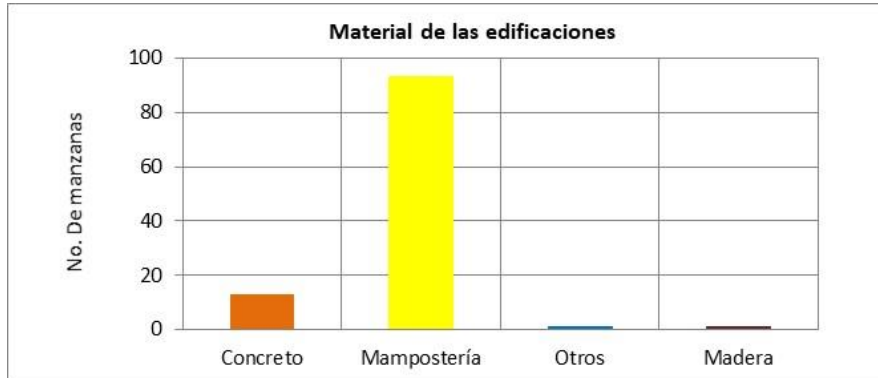


Figura 33. Distribución de los materiales de construcción de la muestra del distrito Punta Hermosa

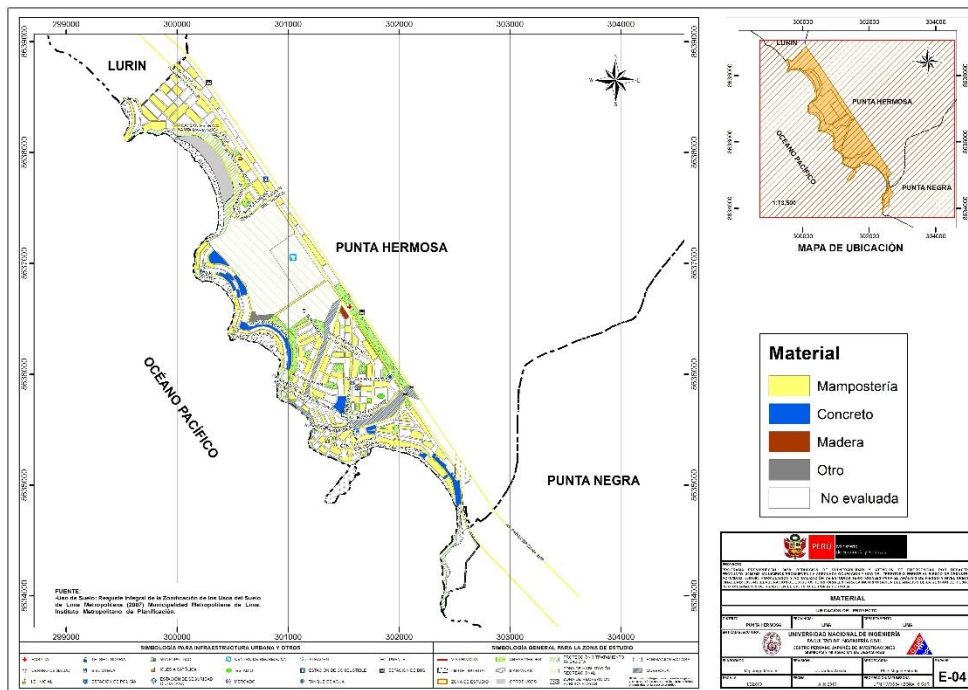


Figura 34. Mapa de Distribución de los materiales de construcción predominante del distrito de Punta Hermosa

3.3.3. Mapa de Alturas de Edificación

En el mapa E-03 (Figura 36) se presenta el levantamiento de información de las manzanas evaluadas relacionadas con el número de pisos de las edificaciones representativas de las manzanas. Esta distribución de alturas se resume en la Figura 35, donde se puede apreciar que, en el Distrito de Punta Hermosa, predominan las edificaciones de dos pisos que corresponde al 39.8% del total de las edificaciones evaluadas y es la tendencia general en el

distrito. En segundo lugar, de niveles de altura son las edificaciones de un piso y que corresponde al 37.0% del total de las edificaciones evaluadas. Este distrito también cuenta con edificaciones de tres pisos, pero en un porcentaje menor, equivalente al 13.9% del total de las edificaciones evaluadas. También existen edificios de 4 pisos (4.6%), 5 pisos (2.8%), y seis pisos (1.9%) en la muestra evaluada.

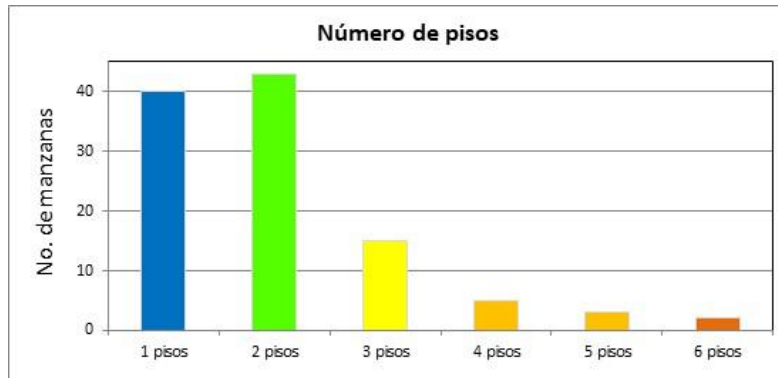


Figura 35. Distribución del número de pisos de las edificaciones del distrito de Punta Hermosa

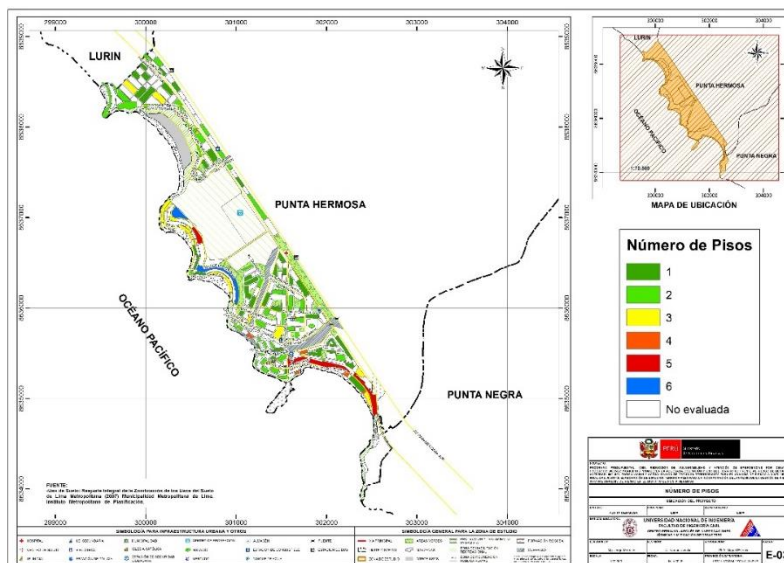


Figura 36. Mapa temático del número de pisos de las edificaciones del distrito de Punta Hermosa

3.3.4. Mapa de Tipologías Estructurales

En el mapa E06 (Figura 38) se presenta el levantamiento de información de las manzanas evaluadas relacionadas con el sistema estructural usado en las edificaciones. La Figura 37 presenta la distribución del uso de los sistemas estructurales que se obtuvo de la estadística

de la muestra usada en el distrito de Punta Hermosa. En el gráfico se entiende que el sistema estructural más utilizado es la mampostería de ladrillos de arcilla con diafragmas o techos rígidos que ocupa el 75% de la muestra. Le siguen las estructuras pórticos con placas que representa un 10.2%. También se usan mampostería de albañilería con diafragma flexible representa el 8.3%. Las estructuras celulares de concreto representan un 2.8%. Por otro lado, las edificaciones de madera representan un 1.9%, mientras que las edificaciones de pórticos de concreto representan el 10.2% y vanos rigidizados representan un 0.9%.

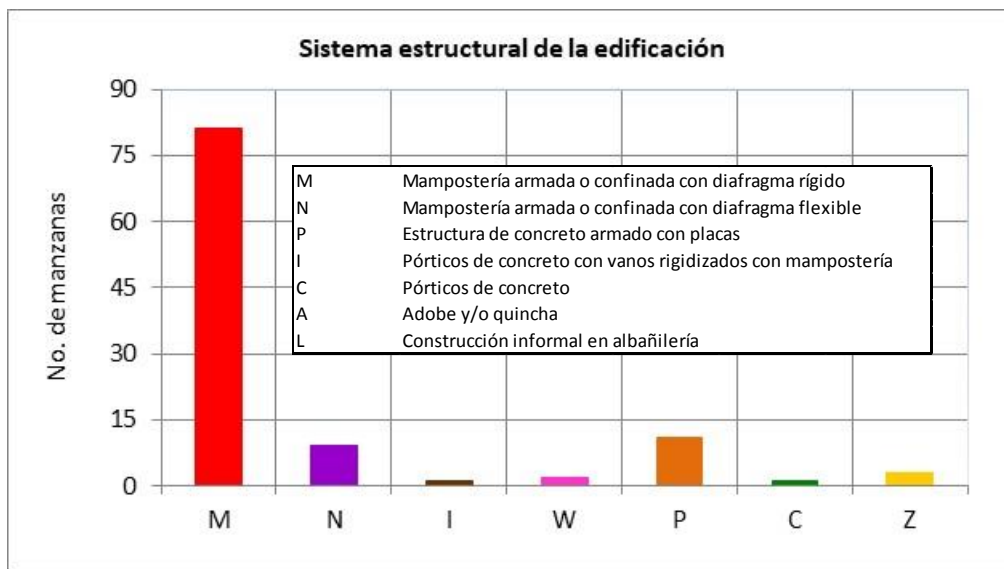


Figura 37. Distribución del uso del sistema estructural muestra del distrito de Punta Hermosa

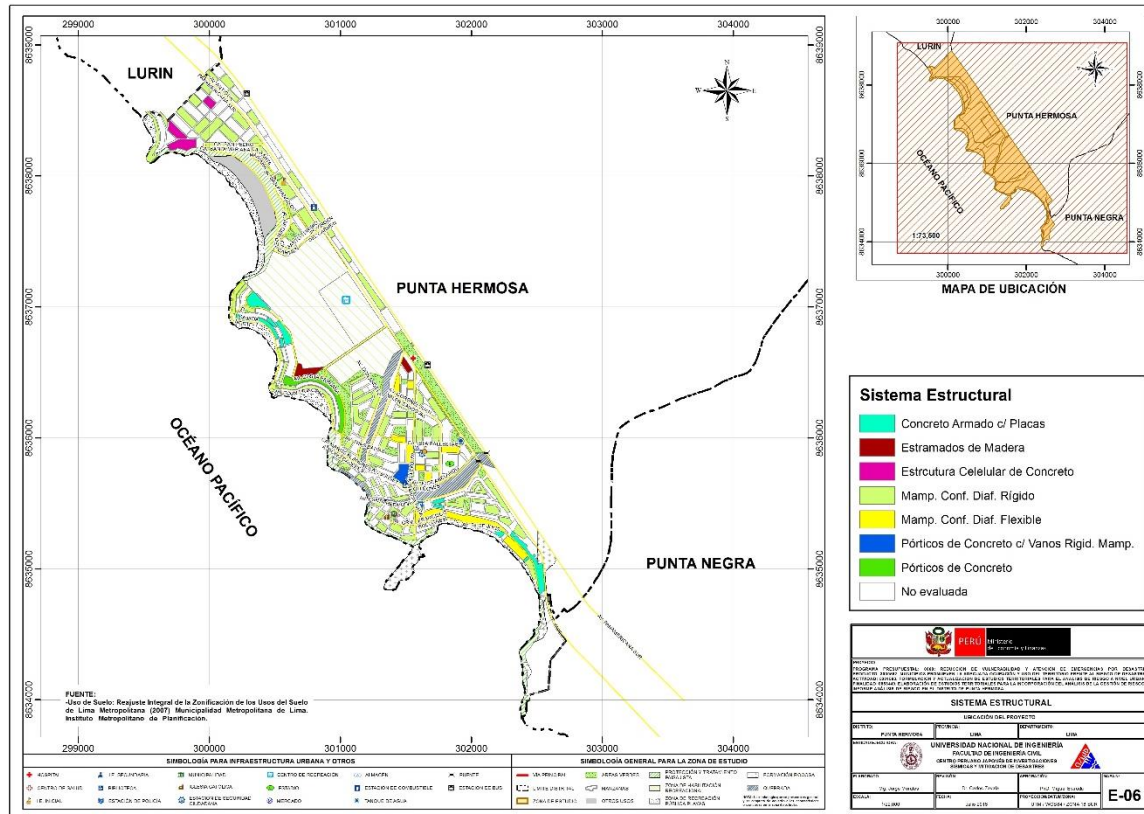


Figura 38. Mapa del uso del sistema estructural muestra del distrito de Punta Hermosa

3.3.5. Mapa de Estado de Conservación

El mapa temático E07 (

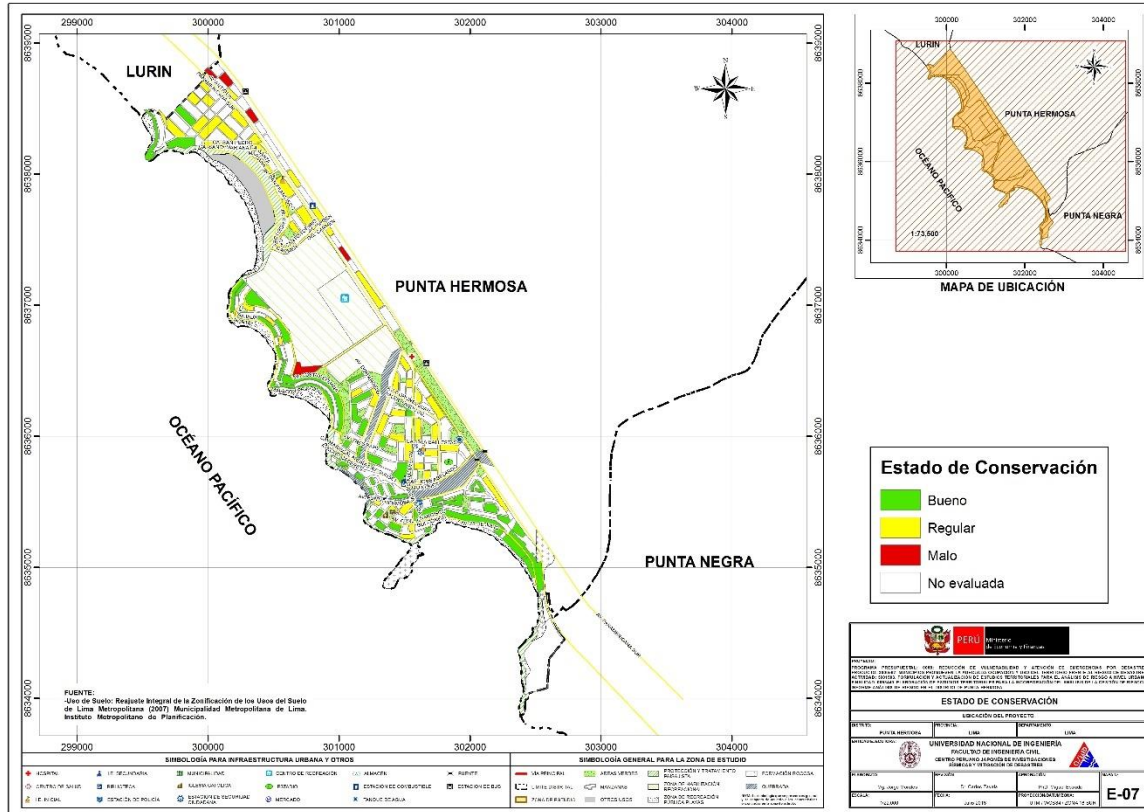
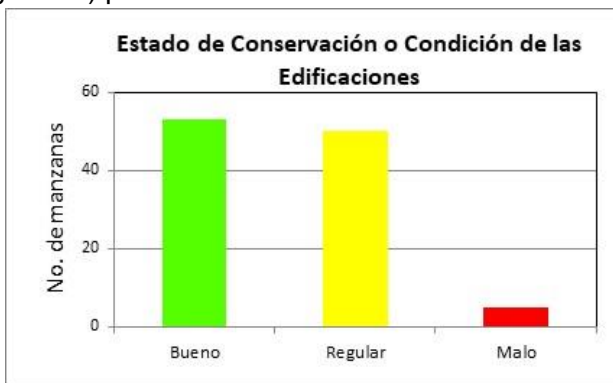


Figura 40) presenta el estado de conservación de las viviendas del distrito de Punta Hermosa.



La

Figura 39 presenta los resultados estadísticos de la muestra analizada. El 49.1% de las edificaciones se encuentra en buen estado de conservación, mientras que el 46.3% de la muestra presenta un regular estado de conservación. Finalmente se encuentran en mal estado de conservación el 4.6% de la muestra.

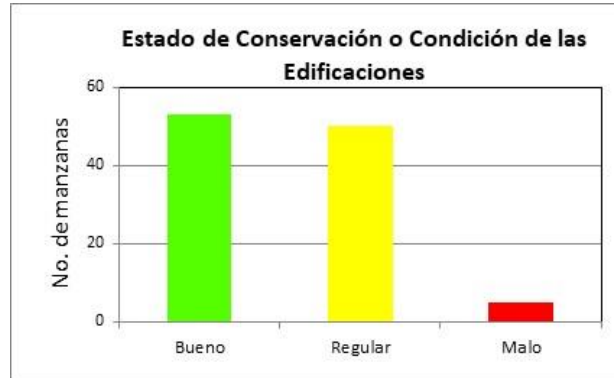


Figura 39. Estado de conservación de la muestra de edificaciones del distrito de Punta Hermosa

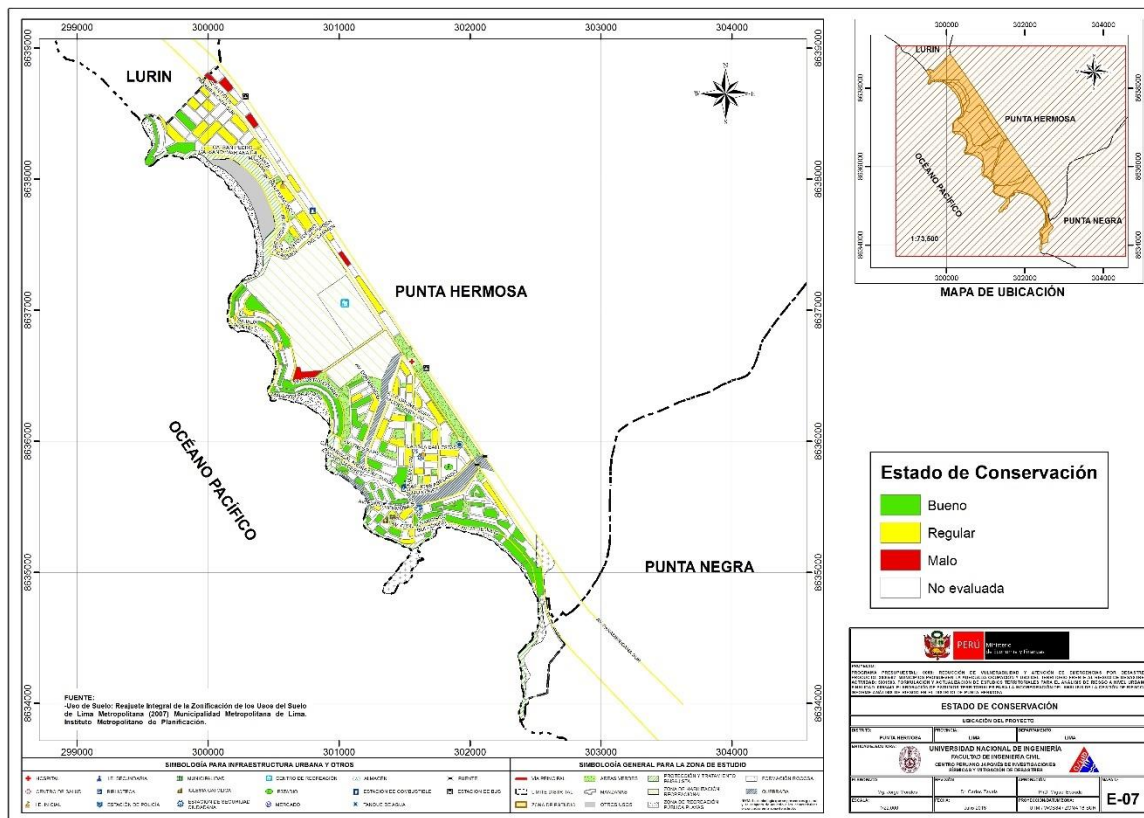


Figura 40. Mapa del estado de conservación de la muestra de edificaciones del distrito de Punta Hermosa



3.3.6. Mapa de Vulnerabilidad

Conceptos Generales

La determinación de la vulnerabilidad sísmica de una edificación es el grado susceptibilidad de daño ante la ocurrencia de un terremoto. Conociendo este grado, que generalmente es expresado como edificación en buen estado, edificación regular, edificación en mal estado y edificación colapsada, es cuantificar el daño.

Formas de Evaluación

Su evaluación puede realizarse básicamente usando dos criterios: método determinístico y método por criterio.

Método Determinístico

El método determinístico se basa en un estudio detallado de la estructura. Este estudio se basa en la evaluación mediante una inspección, toma de muestra de materiales, medición de la vibración en la estructura, auscultación del de cimentación, verificación de profundidad del cimientado y la modelación matemática de la estructura a través de programas especializados competentes, para producir un diagnóstico de la respuesta sísmica y encontrar si la edificación resistirá las fuerzas y desplazamientos inducidos por el terremoto.

Método por Criterio

El método por criterio se basa o método empírico están basados, en simplificaciones dadas por la experiencia y desarrolladas por expertos con la finalidad de a través de un cuestionario y una lista de verificación de parámetros que son usados como entradas a curvas, funciones, o simuladores de la respuesta sísmica, con el fin de dar un diagnóstico de su estado luego del evento.

Método adoptado para el análisis de la muestra en el presente estudio

Considerando la muestra de manzanas y lotes representativos se implementó una base de datos con la finalidad de determinar mediante el uso del método de estimación rápida de la respuesta sísmica de edificaciones [3] y [4], basado en la metodología propuesta por Miranda [2] para la estimación rápida de desplazamientos máximos y distorsiones de entrepiso, que ha sido adaptado en el CISMID para estudios de vulnerabilidad sísmica en edificaciones con tipologías propias del Perú.

Considerando las bases de datos desarrolladas, las tipologías constructivas existentes y el estudio de microzonificación sísmica, se utilizará la herramienta SRSND (Simulador Respuesta Sísmica y Nivel de Daño, C. Zavala, CISMID-2004), con la finalidad de encontrar la respuesta sísmica de las edificaciones consideradas típicas de cada manzana bajo el escenario de sismo de la norma de diseño sismorresistente, que corresponde a un sismo severo de periodo de retorno de 475 años y probabilidad de excedencia del 10%. La respuesta sísmica producida en las edificaciones, nos darán el indicativo de su vulnerabilidad y la

presencia de daño. Los resultados de esta simulación serán incorporados a la base de datos para producir el mapa de vulnerabilidad sísmica.

Metodología sustento de SRSND

Este método se basa en el diagnóstico de la respuesta sísmica de las edificaciones, considerando las aceleraciones máximas del terreno según los resultados del estudio del peligro sísmico que se incluirá en la microzonificación sísmica y el catálogo de tipologías de edificaciones representativas del distrito.

El método considera que la estructura de la edificación está representada por un sistema de masas y resortes, representadas como una función del periodo de la edificación. Este periodo es aproximado a partir de la tipología estructural, del número de pisos, las irregularidades y el estado de conservación entre otros. Este periodo representa al primer modo del sistema estructural, lo que el método considera como representativo para el sistema reducido de un grado de libertad, como el mostrado en la Figura 41. Con este sistema equivalente se realiza la estimación explicado en el siguiente párrafo.

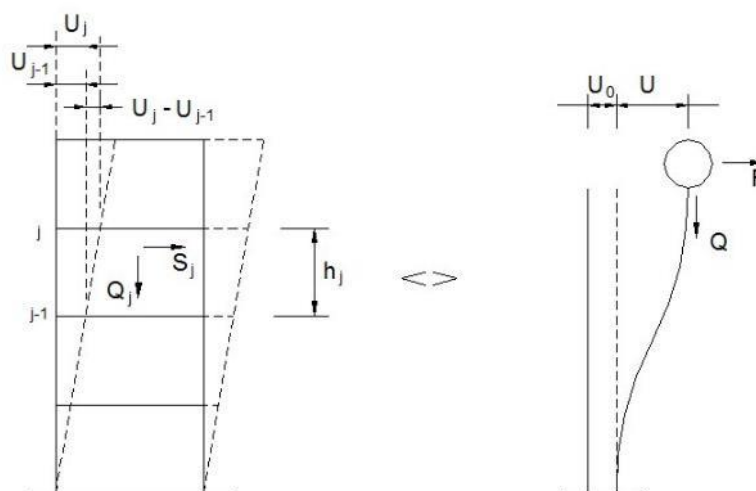


Figura 41. Edificación representada por un sistema equivalente

Con este propósito se consideran variables claves como aceleración de demanda sísmica, material de la edificación, número de pisos, sistema estructural predominante y otros datos recabados en el levantamiento de campo lote a lote en la zona de estudio.

Este método se basa en el diagnóstico de la respuesta sísmica de las edificaciones, considerando las aceleraciones máximas del terreno según los resultados del estudio del peligro sísmico presentado en el Anexo adjunto a este informe y el catálogo de tipologías de edificaciones representativas del distrito. Con este propósito se consideran variables claves



como aceleración de demanda sísmica, material de la edificación, número de pisos, sistema estructural predominante y otros datos recabados en el levantamiento de campo lote a lote en la ciudad. Seguidamente se utiliza la metodología de índices β_i , que considera que la respuesta sísmica de una estructura se encuentra en base al producto de los índices β_i por el desplazamiento espectral (S_d) para el periodo predominante de la estructura entre la altura del edificio (H), dando una aproximación de la distorsión del entrepiso:

$$\left(\frac{\Delta\delta_j}{h_j}\right) = \frac{\beta_1 \cdot \beta_2 \cdot \beta_3 \cdot \beta_4}{H} S_d \quad \text{Ec. 3}$$

El índice β_1 , es una aproximación al factor de participación dado como una función del número de pisos:

$$\beta_1 = \frac{3N}{2N + 1} \quad \text{Ec. 4}$$

El índice β_2 , relaciona la aproximación de la distorsión máxima en la aproximación contra la distorsión en un sistema real:

$$\beta_2 = \frac{\max\left(\frac{\Delta\delta_j}{h_j}\right)}{\frac{U_r}{H}} \quad \text{Ec. 5}$$

El índice β_3 , relaciona la fuerza de respuesta con la sobre resistencia como función de la ductilidad asignada a cada tipología estructural:

$$\beta_3 = \frac{U^x + \Delta U^x}{U} = \frac{F^x \cdot \mu}{F} \quad \text{Ec. 6}$$

El índice β_4 , produce una aproximación de la relación existente entre la distorsión inelástica y la distorsión elástica, que expresan una medida de ductilidad:

$$\beta_4 = \frac{\varphi_{inelastico}}{\varphi_{elastico}} \quad \text{Ec. 7}$$

El periodo que sirve de base en el diagnóstico, es dependiente de la tipología estructural y del número de pisos, que produce una diagnosis del desplazamiento y distorsiones de cada piso. De esta manera se estiman las distorsiones de entrepiso que diagnostican el estado de la edificación basado en los límites de distorsión máxima de la norma de diseño sismorresistente NTE-030-RNE y ajustada en base la base de datos de experimentación muros, paneles y módulos a escala natural ensayados en CISMID a lo largo de sus 27 años de experiencia de laboratorio.



Este procedimiento fue automatizado utilizando el programa SRSND presentado en [5] y utilizado en [6], el mismo que produjo tanto la respuesta sísmica de la edificación representativa de la manzana de la muestra, así como el nivel de daño esperado para el escenario sísmico de demanda propuesto. Los resultados fueron implementados en una plataforma SIG para producir los resultados esperados en los productos mediante los mapas de vulnerabilidad.

A continuación, se presenta un resumen de los resultados, dando un énfasis en la zona con mayor vulnerabilidad.

Edificaciones con Nivel de Vulnerabilidad Alto:

Son edificaciones con gran probabilidad de falla total o de daños muy graves que hagan difícil su reparación (con un daño severo probable donde su costo de reparación sea superior o igual 85% de su valor), además de implicar peligro de muerte o heridos graves para sus ocupantes. Por ejemplo:

- Edificaciones de adobe antiguas debilitadas por la humedad, erosión, o sismos anteriores; y ubicados sobre suelos flexibles.
- Edificaciones de ladrillo sin refuerzo ni confinamiento, con poca densidad de muros; ubicados sobre suelos blandos.
- Muros altos de ladrillo o adobe, de poco espesor y sin ningún arriostre.
- Edificaciones construidas con materiales inestables y provisionales, sin ningún tipo de arriostramiento o refuerzo vertical u horizontal.
- Edificaciones con configuración en planta irregular.
- Techos o coberturas en mal estado de conservación.
- Edificaciones en laderas de los cerros, donde su cimentación generalmente se apoya en muros de contención de piedra (pircas secas) no recomendables para tomar las fuerzas producidas por el sismo.

Edificaciones con Nivel de Vulnerabilidad Medio:

Son edificaciones donde se pueden producir daños importantes, que aunque no colapsen las estructuras, es difícil su utilización sin ser reparadas, estimándose su costo de reparación entre el 30 y 60% de su valor. Pueden producirse accidentes por caídas de bloques de albañilería o concreto, rotura, etc. Por ejemplo:

- Edificaciones de ladrillo con defectos de estructuración, que provoque concentración de esfuerzos en algunos puntos.
- Construcciones de adobe bien estructurado, de un solo piso y construido en terreno flexible.



UNIVERSIDAD NACIONAL DE INGENIERÍA FACULTAD DE INGENIERÍA CIVIL

CENTRO PERUANO-JAPONÉS DE INVESTIGACIONES
SÍSMICAS Y MITIGACIÓN DE DESASTRES



- Construcciones con muros de ladrillo bien estructurado, pero con coberturas en mal estado, que signifique algún riesgo.
- Construcciones con ladrillo tubular y confinamientos.

Edificaciones con Nivel de Vulnerabilidad Bajo:

Son edificaciones donde se estiman se producirán daños menores o leves. El sistema estructural conserva sin mayor peligro, gran parte de su resistencia y puede aún seguir siendo utilizado. Por ejemplo:

- Edificaciones de ladrillo con columnas de concreto armado, o acero, diseñadas de acuerdo a normas de diseño sísmico, con materiales de buena calidad, buena mano de obra, e inspección rigurosa.
- Edificaciones regulares de concreto con muros de corte o edificaciones regulares con pórticos de concreto con cajas de escalera y ascensor de concreto con existencia de muros de concreto y/o albañilería.

Evaluación y análisis estadístico de las edificaciones evaluadas

- Manzanas:** Se evaluaron la totalidad de las manzanas de la muestra, siendo el material predominante la albañilería, con presencia en el 86% de los lotes, seguido por un 12% de edificaciones de concreto y un 2% de edificaciones de madera y otros.
- Muros:** Tal como se indicó, el ladrillo tiene una presencia del 86% en las viviendas cuyo sistema estructural son los muros, sean éstas de un piso (37%), dos pisos (39.8%), tres pisos (13.9%), cuatro pisos (4.6%), cinco pisos (2.8%) y seis pisos (1.9%). Aproximadamente el 75% de las viviendas presentan columnas de confinamiento de concreto armado en sus paredes.
- Coberturas y Sistema de techos:** Del total de lotes inspeccionados, el 75% de ellos tienen techos aligerados de ladrillo con viguetas de concreto armado, y el 8.3%, poseen coberturas de calamina, esteras o madera. Estas coberturas se concentran en los sectores emergentes.
- Estado de Conservación:** El estado de conservación de las construcciones en un 49.1% de las viviendas muestran un estado de conservación bueno y el 46.3% de las viviendas presentan un regular estado de conservación. Finalmente, las edificaciones en mal estado de conservación representan un 4.6% de la muestra.

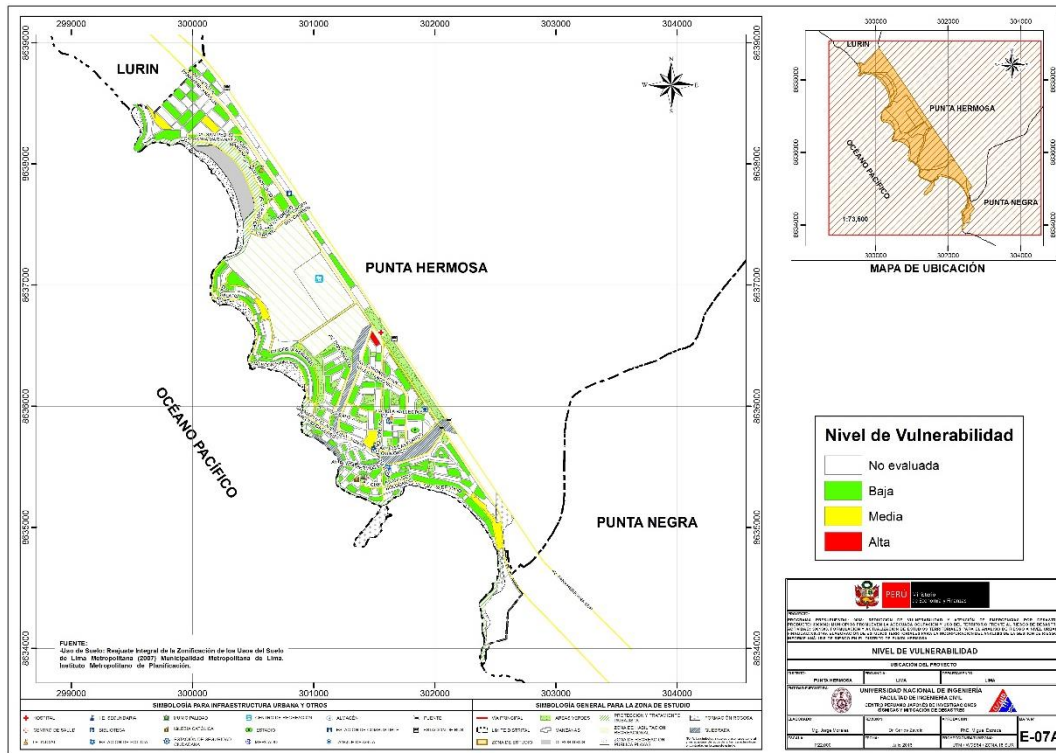
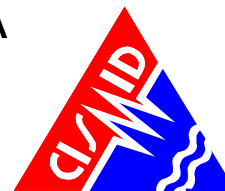


Figura 42. Mapa de vulnerabilidad del Distrito de Punta Hermosa

Con respecto a los resultados del estudio en el distrito de Punta Hermosa, se tienen edificaciones con vulnerabilidades relativamente bajas que representan el 93.5% de la muestra dispersa en todo el distrito, así como vulnerabilidades medias, que representan el 5.6% de la muestra. Existe un 0.9% edificaciones con vulnerabilidad alta en la zona central del distrito de Punta Hermosa. Los resultados son presentados en la Figura 42.



4. MAPAS DE RIESGO

4.1. Elaboración de Estudio de Riesgo para un Escenario Sísmico

Se define el riesgo sísmico como la pérdida material o humana, debido a la acción de un evento sísmico severo tomando en cuenta la magnitud de este y la vulnerabilidad de la edificación.

Para este propósito es necesario conocer el peligro sísmico del área de estudio y asimismo la vulnerabilidad de las edificaciones en el área.

El peligro sísmico, para este análisis se basa en las aceleraciones máximas por el tipo de suelo que han sido calculadas a partir de una microzonificación geotécnica sísmica de la zona, luego de haber caracterizado el comportamiento dinámico de los suelos en función de su sismicidad.

Por otro lado se puede identificar el tipo de sistema estructural y diagnosticar la respuesta sísmica de éste, producto de la aceleración máxima inducida por el sismo evaluada en el estudio de vulnerabilidad de las edificaciones. De esta manera puede estimarse el nivel de daño, ya que la respuesta sísmica de una edificación es dependiente de la caracterización dinámica del suelo.

Existen métodos de simulación del riesgo basados en la superposición de la estadística del daño sobre edificaciones durante los sismos, a través del levantamiento de información post evento, que al sobreponerse con las aceleraciones máximas producidas, generan curvas de aceleración versus nivel de daño esperado para un determinado sismo. Estas curvas reciben el nombre de Curvas de Fragilidad, ya que muestra lo frágil que un determinado material y/o sistema estructural puede ser frente a determinado nivel de aceleraciones inducidas sobre el sistema.

Asimismo, existen métodos basados en la evaluación de la respuesta sísmica de los sistemas estructurales bajo cierto nivel de aceleración inducida y la estimación de su nivel de daño. Este tipo de metodología ha sido adoptada en el presente estudio. La estimación de la respuesta sísmica ha sido desarrollada utilizando el programa SRSND (Simulador Respuesta Sísmica y Nivel de Daño, C. Zavala, CISMID-2004), como fue descrito en la evaluación de la vulnerabilidad. En el caso del riesgo se debe de considerar un escenario sísmico para un sismo severo, que usualmente es un escenario cuyas aceleraciones son superiores a la aceleración máxima del suelo que propone la norma sísmica NTE-E-030 del Reglamento Nacional de Edificaciones, que considera un sismo con periodo de retorno de 475 años con la probabilidad de ser excedida en 10%. El sismo de la norma considera una aceleración máxima en el suelo de 450 gals.

4.2. Mapa de riesgo de las edificaciones evaluadas para un escenario sísmico

Para la determinación del riesgo sísmico del distrito de Punta Hermosa, se ha utilizado el método de aproximación al valor de reparación de una vivienda, expresado como porcentaje

del costo de la edificación. Conocida la respuesta sísmica de las edificaciones, utilizando la metodología presentada en [3] y [4], donde se estima el nivel de distorsión máxima, considerando el escenario sísmico propuesto en el estudio de peligro. Conocido el nivel de distorsión es posible estimar el nivel de daño por tipo de sistema estructural, para el lote representativo de la manzana en estudiada.

Un proceso de regresión de los diversos tipos de daño y la cuantificación del costo relacionan el valor de la reparación con la distorsión de la respuesta sísmica ($\Delta\delta_j/h_j$) en cada lote. Este costo de reparación (C_r) se expresa como el porcentaje del costo de la estructura, considerando λ y ε parámetros de vulnerabilidad estructural, correspondientes al sistema estructural y al tipo de reparación involucrada para los materiales involucrados.

$$C_r = \left[\left(\frac{\Delta\delta_j}{h_j} \right) / \lambda \right]^\varepsilon / 100 \quad \text{Ec. 8}$$

Para el diagnóstico del riesgo se consideró cada registro de la base de datos produciendo el diagnóstico de la distorsión y en base a esta se encontró el mapa que representa el costo de reparación representativo para la manzana, considerando los resultados del lote representativo. El desarrollo de este diagnóstico se realizó mediante el proceso que se presenta en la Figura 43.

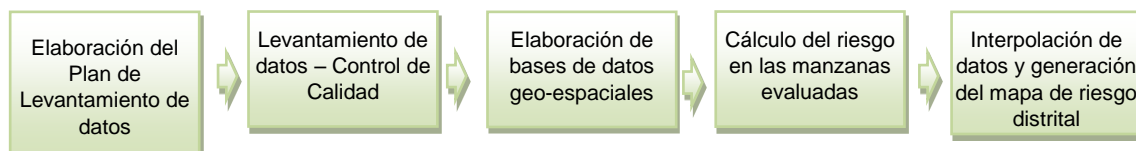


Figura 43. Proceso de generación del mapa de riesgo

Basados en la información de campo se evaluaron 75 manzanas con los datos de sus lotes representativos, dando como resultado el mapa de costo de reparación mostrado en la Figura 44.

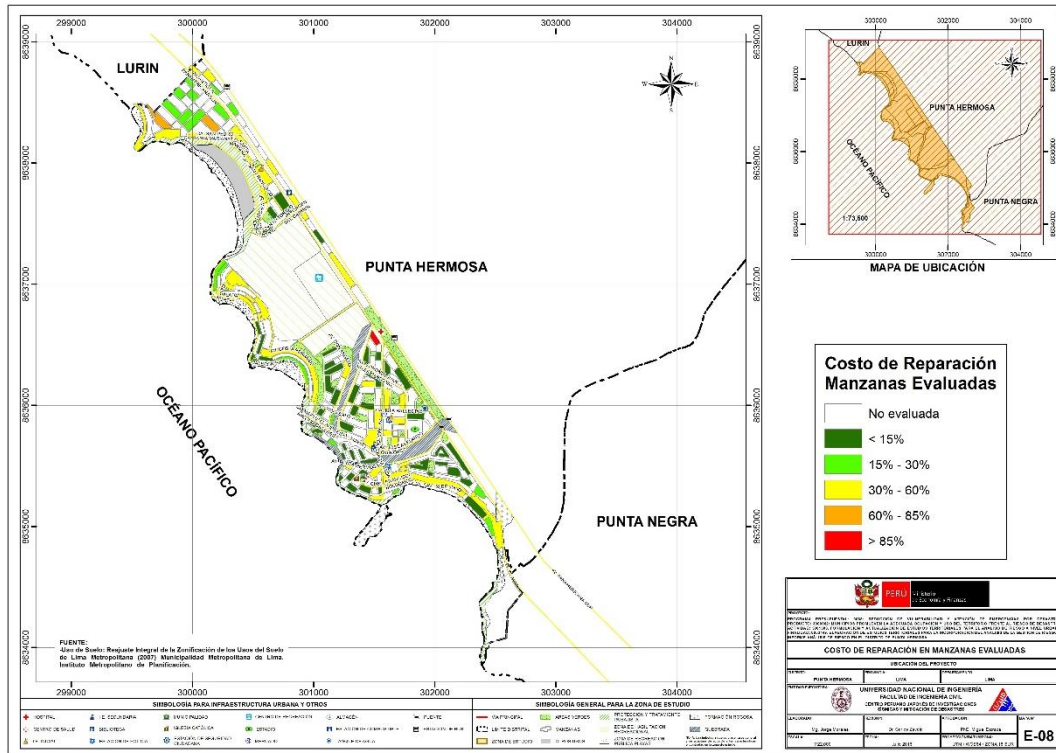


Figura 44. Resultado del cálculo del costo de reparación para las manzanas evaluadas

Una vez calculado el costo de reparación para las manzanas evaluadas se genera, a través del método de interpolación IDW (Inverse Distance Weighted) un archivo de imagen (raster) donde el valor de cada pixel es el valor del costo de reparación para una edificación construida sobre ese terreno. La resolución espacial de este archivo es de 5 metros, es decir que cada pixel cubre un área de 25 metros cuadrados de terreno.

La Figura 45 muestra el resultado de la interpolación de los valores del costo de reparación sobre todo el distrito de Punta Hermosa.

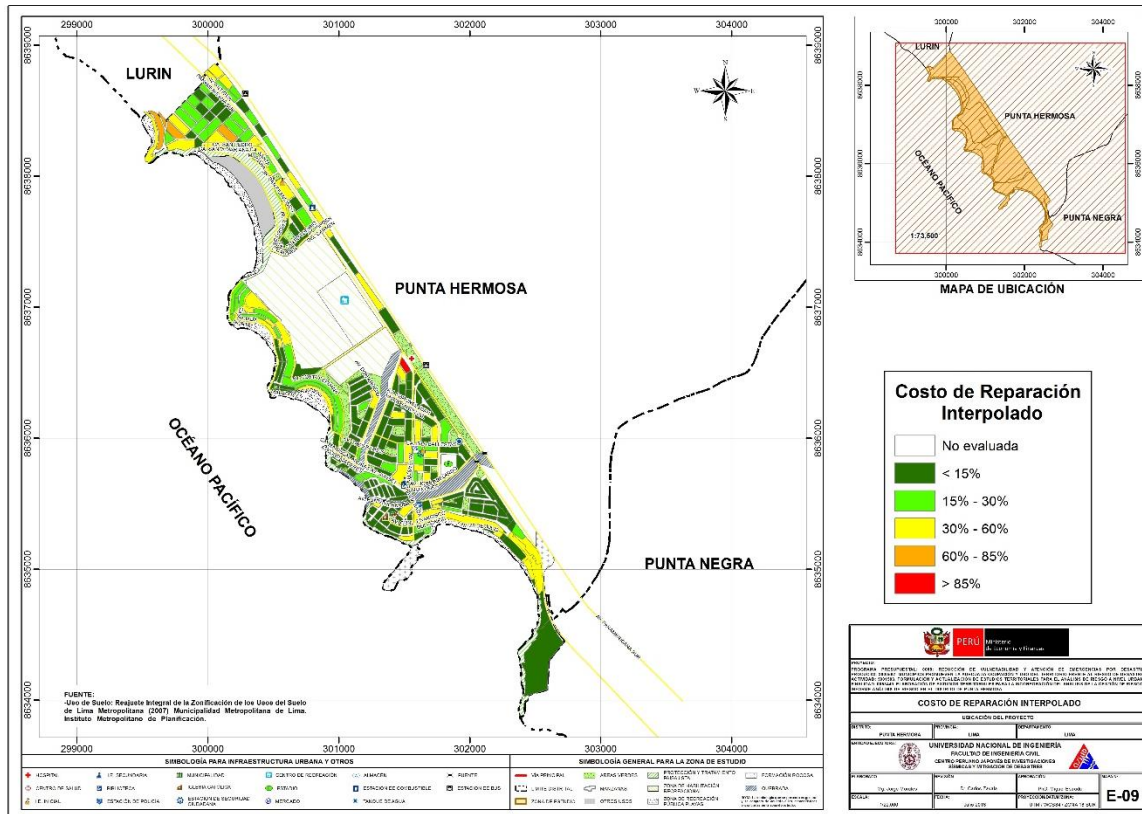


Figura 45. Imagen de interpolación del costo de reparación (método IDW)

4.3. Conclusiones de evaluación del riesgo sísmico para un escenario de sismo severo

Una vez realizada la interpolación, este archivo de imagen se convierte en un archivo de puntos equidistantes a 5 metros, donde el valor contenido en este punto es valor del costo de reparación. Finalmente para cada manzana se procede a promediar los valores de todos los puntos que caen dentro del polígono que representa a la manzana obteniendo finalmente el costo de reparación interpolado para todas las manzanas del distrito. La Tabla 2, presenta los resultados de la simulación de riesgo sísmico para las viviendas del distrito de Punta Hermosa.

Tabla 2. Resultados del daño en el distrito de Punta Hermosa para un escenario de sismo severo

| Color | Rango | Nivel Daño | Número de Mzas | % | % | Nivel de Daño |
|------------|-----------|------------|----------------|-------|-------|----------------------|
| Verde | < 15% | Nivel I | 46 | 43,0% | | |
| Verde agua | 15% - 30% | Nivel II | 17 | 15,9% | 58,9% | Daño Leve o sin daño |
| Amarillo | 30% - 60% | Nivel III | 40 | 37,4% | 37,4% | Daño Moderado |
| Naranja | 60% - 85% | Nivel IV | 3 | 2,8% | 2,8% | Daño Severo |
| Rojo | 85%-100% | Nivel V | 1 | 0,9% | 0,9% | Colapso |



UNIVERSIDAD NACIONAL DE INGENIERÍA FACULTAD DE INGENIERÍA CIVIL

CENTRO PERUANO-JAPONÉS DE INVESTIGACIONES
SÍSMICAS Y MITIGACIÓN DE DESASTRES



En el Anexo I, en el mapa No. E-09, que presenta el riesgo expresado como porcentaje del costo de la edificación para el distrito de Punta Hermosa bajo un escenario del sismo. En el mapa se puede apreciar que los sectores en verde tendrían un costo de reparación entre 0~15%. Aquellos sectores en verde agua poseen un costo de reparación entre 15~30% del valor de la edificación, agrupando ambos verdes se obtiene que en este grupo de daño leve se encuentra el 58.9% de las manzanas evaluadas. Los sectores en amarillo tendrían un porcentaje de reparación para sus viviendas entre 30~60%, en donde se encontró que el 37.4% de la muestra tendrían daño moderado. Las zonas en color naranja, tendrían porcentaje de costo de reparación entre 60~85%, mientras que las zonas en rojo tendrían edificaciones con costos de reparación entre 85% a más. Estos dos últimos grupos son diagnosticados como los grupos con indicadores de edificaciones en riesgo de daño severo y colapso que corresponden al 2.8% y 0.9%, respectivamente, de las edificaciones evaluadas para el escenario sísmico propuesto.

Caso especial es el representado por las edificaciones esenciales que en caso de un evento sísmico severo deben de seguir funcionando luego del evento. Bajo esta premisa se tomaron aquellas edificaciones esenciales que formaron parte de la muestra, encontrándose el resumen de los resultados en la tabla siguientes.

Tabla 3. Resultado de daño esperado en edificaciones esenciales

| Color | Rango | Nivel Daño | Número de Mzas | % | % | Nivel de Daño |
|------------|-----------|------------|----------------|--------|------|----------------------|
| Verde | < 15% | Nivel I | 0 | 0.0% | | |
| Verde agua | 15% - 30% | Nivel II | 0 | 0.0% | 0% | Daño Leve o sin daño |
| Amarillo | 30% - 60% | Nivel III | 1 | 100.0% | 100% | Daño Moderado |
| Naranja | 60% - 85% | Nivel IV | 0 | 0.0% | 0% | Daño Severo |
| Rojo | 85%-100% | Nivel V | 0 | 0.0% | 0% | Colapso |

Los resultados que se presentan en la Tabla 3, muestra que el 100% de las edificaciones esenciales podrían experimentar daño moderado debido al nivel de demanda sísmica extrema sobre sus sistemas estructurales. Este estado de riesgo medio se debe a la presencia de edificaciones que se han adecuado al uso nidos, centros educativos, academias entre otros, como también la antigüedad y falta de mantenimiento de las edificaciones.

De acuerdo al estudio realizado, el nivel de daño III estaría disperso en todo el distrito.

5. MAPAS DE AMENAZA POR TSUNAMI

Para la evaluación de la amenaza frente a tsunami en la costa del distrito de Punta Hermosa se lleva a cabo el análisis de amenaza estimando la profundidad de inundación máxima, la altura de inundación y el tiempo de llegada de la primera ola desde el epicentro hasta la costa a partir de dos escenarios sísmicos y finalmente se determinaron las zonas susceptibles a sufrir inundación debido al tsunami.



5.1. Sismicidad en el Perú

El Perú está ubicado en una zona altamente sísmica, donde la principal fuente de la alta sismicidad es la interacción de la Placa de Nazca y la Placa Suramericana y como resultado de esta interacción el Perú ha experimentado numerosos terremotos a lo largo de su historia.

La Figura 46 muestra los sismos históricos alrededor del Perú con magnitudes mayores a 5, desde el año 1973 al año 2017 según la base de datos de la United States Geological Survey (USGS) esta figura muestra que la zona sísmicamente más activa en el Perú es la que corresponde a la zona sur entre Lima y Tacna, también se observa que una gran cantidad de los sismos tienen una profundidad focal menor a 50 km, de acuerdo a su profundidad estos sismos están definidos como sismos superficiales. En la Figura 46 también se puede observar que tanto la zona norte del país, desde Lima hasta Tumbes, la actividad sísmica es mucho menor comparado con la zona sur, sin embargo, se sabe que toda la zona occidental de América del Sur es una zona altamente sísmica, lo que se conoce como parte del Círculo del Fuego.

Por otro lado, la zona centro del Perú especialmente el área frente a Lima y Callao, estaría experimentando el fenómeno llamado Silencio Sísmico, que es la falta de eventos sísmicos de considerable magnitud en una zona sísmicamente activa, lo que significa que la energía que se debería estar liberando a través de eventos sísmicos o terremotos se está acumulando. Entonces, de acuerdo a este concepto, la probabilidad de que ocurra un sismo de gran magnitud frente a las costas de Lima y Callao es muy alto.

Un fundamento más cuantitativo se puede observar en (Dorbath et al., 1990) donde se presenta una evaluación de los terremotos históricos de gran magnitud ocurridos en el Perú, la Figura 47, modificada de (Dorbath et al., 1990), muestra los sismos de gran magnitud o terremotos ocurridos en el Perú a lo largo del tiempo, donde las líneas continuas representan terremotos que causaron tsunamis así como la longitud aproximada del área de la falla, mientras que las líneas punteadas representan terremotos que no produjeron tsunamis. Teniendo en cuenta que las ciudades de Lima y Callao se encuentran ubicadas aproximadamente en la latitud 12°S, el último terremoto importante ocurrido en esta zona fue en 1974, lo que significa 42 años con ausencia de eventos sísmicos de gran magnitud o 41 años de energía sísmica acumulada, por lo tanto, estas condiciones hacen suponer la ocurrencia de un terremoto que libere toda esta energía acumulada que estaría afectando en mayor magnitud a la ciudad de Lima y Callao.

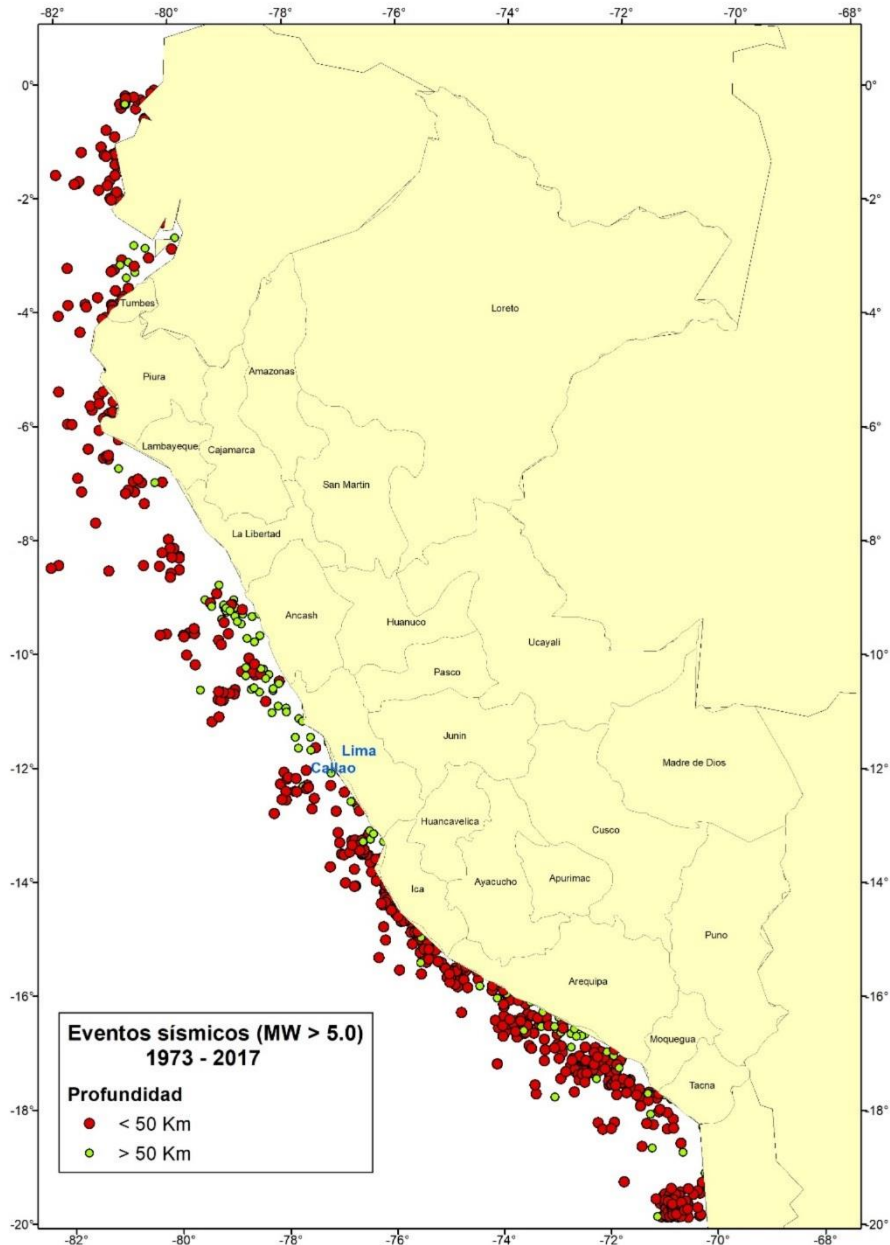


Figura 46. Sismos ocurridos en el Perú desde el año 1973 al año 2017 con magnitudes mayores a 5, base de datos (USGS).

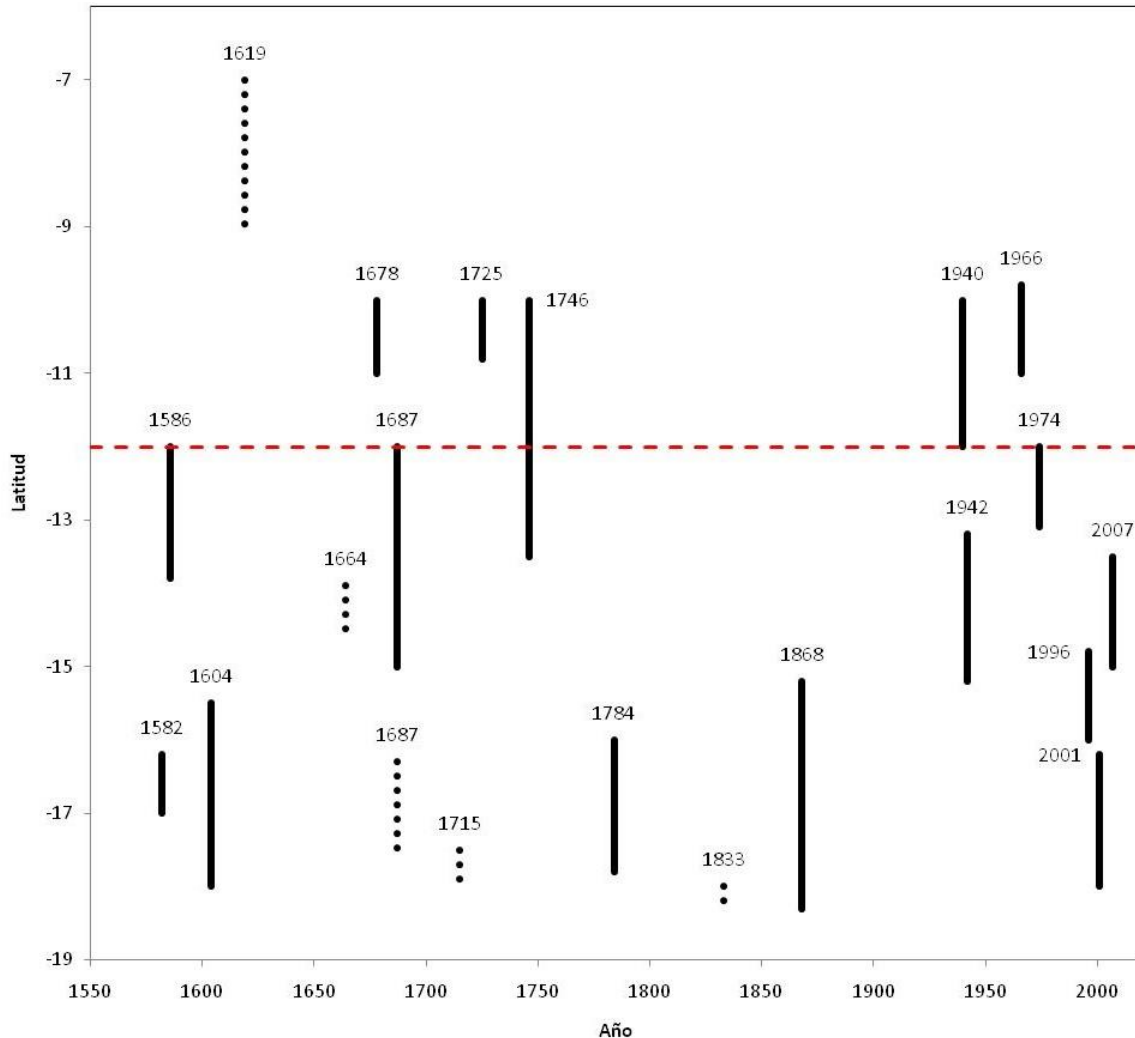


Figura 47. Zona de ruptura de los terremotos históricos ocurridos en el Perú. Las longitudes de las barras representan la longitud de ruptura, las barras con líneas punteadas representan los terremotos que no han producido tsunamis y la línea roja muestra la ubicación de la Ciudad de Lima. (Dorbath et al., 1990)

5.2. Tsunamis históricos en el Perú

Debido su ubicación, el Perú ha experimentado algunos de los más grandes tsunamis que han ocurrido en el mundo, de acuerdo con la base de tsunami tomada de la National Geographic Data Center (NGDC) Tsunami Database, son 4 los grandes tsunamis que han afectado las cosas peruanas y que han sido registrados también en otros países (Figura 48 y Tabla 4).

Tabla 4. Tsunamis históricos que han afectado las costas del Perú de acuerdo a NGDC Tsunami Database.

| Fecha | Magnitud (M_w) | Área afectada |
|------------|--------------------|-------------------------------------|
| 21/02/1996 | 7.5 | Chimbote, Callao |
| 12/11/1996 | 7.7 | Chincha alta, Arica, Nazca, Marcona |
| 23/06/2001 | 8.4 | Camaná, Moquegua, Tacna, |
| 15/08/2007 | 8.0 | Nazca, Pisco, Lima |

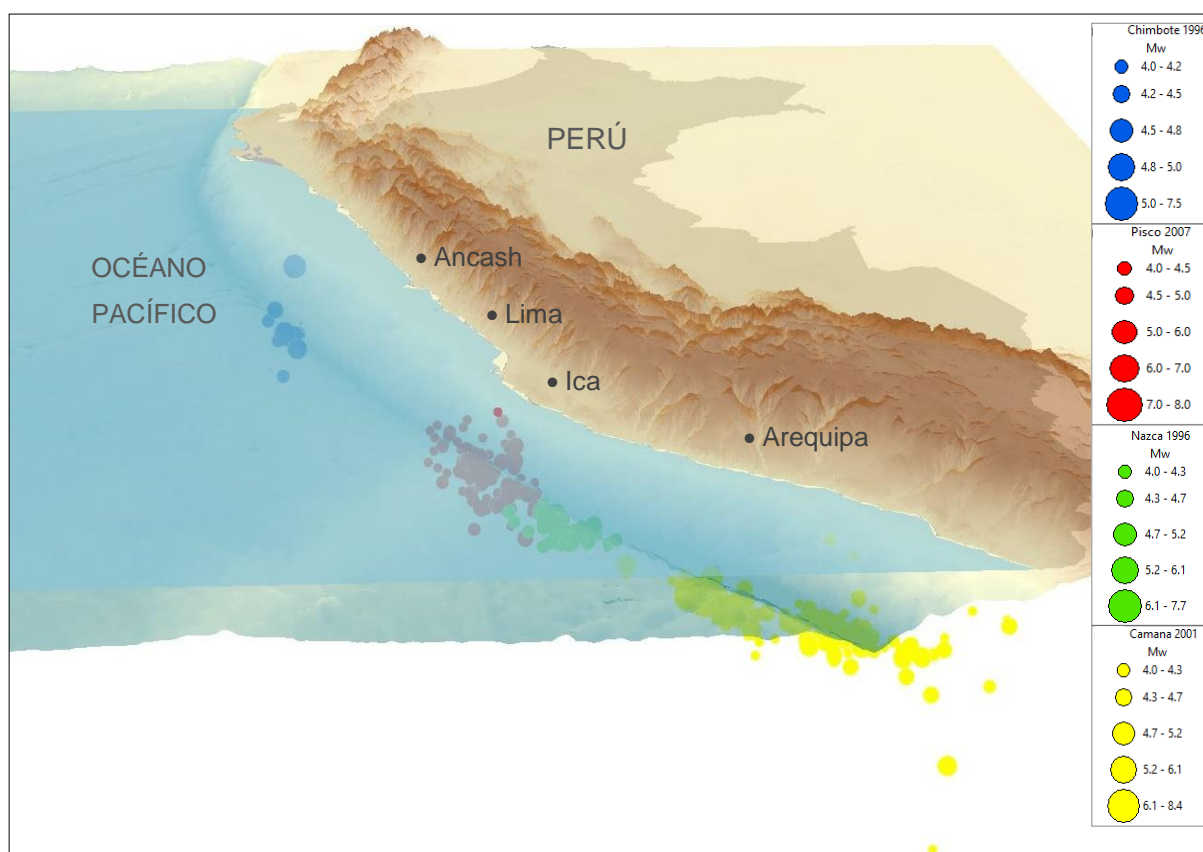


Figura 48. Ubicación de los terremotos, y las réplicas, que produjeron los cuatro tsunamis que afectaron al Perú y otros países según NGDC Tsunami Database.

Por ejemplo, el tsunami que ocurrió el 23 de junio del año 2001 en la zona sur del Perú fue generado por un sismo de magnitud M_w 8.4 con epicentro $16.26^\circ S$ $73.64^\circ O$. De acuerdo a USGS por lo menos 75 personas fallecieron, donde 26 a causa del tsunami producido, 2687 personas heridas, 17510 viviendas fueron destruidas y 35549 viviendas fueron afectadas en

las aéreas de Arequipa, Camaná y Tacna. Otro ejemplo más reciente es el tsunami que ocurrió el 15 de agosto del año 2007, donde las áreas costeras de Chincha y Paracas fueron las más afectadas, por otro lado, en Camaná se entrevistó a los pobladores en las cercanías a las zonas costeras afectadas, quienes manifestaron que 20 minutos después de ocurrido el sismo, arribaron a la costa una serie de olas que inundaron sus viviendas. Según el reporte de Dirección de Hidrografía y Navegación (DHN), las olas alcanzaron alturas máximas de inundación (run-up) de hasta 2.91m y para unas distancias de 102.7m. (Figura 49).



Figura 49. La erosión producto del tsunami del 23 de junio del año 2001 en la playa la Punta-Camaná, la altura máxima de ola en esta zona fue hasta de 7.5m (izquierda) (ITST, 2001a). Un bote pesquero arrastrado 1.3km en la zona donde la inundación llegó a 2km producto del tsunami del 15 de agosto de 2007 (derecha) (Fritz et al., 2008).

Sin embargo, según crónicas históricas el Callao fue afectado por un tsunami el 28 de octubre de 1746 que produjo la muerte de más del 96% de la población en ese entonces, según estas crónicas este tsunami produjo una ola de más de 21m de alturas y la primera ola arribó a las costas treinta minutos después de ocurrido el terremoto.

5.3. **Ámbito de Estudio**

El ámbito de análisis de este estudio cubre al distrito de Punta Hermosa, exclusivamente en lo que corresponde a las áreas que se determinen como zonas inundables.

El distrito de Punta Hermosa pertenece a la Provincia de Lima en el Departamento de Lima, es una localidad de un área que limita por el norte los distritos de Pueblo Libre y Jesús María; por el este con el distrito de San Isidro; por el oeste con el distrito de San Miguel y por el sur con el Océano Pacífico. La Figura 50 muestra la ubicación del distrito de Punta Hermosa en el mapa de la provincia de Lima.

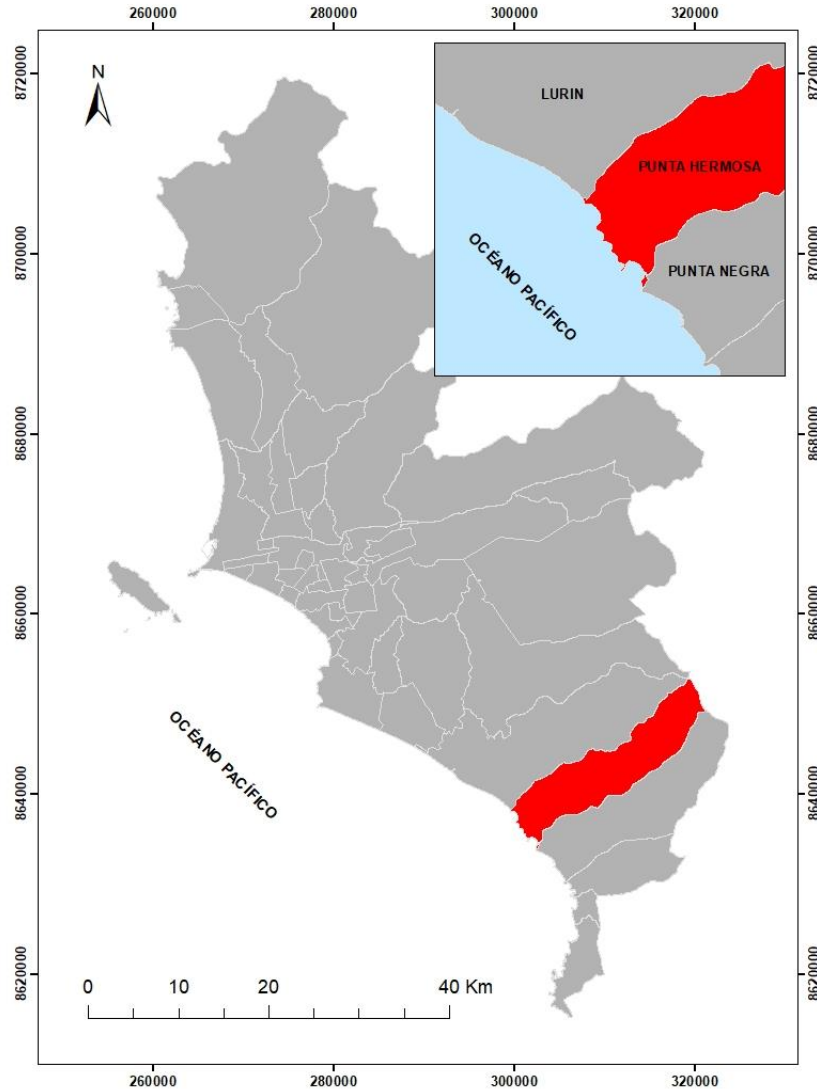


Figura 50. Localización del distrito de Punta Hermosa.

5.4. Procedimiento de Análisis

En este estudio para determinar la amenaza frente a tsunamis del distrito de Punta Hermosa, se realiza una revisión de la sismicidad histórica del área de estudio con el fin de determinar los escenarios sísmicos con más probabilidad de ocurrencia. Con esta información se establecen los parámetros de la fuente sísmica para calcular la deformación inicial de la superficie del océano. Seguidamente, se realiza la simulación numérica del tsunami. Como resultado de este análisis se obtiene el tiempo de arribo de la primera ola y las alturas máximas de las olas en las costas del área de estudio, estos cálculos numéricos se basan en la teoría



de aguas poco profundas, finalmente se proponen mapas de inundación y la estadística de las zonas urbanas afectadas por el tsunami.

5.5. Consideraciones Teóricas

5.5.1. Conceptos Básicos

Tsunami

Un tsunami es generado por perturbaciones de un volumen de agua en el mar, asociadas en la mayoría de los casos, con la ocurrencia de violentos sismos cuyos epicentros están en el lecho del océano o cerca de él. En el caso que un tsunami sea producido por un terremoto, éste producirá un levantamiento o hundimiento abrupto de un gran sector del fondo marino, lo que generará desplazamientos verticales repentinos de grandes volúmenes de agua. Esta alteración del nivel del mar, posteriormente al tender al equilibrio, generará una serie de ondas en todas direcciones a través del océano.

Existen otros tipos de perturbaciones del fondo del mar causadas por erupciones volcánicas, derrumbes o avalanchas submarinas y derrumbes costeros, los cuales podrían transmitir energía al océano y de esta forma generar ondas de tsunami.

De todos estos fenómenos, los más frecuentes en nuestro país, son los sismos submarinos, y por lo demás, son los únicos que provocan extensos desplazamientos del fondo del mar, lo que se traduce en una mayor energía cinética en el tsunami generado. Por esta razón, los efectos de este último tipo de tsunami son los más espectaculares y catastróficos, ya que ellos afectan a extensas áreas costeras.

La Figura 51 muestra el proceso del origen de un tsunami, partiendo del inicio de un evento sísmico, donde la placa sudamericana se desliza violentamente produciendo un levantamiento en el fondo marino que desplazará el agua que se encuentre sobre él.

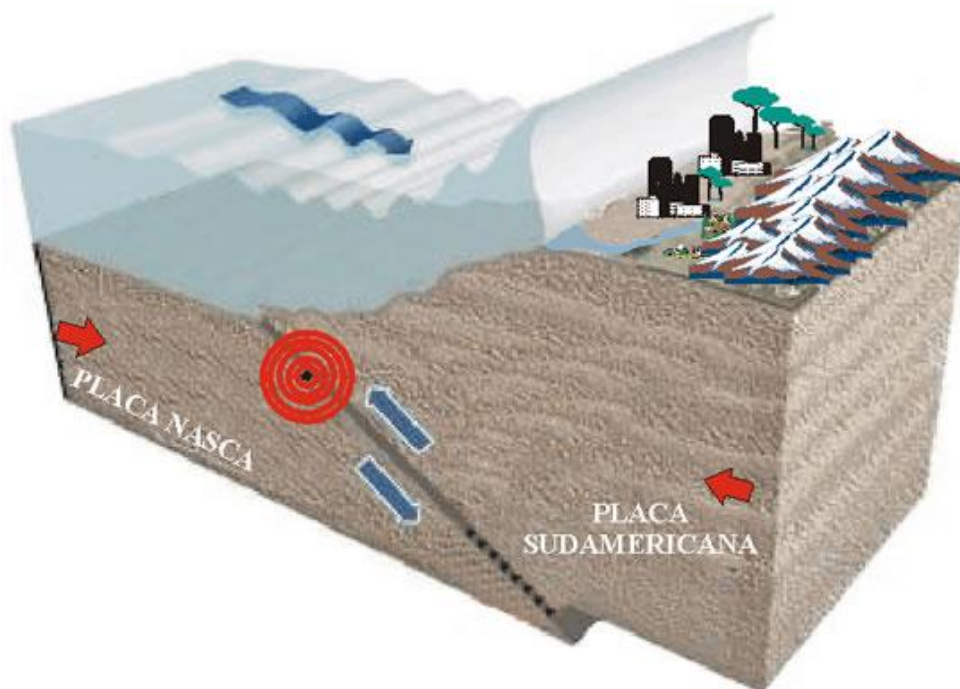


Figura 51. Proceso del origen de los tsunamis en las costas peruanas (Fuente: www.oannes.org.pe).

Tipos

Según la distancia desde el punto de generación a la zona de interés, se tienen tres tipos de tsunami:

- De Origen Local, son aquellos que tienen su punto de generación muy cercana a la costa ya sea por deslizamientos submarinos, como el ocurrido en las bahías de Alaska, EE.UU. (1964), o sismos en el litoral, como el de Lima, Perú (1940). En estos casos el ataque es inmediato a la generación.
- De Origen Cercano, aquellos que tienen su origen a pocos kilómetros de la costa, es decir, menor a 1000 km aproximadamente, estos eventos producen olas con tiempos de arribo a la costa de 10 a 30 minutos, según las condiciones locales del fondo marino.
- Origen Lejano, aquellos cuyo origen se encuentra a más de 1000 km de la zona de interés, su arribo se produce en tiempos que van desde 2 a 22 horas.

Características

Las características comunes a las ondas son aplicables a las presentadas por las olas pertenecientes a un tsunami. Estas características son:



- Período, tiempo que sucede entre el paso de dos ondas sucesivas.
- Longitud de Onda, distancia entre dos crestas sucesivas.
- Altura de Onda, distancia vertical entre el seno o valle y la cresta.

Teoría de Aguas Poco Profundas

Para el modelamiento de tsunamis se usa la teoría de aguas poco profundas, esta teoría considera que la profundidad característica es mucho menor que la longitud de onda de las olas en el mar, teniendo en cuenta esta asunción y considerando el agua de mar como un fluido incompresible de densidad ρ la ecuación de continuidad (Ec. 9) y las ecuaciones de cantidad de movimiento (Ec. 10 y Ec. 11) describe cómo las velocidad y la presión de un fluido en movimiento están relacionadas. Estas ecuaciones son resueltas (Imamura, 1995). Las dos básicas expresiones son mostradas a continuación. La ecuación de continuidad puede ser expresada como:

$$\frac{\partial \eta}{\partial t} + \frac{\partial M}{\partial x} + \frac{\partial N}{\partial y} = 0 \quad \text{Ec. 9}$$

Donde:

- η : amplitud de la onda
- M y N : flujo de descarga en las direcciones x y y
- t : tiempo

La ecuación de momento incluyendo la fricción en el fondo puede ser expresada como:

$$\frac{\partial M}{\partial t} + \frac{\partial}{\partial x} \left(\frac{M^2}{D} \right) + \frac{\partial}{\partial y} \left(\frac{MN}{D} \right) = -gD \frac{\partial \eta}{\partial x} - \frac{gn^2}{D^{7/3}} M \sqrt{M^2 + N^2} \quad \text{Ec. 10}$$

$$\frac{\partial N}{\partial t} + \frac{\partial}{\partial x} \left(\frac{MN}{D} \right) + \frac{\partial}{\partial y} \left(\frac{N^2}{D} \right) = -gD \frac{\partial \eta}{\partial y} - \frac{gn^2}{D^{7/3}} N \sqrt{M^2 + N^2} \quad \text{Ec. 11}$$

$$M = \int_{-h}^{\eta} u dz = \bar{u} (\eta + h) \quad \text{Ec. 12}$$

$$N = \int_{-h}^{\eta} v dz = \bar{v} (\eta + h) \quad \text{Ec. 13}$$



UNIVERSIDAD NACIONAL DE INGENIERÍA FACULTAD DE INGENIERÍA CIVIL

CENTRO PERUANO-JAPONÉS DE INVESTIGACIONES
SÍSMICAS Y MITIGACIÓN DE DESASTRES



$$D = \eta + h$$

Ec. 14

Donde:

$$\frac{gn^2}{D^{7/3}} M \sqrt{M^2 + N^2}, \frac{gn^2}{D^{7/3}} N \sqrt{M^2 + N^2} : \text{Fricción en el fondo de océano,}$$

D : profundidad total del océano

n : coeficiente de rugosidad de Manning

u y v : vector de velocidad en las direcciones x e y

\bar{u} y \bar{v} : velocidad promedio en las direcciones x e y

g : aceleración de la gravedad

h : profundidad del mar

La estabilidad numérica es definida como el tiempo que asegura que la velocidad de propagación numérica no exceda a la velocidad de propagación del medio físico o velocidad del tsunami, esta condición se define con la Ec. 15.

$$\Delta t \leq \frac{\Delta x}{\sqrt{2gh_{\max}}}$$

Ec. 15

Donde:

Δt : intervalo de tiempo para la simulación,

Δx : resolución espacial de la batimetría,

g : aceleración de la gravedad.

Parámetros de Fuente Sísmica

La fuente sísmica de los terremotos para la generación de la condición inicial del tsunami o la deformación inicial de la superficie del océano, puede describirse teóricamente usando nueve parámetros, estos son mostrados en la Figura 52.

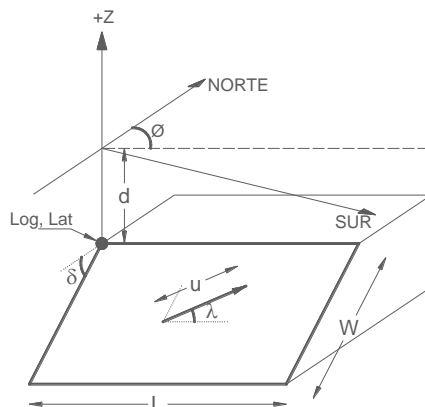


Figura 52. Parámetros de fuente sísmica para la generación de la condición inicial del tsunami.

Donde:

- Log, Lat : Ubicación en el plano de la esquina superior izquierda del área de la falla,
- d : Profundidad de la esquina superior izquierda del área de la falla,
- L : Longitud del área de la falla,
- W : Ancho del área de la falla,
- Φ : Dirección (Azimut) de la falla,
- λ : Ángulo de deslizamiento,
- δ : Ángulo de inmersión de la falla,
- u : Dislocación,

Estos parámetros son requeridos para la posterior simulación numérica del tsunami y tienen que ser obtenidos para cada una de las fallas y sub-fallas (si las hubiera) de las fuentes sísmicas.

Cabe resaltar además que para el cálculo de la magnitud de momento (M_w) de un sismo son necesarios tres de estos parámetros: la longitud, el ancho y la dislocación.

Escenario Sísmico

En este estudio los modelos fuente están basados en dos diferentes escenarios sísmicos. El primero es un modelo basado en la distribución de acoplamiento intersísmico en las zonas de subducción en un periodo de 265 años desde el terremoto de 1746, aquí también se incluyen las mediciones de la deformación del fondo marino obtenidos a partir de sensores GPS y transpondedores acústicos, así también información de sismos históricos para finalmente proponer la distribución de deslizamientos (Pulido et al., 2011).

El segundo escenario es un modelo fuente del terremoto de Perú en 1746 que fue calculado a través de una comparación directa de los resultados del modelamiento del tsunami y la interpretación de documentos históricos acerca de la inundación que este tsunami provocó (Jiménez et al., 2013).

Parámetros de las fuentes sísmicas

La fuente del primer escenario sísmico está dividida en 280 sub fallas, cada una de 20 km x 20 km, en un área de ruptura de 700 km de largo por 160 km de ancho, La magnitud de momento calculada es de 8.8 Mw. La distribución de desplazamientos muestra dos asperezas principales, la mayor localizada a 70 km al oeste de Lima con un desplazamiento de 15.4 m, y la segunda al sur de Lima con un valor de hasta 13.0 m, la Figura 53 (a) muestra la distribución de desplazamientos.

El segundo escenario estima un área de ruptura de 550 km x 140 km con 5 sub fallas de 110 km x 140 km, este modelo considera un máximo desplazamiento de 17.5 m a 50 km al sureste de Lima, la magnitud de momento calculada es de 8.9 Mw, La Figura 53 (b) muestra la distribución de desplazamientos para este escenario.

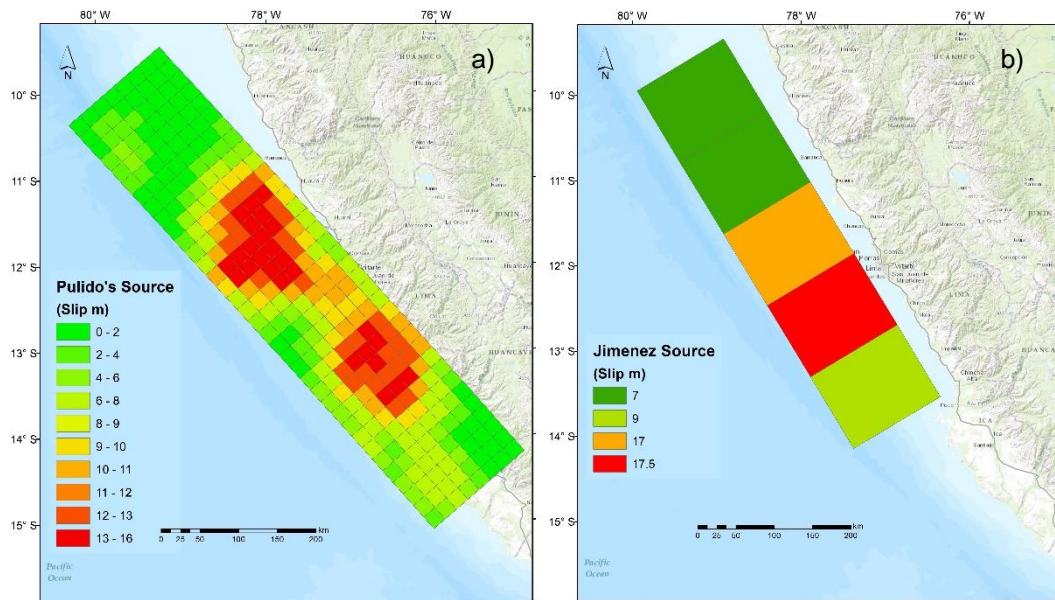


Figura 53. Distribución de desplazamientos para a) el primer escenario sísmico que consta de 280 sub fallas y b) para el segundo escenario que consta de 5 sub fallas.

5.6. Análisis del Tsunami para el distrito de Punta Hermosa

5.6.1. Fase de la Deformación Inicial de la Superficie del Océano

El desplazamiento inicial de la superficie del océano o condición inicial del tsunami es determinado calculando la deformación de la estructura del fondo del océano basado en relaciones propuestas en Okada, 1985. En este artículo se proponen ecuaciones para el cálculo del desplazamiento, esfuerzos e inclinación productos de la dislocación que sufre la estructura del fondo del océano durante un evento sísmico. Estas ecuaciones se basan en estudios previos, en un modelo realístico de la estructura de la tierra. Estos previos estudios revelan que el efecto de la curvatura de la tierra es depreciable para eventos a poca profundidad y a distancias menores a 20°, pero las capas verticales pueden algunas veces causar considerables efectos en los campos de deformación.

Entonces, el desplazamiento $u_i(x_1, x_2, x_3)$ debido a la dislocación $\Delta u_i(\xi_1, \xi_2, \xi_3)$ a través de la superficie Σ en un medio isotrópico es dado por:

$$u_i = \frac{1}{F} \iint_{\Sigma} \Delta u_j \left[\lambda \delta_{jk} \frac{\partial u_i^n}{\partial \xi_n} + \mu \left(\frac{\partial u_i^j}{\partial \xi_k} + \frac{\partial u_i^k}{\partial \xi_j} \right) \right] v_k d\Sigma \quad \text{Ec. 16}$$

Donde:

δ_{jk} : Delta de Kronecker,

λ y μ : Constantes de Lamé,

v_k : Dirección coseno de la normal al elemento de superficie $d\Sigma$,

u_i^j : Componente "i" del desplazamiento en el punto (x_1, x_2, x_3) debido a la fuerza de magnitud "F" en la dirección "j" en (ξ_1, ξ_2, ξ_3) ,

La Figura 54 y la Figura 55 muestran el resultado de la condición inicial del tsunami para los dos escenarios sísmicos, calculados usando la ecuación (5.1) y con los datos de entrada mostrados en la Tabla 2. Donde el color rojo representa el desplazamiento vertical positivo (levantamiento) y el color azul representa el desplazamiento vertical negativo (hundimiento). Puesto que los escenarios poseen múltiples sub fallas, en la Tabla 5 se muestra un resumen de los valores que definen estas sub fallas. El detalle de los valores de los parámetros para cada una de las sub fallas se muestra en el **ANEXO I** y el **ANEXO II**.



**UNIVERSIDAD NACIONAL DE INGENIERÍA
FACULTAD DE INGENIERÍA CIVIL**

**CENTRO PERUANO-JAPONÉS DE INVESTIGACIONES
SÍSMICAS Y MITIGACIÓN DE DESASTRES**



Tabla 5. Parámetros de fuente sísmica para el cálculo de la deformación inicial de la superficie del océano, definidos en la Figura 52.

| Parámetro | M _w 8.8 | M _w 8.9 |
|-------------------------|--------------------|--------------------|
| Longitud | -76.05° | -77.42° |
| Latitud | -15.1° | -14.2° |
| Profundidad | 7-44 km | 8 km |
| Largo | 700 km | 550 km |
| Ancho | 160 km | 140 km |
| Dirección (Azimut) | 319° | 329° |
| Ángulo de Inmersión | 15° | 20° |
| Ángulo de deslizamiento | 0-76° | 90° |
| Dislocación (Figura 52) | 0-16 m | 0-17.5 m |

En la simulación numérica de la propagación e inundación del tsunami, la línea marea es definida de acuerdo a la condición inicial del tsunami, Figura 54 y Figura 55. Esto significa que de acuerdo a este análisis, el nivel de la marea en la costa estaría descendiendo, lo que comunmente es llamado “el retroceso del mar”, como condición inicial del tsunami y como una señal de alerta de la venida del tsunami.

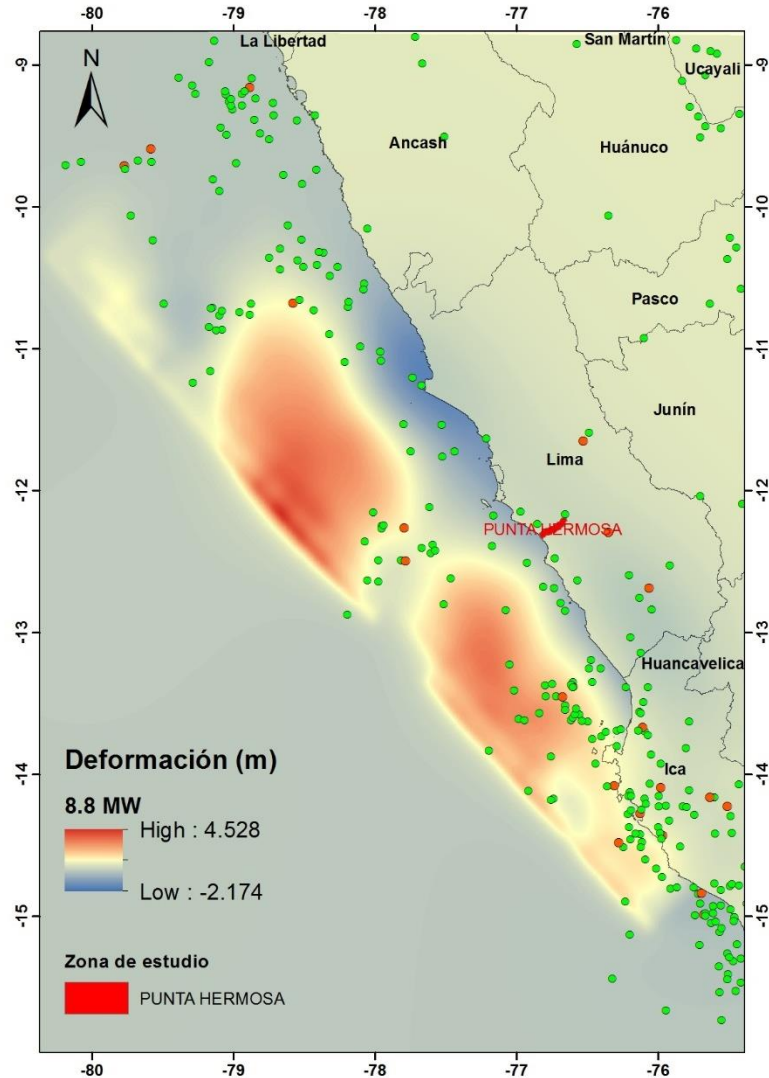


Figura 54. Deformación inicial de la superficie del océano para un sismo de Mw 8.8. Los puntos representan la sismicidad histórica.

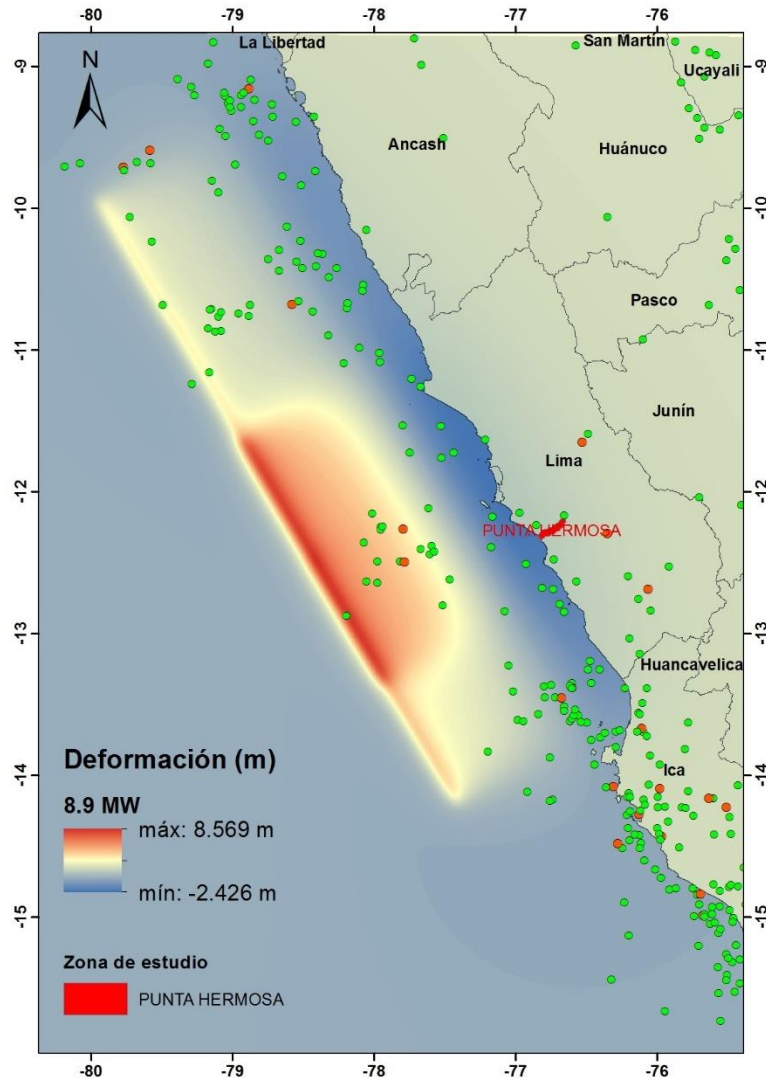


Figura 55. Deformación inicial de la superficie del fondo del océano para el sismo de Mw 8.9. Los puntos representan la sismicidad histórica.

De las figuras anteriores se observa que aunque la diferencia de la magnitud es de solo 0.1, las deformaciones positivas (levantamiento) en el fondo marino difieren en 4 metros (relación casi de 1 a 2), dando a entender así que los 9 parámetros mencionados en la Figura 52 son necesarios para definir las condiciones iniciales del fondo marino y no solo aquellos que se usan para el cálculo de la magnitud Mw.

5.6.2. Fase de la Propagación del Tsunami

La simulación numérica del tsunami es realizada usando TUNAMI-N2 (Tohoku University's Numerical Analysis Model for Investigation of Near-field Tsunami No.2) el código fuente está basado en la teoría de aguas poco profundas y fue desarrollado por el Disaster Control Research Center (DCRC – Tohoku University, Japan).

La propagación e inundación fueron calculadas usando TUNAMI-N2 en el sistema de coordenadas UTM utilizando el datum WGS84, Zona 18S y el área de cálculo fue dividida en cuatro dominios o regiones, donde los dominios se conectan unos a otros usando el sistema de mallas anidadas. Estos dominios se pueden ver en la

Figura 56.

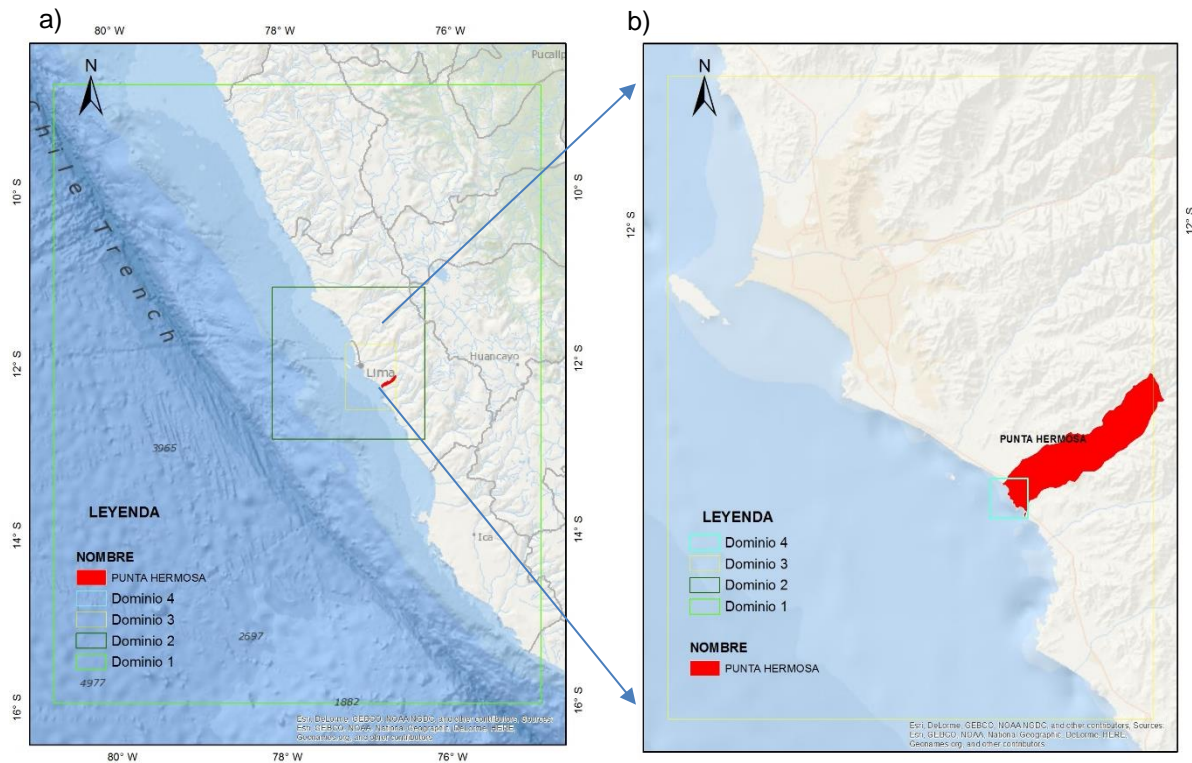


Figura 56. Dominios utilizados en la simulación numérica, a) Distribución de los 4 dominios, b) Detalle del área para el análisis de inundación.
(Mapa base: Fuente GEBCO y NOAA)

Para la simulación del tsunami, la batimetría fue tomada desde la página web del General Bathymetric Chart of the Ocean (GEBCO) con una resolución espacial de 30 segundos de arco, que para la ubicación geográfica de estudio se interpola a aproximadamente 415 metros

y para el análisis de inundación se utiliza una batimetría de 15 metros obtenida de los portulanos y recaladas por la DHN (Tabla 6).

El tiempo total de simulación es de 3 horas (180 minutos) y el intervalo de tiempo para la simulación, con el fin de satisfacer la estabilidad numérica, es de 0.2 segundos.

La Figura 57 muestra el escenario de la propagación de las olas para los tiempos (a) de 1 minuto y (b) el tiempo de arribo de la máxima inundación a la costa (minuto 13). También se muestran las amplitudes de la ola versus el tiempo transcurrido después de haberse iniciado el tsunami para los diferentes escenarios sísmicos, estas señales fueron registradas por las estaciones mareográficas virtuales ubicadas en la zona costera adyacente a las rutas de evacuación en caso de tsunami.

Además, la Figura 57 (a) muestra la distribución espacial de la condición inicial del tsunami calculado para un sismo de magnitud $M_w=8.8$, donde las zonas en azul representan el desplazamiento vertical positivo del mar y las zonas en celeste el desplazamiento vertical negativo (b) muestra la propagación del tsunami 13 minutos después de iniciado el evento sísmico. En esta figura se observa la máxima inundación en la costa.

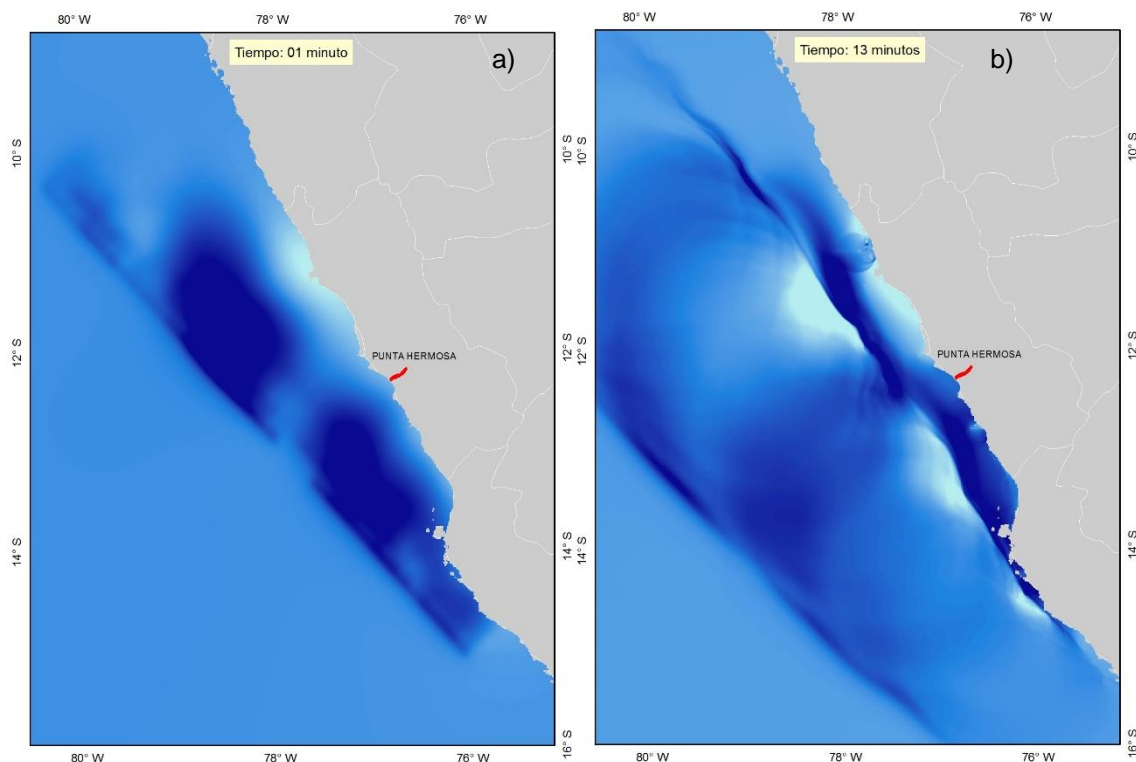


Figura 57. a) y b) Capturas instantáneas de la propagación del tsunami, donde el color azul representa el desplazamiento vertical positivo y el color celeste el desplazamiento vertical negativo de la superficie del océano para el escenario de 8.8 Mw.

La Figura 58 muestra como varia la amplitud en el transcurso del tiempo. Esta es una representación sintética del tsunami registrado en tres puntos cercanos a las zonas urbanas de la costa de Punta Hermosa, estas señales son el resultado de la sustracción de la señal astronómica de la señal mareográfica sintética del tsunami, la señal del tsunami muestra que en este escenario la primera ola arriba a Punta Hermosa aproximadamente 13 minutos después del evento sísmico, alcanzando su máxima altura de 3.1 metros a los 35 minutos, ver Anexo



Figura 58. Señal sintética del tsunami para el escenario de $M_w = 8.8$ en las costas de Punta Hermosa

La Figura 59, a) muestra la distribución espacial de la condición inicial del tsunami calculada para un sismo de magnitud $M_w = 8.9$, donde las zonas en azul representan el desplazamiento vertical positivo del mar y las zonas en celeste el desplazamiento vertical negativo, b) muestra la propagación del tsunami 26 minutos después de iniciado el evento sísmico. En esta figura se observa el arribo de la primera ola a la costa.

La Figura 60 muestra como varia la amplitud en el transcurso del tiempo. Esta es una representación sintética del tsunami registrado a lo largo de la costa de Punta Hermosa, estas señales son el resultado de la sustracción de la señal astronómica de la señal mareográfica

sintética del tsunami, la señal del tsunami muestra que en este escenario la máxima inundación ocurre aproximadamente 26 minutos después del evento sísmico, alcanzando su máxima altura de casi 17.6 metros aproximadamente a los 42 minutos.

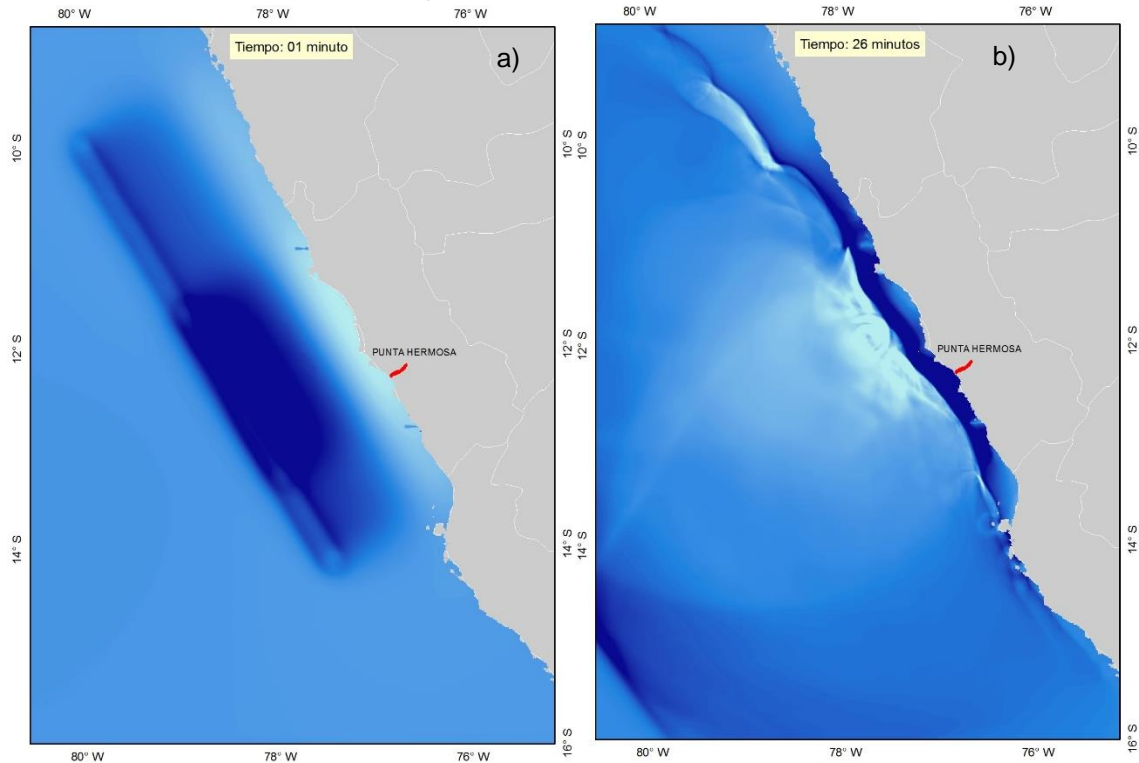


Figura 59. a) y b) Capturas instantáneas de la propagación del tsunami, donde el color azul representa el desplazamiento vertical positivo y el color celeste el desplazamiento vertical negativo de la superficie del océano para el escenario de 8.9 Mw.

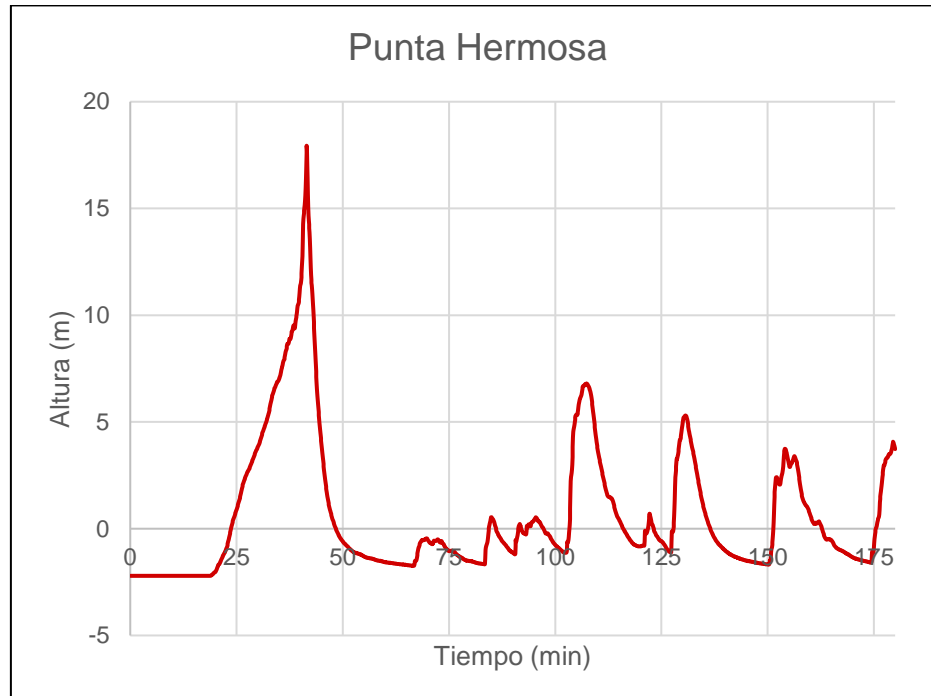


Figura 60. Señal sintética del tsunami para el escenario de $M_w = 8.9$ en las costas de Punta Hermosa

5.6.3. Fase de Inundación

En esta etapa se utilizó la batimetría obtenida por la DHN (Dirección de Hidrografía y Navegación) mediante los Portulanos y cartas de Recalada, interpolados hasta 15 metros. Así también, la topografía fue obtenida utilizando un servicio de Google Maps para obtener la elevación e integrada con la información obtenida del Shuttle Radar Topography Mission (SRTM), esta última fue descargada con una resolución espacial de 90 metros y fue interpolada hasta los 15 metros, la Tabla 6 detalla dónde se usó la batimetría y topografía para cada dominio, siendo el dominio 4 el usado para el análisis de inundación, en la

Figura 56 (b) se observa la extensión de este dominio.

Tabla 6. Fuentes y resolución de la topografía y batimetría para la simulación numérica

| Dominio | Batimetría | Topografía | Resolución (m) interpolada |
|---------|-------------------|--------------------|-------------------------------|
| | Fuente | Fuente | |
| 1 | GEBCO 30 s (900m) | GEBCO 30 s | 405 |
| 2 | GEBCO 30 s | GEBCO 30 s | 135 |
| 3 | GEBCO 30 s | GEBCO 30 s | 45 |
| 4 | DHN 15 m | SRTM + GOOGLE INC. | 15 |

Además, se establecieron cerca de 60 estaciones mareográficas virtuales a lo largo de la costa del área de estudio, en estas estaciones virtuales se puede registrar las variaciones en



el nivel del mar producto del tsunami, los valores máximos de estos registros estarían dando las probables amplitudes máximas o altura de las olas máximas que estaría atacando las costas de Punta Hermosa. Las alturas máximas de ola se resumen en la Tabla 7:

Tabla 7. Alturas máximas de ola obtenidas del modelo numérico de simulación de Tsunami

| Mw | Hmáx (m) |
|-----|----------|
| 8.8 | 2.7 |
| 8.9 | 18.0 |

Finalmente, estas alturas deberán ser corregidas por las alturas máximas de mareas. Para esta corrección se usan los valores calculados por la Dirección de Hidrografía y Navegación de la Marina de Guerra del Perú en base a la data histórica de las estaciones mareográficas instalados a lo largo de la costa peruana, dicha información incluye un ciclo nodal lunar de 19 años hasta el 2017.

En esta data histórica se puede encontrar que, en las costas de Callao cercanas al distrito de Punta Hermosa, se tiene un valor de pleamar de 1.45 metros. Con este valor se corrigen los valores obtenidos de la simulación para asegurar una evaluación de daños en el caso más desfavorable.

Finalmente, los valores de altura con los cuales se han evaluado las áreas de inundación se presentan en la Tabla 8, los valores se presentan redondeados.

Tabla 8. Valores corregidos de alturas máximas de olas.

| Mw | Hmáx corregida (m) |
|-----|--------------------|
| 8.8 | 4.15 |
| 8.9 | 19.45 |

Así como se obtienen las alturas máximas en las costas también se elaboraron mapas con las alturas de inundación para el área de estudio y los resultados se muestran en la Figura 61 y Figura 62 para los eventos de magnitudes 8.8 Mw y 8.9 Mw respectivamente.

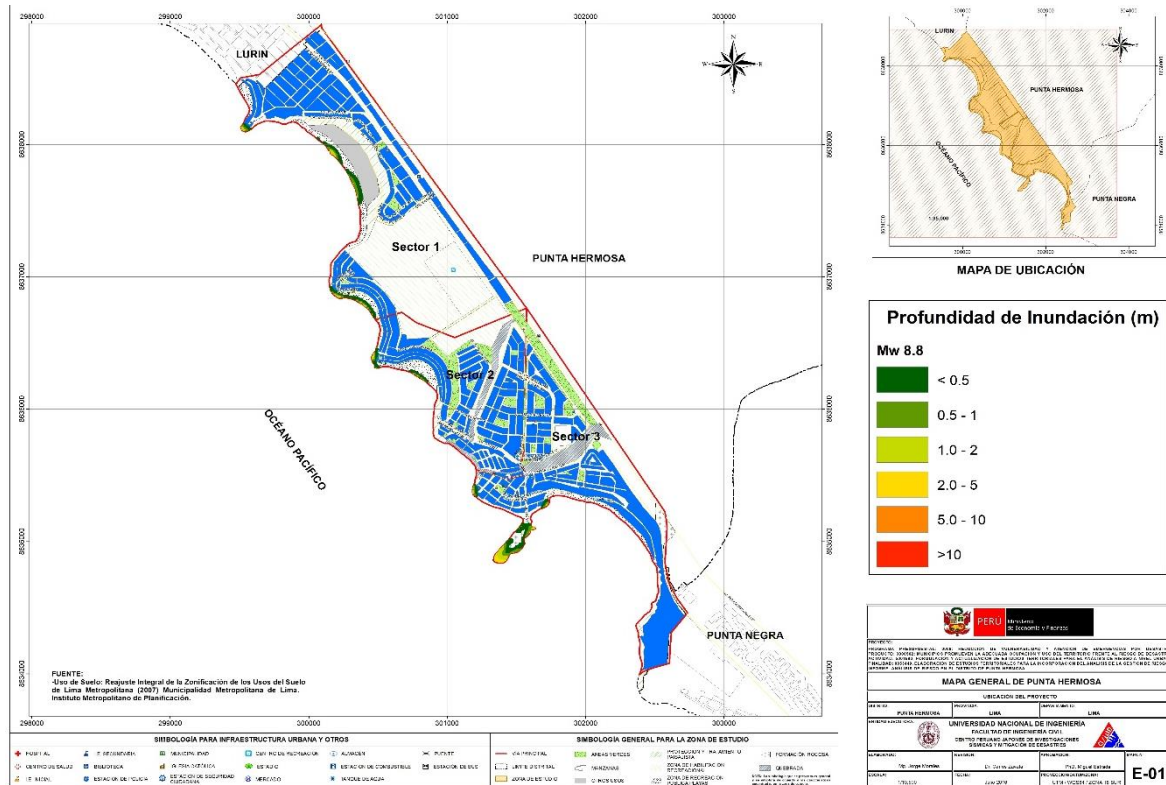


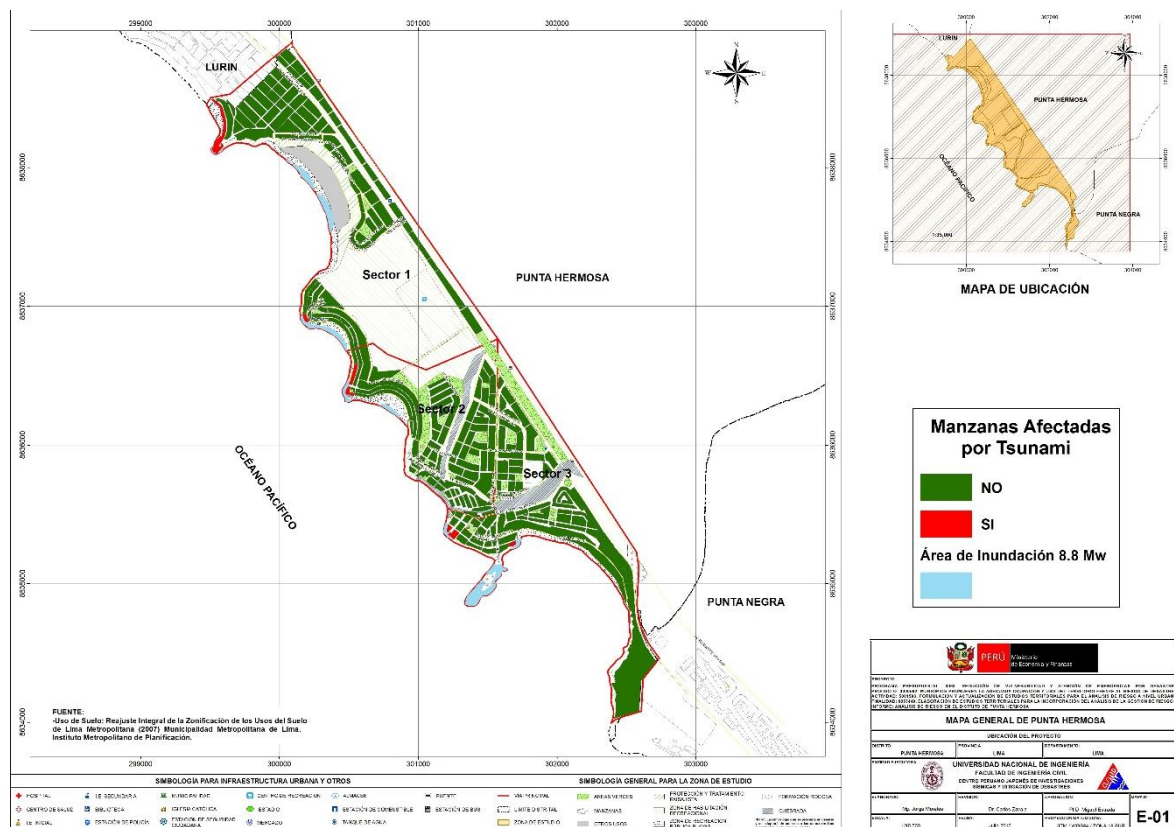
Figura 61. Profundidades de inundación para Punta Hermosa con el escenario sísmico de magnitud 8.8 Mw.

Considerando el escenario sísmico más severo, con un sismo de 8.9 Mw, las manzanas afectadas serían alrededor de 97, que representan aproximadamente un 39.92% del número total de manzanas del distrito.

Tabla 9. Número de manzanas afectadas en el distrito de Punta Hermosa, según el escenario sísmico.

| Nº | Distrito | Cantidad de Manzanas Afectadas | | Porcentaje de Afectación | |
|----|---------------|--------------------------------|--------|--------------------------|---------|
| | | Mw 8.8 | Mw 8.9 | Mw 8.8 | Mw 8.9 |
| 1 | Punta Hermosa | 7 | 97 | 2.88 % | 39.92 % |

Las posibles manzanas afectadas para ambos escenarios se muestran en la Figura 63.



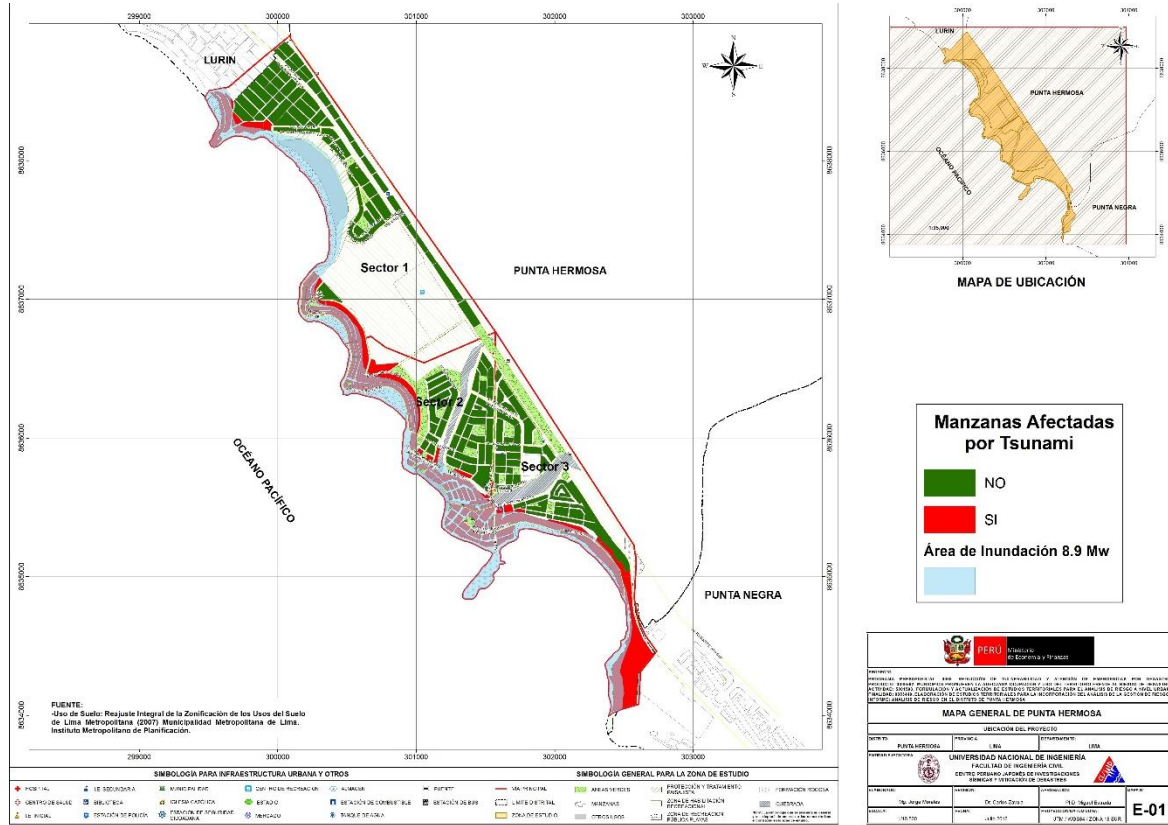


Figura 63. Manzanas afectadas por la inundación por el evento sísmico de 8.8 Mw (arriba) y por el de 8.9 Mw (abajo).



5.8. Recomendaciones

Los resultados obtenidos muestran que, con el evento más desfavorable, cerca de 97 viviendas se verían afectadas, esto debido principalmente a la cercanía de las viviendas a la costa, en su mayoría casas de playa.

El tiempo de evacuación promedio disponible sería de entre 13 y 25 minutos (ver la Figura 58 y la Figura 60), que es cuando arribarían las primeras olas, según el evento, tiempo quizás suficiente para poder evacuar horizontalmente, pero se debe concientizar a la población.

Por otro lado, la forma más adecuada para evacuar recomendada es a pie, ya que se usualmente se genera demasiado tráfico vehicular.

Las zonas cercanas a la costa, principalmente las casas y restaurantes que están bajo el acantilado y que son destinadas al entretenimiento en temporada de playa, serían las más afectadas.

La realización de simulacros de sismo y tsunami ayuda a la sensibilización de la población y para ello los mapas de peligro son muy importantes ya que muestran de una manera entendible la extensión de la amenaza.



UNIVERSIDAD NACIONAL DE INGENIERÍA FACULTAD DE INGENIERÍA CIVIL

CENTRO PERUANO-JAPONÉS DE INVESTIGACIONES
SÍSMICAS Y MITIGACIÓN DE DESASTRES



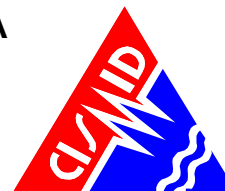
6. REFERENCIAS

- [1] Approximate Lateral Drift Demands in Multistory Buildings with Non uniform Stiffness - Eduardo Miranda and Carlos J. Reyes Journal of Structural Engineering ASCE / July 2002.
- [2] Approximate lateral deformation demands in multistory buildings - Miranda, E. (1999). Journal of Structural Engineering ASCE. /1999.
- [3] Estimación rápida de la Respuesta Sísmica en base a sistemas de un grado de libertad para el cálculo de vulnerabilidad sísmica – Carlos Zavala y Ricardo Proaño – XIV Congreso de Ingeniería Civil Iquitos Perú / Octubre 2003.
- [4] Estimación Rápida de Desplazamientos Laterales Producidos por Sismo -Hugo Scaletti Farina – FIC – UNI /2003.
- [5] Simulador Respuesta Sísmica y Nivel de Daño –SRSND – Carlos Zavala – CISMID/FIC/UNI/ Noviembre 2007.
- [6] Efectos del Terremoto de Managua en los efectos de agua y alcantarillado - Ing. E. Pallawlecial IX Seminario Centroamericano de Ingenieros Sanitarios Panamá /Septiembre 1973.
- [7] Reducción del Daño Sísmico – Guía para empresas de agua – Organización Panamericana de la Salud (OPS) y American Water Works Association (AWWA)/ 2003.
- [8] Damage Estimation of Water Distribution Pipes following recent earthquakes in Japan – Y. Maruyama and F. Yamazaki – Joint Conference Proceedings 7th International Conference on Urban Earthquake Engineering (7CUEE) /March 2010.
- [9] Post Quake Microzoning Study On Pisco and Tambo De Mora Due To August 15th 2007 Pisco Quake – C. Zavala, Z. Aguilar, and M. Estrada– Joint Conference Proceedings 7th International Conference on Urban Earthquake Engineering (7CUEE) /March 2010.
- [10] AASHTO LRFD 2012 Bridge Design Specifications 6th Edition (US) – Customary U.S. Units 2012 – Publication code: LRFDUS-6.
- [11] Alva Hurtado J. E. (2004), "Banco de Datos de Mapas de Isosistas en el Perú", Página web del CISMID – FIC – UNI (<http://www.cismid-uni.org/component/k2/item/68-banco-de-datos-de-isosistas-del-peru>).
- [12] Alva Hurtado J. E., Meneses J. y Guzmán V. (1984), "Distribución de Máximas Intensidades Sísmicas Observadas en el Perú", V Congreso Nacional de Ingeniería Civil, Tacna, Perú.
- [13] American Society of Civil Engineers - Structural Engineering Institute (2010), "Minimum Design Loads for Buildings and Other Structures".
- [14] Bernal, I. (2000), "Características de la Sismicidad en la Región Sur del Perú", Revista de Trabajos de Investigación, CNDG, IGP, pp. 69 – 80. Lima, Perú.
- [15] Berrocal J., (1974), "South American Seismotectonics from SAAS data", Thesis submitted for the Degree of Doctor of Philosophy in the University of Edinburg.



UNIVERSIDAD NACIONAL DE INGENIERÍA FACULTAD DE INGENIERÍA CIVIL

CENTRO PERUANO-JAPONÉS DE INVESTIGACIONES
SÍSMICAS Y MITIGACIÓN DE DESASTRES

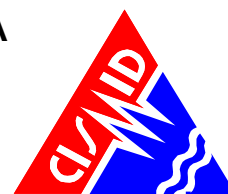


- [16] Bolaños A. y Monroy O. (2004), "Espectros de Peligro Sísmico Uniforme", Tesis para Optar el Grado de Magister en Ingeniería Civil, Facultad de Ingeniería, Pontificia Universidad Católica del Perú, Lima.
- [17] Bommer, J. J., (2002), "Deterministic vs. Probabilistic Seismic Hazard Assessment: An Exaggerated and Obstructive Dichotomy", Journal of Earthquake Engineering, Vol. 6, Special Issue 1, pp. 43 – 73, Imperial College Press.
- [18] Bommer, J. J., (2012), "Challenges of Building Logic Trees for Probabilistic Seismic Hazard Analysis" Earthquake Spectra, Volume 28, N°. 4, pages 1723-1735, November 2012. Earthquake Engineering Research Institute.
- [19] Boore, D. (1983), "Stochastic simulation of high frequency ground motion based on seismological models of the radiated spectra", Bulletin of the Seismological Society of America, Vol. 73, N° 6, pp. 1865-1894.
- [20] Boore, D.; Joyner, W. (1982), "The empirical prediction of ground motion", Seismological Society of America, Vol. 72, N° 6, pp. S43-S60.
- [21] Cahill, T.; Isacks, B. (1992), "Seismicity and shape of the subducted Nazca plate". Journal of Geophysical Research, Vol. 97, No.B12, p. 17503-17529.
- [22] Castillo J. (1993), "Peligro Sísmico en el Perú", Tesis de Grado, Facultad de Ingeniería Civil, Universidad Nacional de Ingeniería Lima.
- [23] Castillo, J; Alva, J. (1998), "Peligro sísmico en el Perú", Memorias del VIII Congreso Nacional de Mecánica de Suelos e Ingeniería de Cimentaciones, SPMSIF, Lima, Perú.
- [24] Cornell A. (1968), "Engineering Seismic Risk Analysis", Bulletin of the Seismological Society of America", Vol 58, N°5 págs.1538-1606.
- [25] Deza E. (1969), "Estudio Preliminar Sobre las Zonas de Transición que Separan Posibles Regiones Sismotectónicas del Margen Occidental de Sudamérica: Zona de Transición en el Perú", I Congreso Nacional de Sismología e Ingeniería Antisísmica, Lima, Perú.
- [26] Deza E. y Carbonell C. (1978), "Regionalización Sismotectónica Preliminar del Perú", IV Congreso Peruano de Geología, Lima, Perú.
- [27] Dorbath, L., Cisternas, A. y Dorbath, C. (1990) "Assessment of the Size of large and Great Historical Earthquakes in Peru". BSSA, 80, pg 551-576.
- [28] Esteva, L. (1970), "Criterios para la Construcción de Espectros de Diseño", Publicación N° 19 del Instituto de Ingeniería, Universidad Nacional Autónoma de México.
- [29] Gamarra, C. A. (2010), "Nuevas Fuentes Sismogénicas para la Evaluación del Peligro Sísmico y Generación de Espectros de Peligro Uniforme en el Perú", Tesis de Grado, Facultad de Ingeniería Civil, Universidad Nacional de Ingeniería Lima.
- [30] Giovanni M. K., Beck S. L. & Wagner L. (2002), "The June 23, 2001 Peru Earthquake and the Southern Peru Subduction Zone". Geophysical Research Letters, Vol 29, N° 21, 2018.



UNIVERSIDAD NACIONAL DE INGENIERÍA FACULTAD DE INGENIERÍA CIVIL

CENTRO PERUANO-JAPONÉS DE INVESTIGACIONES
SÍSMICAS Y MITIGACIÓN DE DESASTRES



- [31] Grange, F. et al (1984), "Tectonics implications of the micro earthquake seismicity and fault plane Solutions in the Southern Peru", Journal of Geophysical Research, Vol. 89, Pp 6139-6152.
- [32] Gutenberg, B. (1945), "Magnitude determination for deep-focus earthquakes", Bulletin of the Seismological Society of America, Vol. 35, pp. 117-130.
- [33] Gutenberg, B.; Richter, C. (1956), "Earthquake magnitude: intensity, energy, and acceleration", Bulletin of the Seismological Society of America, Vol. 46, pp. 104-145.
- [34] Hanks, T.; Kanamori, H. (1979), "A moment magnitude scale", Journal of Geophysical Research, Vol. 84, pp. 2348-2350.
- [35] Hynes-Griffin, M.E., and Franklin, A.G., (1984), "Rationalizing the Seismic Coefficient Method", Miscellaneous Paper GL-84,-13, U.S. Army Corps of Engineers, Waterways Experiment Station, Vicksburg, Mississippi.
- [36] Instituto Geofísico del Perú. (2001), "Catálogo Sísmico del Perú: Versión Revisada y Actualizada". Lima, Perú.
- [37] International Building Code (2012), "2012 International Building Code", International Code Council, INC (ICC) - USA.
- [38] Isacks B., Oliver J. y Sykes L.R., (1968), "Seismology and Global Tectonics", Journal of Geophysical Research, Vol 73, N°18, páginas: 5855-5899.
- [39] Kramer, S. L., (1996), "Geotechnical Earthquake Engineering". Prentice Hall, New Jersey, USA.
- [40] Macharé, J., Benavente, C., Laurence, A. (2009), "Síntesis Descriptiva del Mapa Neotectónico 2008", Boletín N° 40 Serie C Geodinámica e Ingeniería Geológica, INGEMMET
- [41] Macharé, J., Fenton, C., Machette, M., Lavenu, A., Costa, C. and Dart, R., (2003), "Database and Map of Quaternary Faults and Folds of Peru and its Offshore Regions", Open-File Report 03-451, US Geological Survey, U.S.A.
- [42] Macharé, J., Laurence, A., Romero, J., Costa, C., Ramírez, V., Lara, L., et al. (2009), "Atlas de Deformaciones Cuaternarias de los Andes", Proyecto Multinacional Andino: Geociencias para las Comunidades Andinas, Publicación Geológica Multinacional N° 7.
- [43] McGuire R.K. (1974), "Seismic Structural Response Risk Analysis incorporating Peak Response Regression on Earthquake Magnitude and Distance", MIT Report R74-51 Cambridge MA, USA.
- [44] Ministerio de Energía y Minas (1995), "Guía Ambiental para el Manejo de Relaves Mineros"
- [45] Ordaz, M., Aguilar A., Arboleda J: (1999), "Program for Computing Seismic Hazard: CRISIS 2003 Ver 3.0.1", Institute of Engineering, Universidad Nacional Autónoma de México.



UNIVERSIDAD NACIONAL DE INGENIERÍA FACULTAD DE INGENIERÍA CIVIL

CENTRO PERUANO-JAPONÉS DE INVESTIGACIONES
SÍSMICAS Y MITIGACIÓN DE DESASTRES



- [46] Patwardhan, K.; Sadigh, I. M.; Idriss and Youngs, R. (1978). "Attenuation of Strong Motion Effect of Site Conditions. Transmission Path Characteristics and Focal Depths", submitted to the Bull Seismological Society of America.
- [47] Pomachagua, O. (2000), "Características Generales de la Tectónica y Sismicidad de Perú", Revista de Trabajos de Investigación, CNDG, IGP, pp. 93 – 104. Lima, Perú.
- [48] Richter C.F. (1958), "Elementary Seismology", W.H. Freeman Co., San Francisco.
- [49] S. Rodríguez, H. Tavera, (1991), Determinación con Alta Resolución de la zona Wadati-Benioff en la Región del Perú Central, Revista Geofísica Vol. 9, N°2, 141-159.
- [50] Sadigh K. Chang C., Egan J., Makdisi F., Youngs R. R., (1997), "Attenuation Relationship for Shallow Crustal Earthquakes Based on California Strong Motion Data", Seismological Research Letters, Volume 68, Number 1, January/February.
- [51] Scordilis E 2006: Empirical global relations converting Ms and mb to moment magnitude, Journal of Seismology 10: pp. 225-236.
- [52] Sébrier M., Huamán D., Blanc J. L., Macharé J., Bonnot D. y Cabrera J. (1982), "Observaciones acerca de la Neotectónica del Perú", Instituto Geofísico del Perú, Lima, Perú.
- [53] Silgado E., (1969), "Sismicidad de la Región Occidental de la América del Sur entre los paralelos 2° y 18° Latitud Sur", Primer Congreso Nacional de Sismología e Ingeniería Antisísmica, pp. 33-44.
- [54] Silgado E. (1973), "Historia de los Sismos más Notables ocurridos en el Perú 1955-1970", Geofísica Panamericana, Vol 2 pp. 179-243.
- [55] Silgado E. (1978), "Historia de los Sismos más Notables ocurridos en el Perú (1513-1974)", Instituto de Geología y Minería, Boletín N°3, Serie C, Geodinámica e Ingeniería Geológica, Lima, Perú.
- [56] Silgado E. (1992), "Investigación de Sismicidad Histórica en la América del Sur en los Siglos XVI, XVII, XVIII y XIX", CONCYTEC, Lima, Perú.
- [57] SISRA (1985), "Catálogo de Terremotos para América del Sur" Vol 7a, 7b y 7c, Proyecto SISRA, CERESIS, Lima, Perú.
- [58] Slemmons D. (1982), "Magnitude of Active Faults", U.S. Army Engineer Waterways Experimental Station, USA.
- [59] Tavera H. y Buforn E (1998), "Sismicidad y Sismotectónica de Perú", Física de la Tierra, N° 10, pp. 187 – 219. España.
- [60] Tavera H., (1998), "Mecanismo Focal de Terremotos en Perú y Sismotectónica", Tesis para Optar el Grado de Doctor en Ciencias Físicas, Facultad de Ciencias Físicas, Universidad Complutense de Madrid, España.
- [61] Tavera H., Buforn E., Bernal I., Antayhua Y. & Vilcapoma L. (2002), "The Arequipa (Peru) Earthquake of June 23, 2001", Journal of Seismology, Vol. 6, pp. 279 – 283.



UNIVERSIDAD NACIONAL DE INGENIERÍA FACULTAD DE INGENIERÍA CIVIL

CENTRO PERUANO-JAPONÉS DE INVESTIGACIONES
SÍSMICAS Y MITIGACIÓN DE DESASTRES



- [62] Tavera H., Vilca R. y Marín G. (2006), "Inferences on the Geometry of the Nazca Plate in Northwestern Peru Based on Data Collected by a Local Seismograph Network", *Earth Science Research Journal*, Vol. 10, N° 1, pp. 15 – 24.
- [63] Weichert, Dieter H. (1980), "Estimation of the Earthquake Recurrence Parameters for Unequal Observation Periods for Different Magnitudes", *Bulletin of Seismological Society of America*, Vol. 70, N° 4, pp. 1337-1346, August, 1980.
- [64] Youngs, R. R., Chiou, S. J., Silva, W. J. and Humprey, J. R. (1997), "Strong Ground Motion Attenuation Relationships for Subduction Zone Earthquakes", *Seismological Research Letters*, Vol. 68, Numb. 1, Pp. 58 – 73, USA.
- [65] Zhao, J., Zhang, J., Asano, A., Ohno, Y., Oouchi, T., et al (2006), "Attenuation Relations of Strong Ground Motion in Japan Using Site Classification Based on Predominant Period", *Bulletin of the Seismological Society of America*, Vol. 96, No. 3, pp. 898 – 913, June 2006, doi: 10.1785/0120050122.
- [66] Silgado F., E., (1992). Investigaciones de sismicidad histórica en la America del Sur en los siglos XVI, XVII, XVIII y XIX, Consejo Nacional de Ciencia y Tecnología, Lima, Perú.
- [67] ITST, 2001a, Report of the June 23, 2001 Peruvian Tsunami Field Survey of the International Tsunami Survey Team (ITST).
- [68] Fritz, H. M., Kalligeris, N., Borrero, J. C., Broncano, P., and Ortega, E., 2008, The 15 August 2007 Peru tsunami run-up observations and modeling, *Geophysical Research Letters*, vol. 35, L10604, doi: 10.1029/2008GL033494.
- [69] Imamura, F., 1995, Review of the tsunami simulation with a finite difference method, *Long Wave Run-up Models*, Word Science, 25-42.
- [70] Dorbath L., Cisternas A., y Dorbath C., 1990, Assessment of the Size of Large and Great Historical Earthquakes in Peru, *Bulletin of the Seismological Society of America*, Vol. 80, No. 3, pp. 551-576.
- [71] Okada, Y., 1985, Surface Deformation Due to shear and Tensile Faults in Half-space, *Bulletin Seismological Society of America*. Vol. 75, No. 4, 1135-1154.
- [72] N. Pulido, H. Tavera, H. Perfettini, M. Chlieh, Z. Aguilar, S. Aoi, S. Nakai, and F. Yamazaki, "Estimation of Slip Scenarios for Megathrust Earthquakes: A Case Study for Peru," in *Effects of Surface Geology on Seismic Motion*, pp. 1-6, 2011.
- [73] C. Jimenez, N. Moggiano, E. Mas, B. Adriano, S. Koshimura, Y. Fujii, and H. Yanagisawa, "Seismic Source of 1746 Callao Earthquake from Tsunami Numerical Modeling," *Journal of Disaster Research*, Vol.8, No.2, pp. 266-273, 2013.
- [74] B. Adriano, E. Mas, S. Koshimura, Y. Fujii, S. Yauri, C. Jimenez and H. Yanagisawa, "Tsunami Inundation Mapping in Lima for Two Tsunami Source Scenarios", *Journal of Disaster Research*, Vol.8, No.2, pp 274-284, 2013.
- [75] Kuroiwa J., *Reducción de Desastres, Viviendo en Armonía con la Naturaleza*, 2002.
- [76] Evaluación del Riesgo de Tsunamis en Quintero Chile, En revista chilena de ingeniería (ISSN0370-4009). No 453, abril 2008.



UNIVERSIDAD NACIONAL DE INGENIERÍA FACULTAD DE INGENIERÍA CIVIL

CENTRO PERUANO-JAPONÉS DE INVESTIGACIONES
SÍSMICAS Y MITIGACIÓN DE DESASTRES



- [77] “Estudio de Tsunamis de Origen Cercano en el Callao Centro – Norte, Planes de Evacuación y Uso de Suelo”, 2008, E. Mas y V Jácome. Facultad de Ingeniería Civil – Universidad Nacional de Ingeniería.
- [78] Silgado F., E., (1992). Investigaciones de sismicidad histórica en la América del Sur en los siglos XVI, XVII, XVIII y XIX, Consejo Nacional de Ciencia y Tecnología, Lima, Perú.
- [79] ITST, 2001a, Report of the June 23, 2001 Peruvian Tsunami Field Survey of the International Tsunami Survey Team (ITST).
- [80] Fritz, H. M., Kalligeris, N., Borrero, J. C., Broncano, P., and Ortega, E., 2008, The 15 August 2007 Peru tsunami run-up observations and modeling, *Geophysical Research Letters*, vol. 35, L10604, doi: 10.1029/2008GL033494.
- [81] Imamura, F., 1995, Review of the tsunami simulation with a finite difference method, *Long Wave Run-up Models*, World Science, 25-42.
- [82] Dorbath L., Cisternas A., y Dorbath C., 1990, Assessment of the Size of Large and Great Historical Earthquakes in Peru, *Bulletin of the Seismological Society of America*, Vol. 80, No. 3, pp. 551-576.
- [83] Okada, Y., 1985, Surface Deformation Due to shear and Tensile Faults in Half-space, *Bulletin Seismological Society of America*. Vol. 75, No. 4, 1135-1154.
- [84] N. Pulido, H. Tavera, H. Perfettini, M. Chlieh, Z. Aguilar, S. Aoi, S. Nakai, and F. Yamazaki, “Estimation of Slip Scenarios for Megathrust Earthquakes: A Case Study for Peru,” in *Effects of Surface Geology on Seismic Motion*, pp. 1-6, 2011.
- [85] C. Jimenez, N. Moggiano, E. Mas, B. Adriano, S. Koshimura, Y. Fujii, and H. Yanagisawa, “Seismic Source of 1746 Callao Earthquake from Tsunami Numerical Modeling,” *Journal of Disaster Research*, Vol.8, No.2, pp. 266-273, 2013.
- [86] B. Adriano, E. Mas, S. Koshimura, Y. Fujii, S. Yauri, C. Jimenez and H. Yanagisawa, “Tsunami Inundation Mapping in Lima for Two Tsunami Source Scenarios”, *Journal of Disaster Research*, Vol.8, No.2, pp 274-284, 2013.
- [87] Kuroiwa J., *Reducción de Desastres, Viviendo en Armonía con la Naturaleza*, 2002.
- [88] Evaluación del Riesgo de Tsunamis en Quintero Chile, En revista chilena de ingeniería (ISSN0370-4009). No 453, abril 2008.
- [89] “Estudio de Tsunamis de Origen Cercano en el Callao Centro – Norte, Planes de Evacuación y Uso de Suelo”, 2008, E. Mas y V Jácome. Facultad de Ingeniería Civil – Universidad Nacional de Ingeniería.
- [90] “Tabla de Mareas 2015”, 2015, Dirección de Hidrografía y Navegación, Marina de Guerra del Perú, Ministerio de Defensa, República del Perú.



UNIVERSIDAD NACIONAL DE INGENIERÍA FACULTAD DE INGENIERÍA CIVIL

CENTRO PERUANO-JAPONÉS DE INVESTIGACIONES SÍSMICAS Y MITIGACIÓN DE DESASTRES



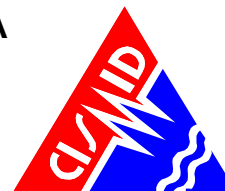
ANEXO I. Tabla de los parámetros de la fuente sísmica que considera 280 sub fallas.

| Sub falla | Coordenada X (m) | Coordenada Y (m) | Deslizamiento (m) | Longitud (m) | Ancho (m) | Azimut (°) | Inmersión (°) | Deslizamiento (°) | Profundidad (m) |
|-----------|------------------|------------------|-------------------|--------------|-----------|------------|---------------|-------------------|-----------------|
| 1 | 387514.74 | 8328974.09 | 3.07 | 20000 | 20000 | 319 | 15 | 64 | 7441.05 |
| 2 | 374270.24 | 8343930.57 | 4.61 | 20000 | 20000 | 319 | 15 | 60 | 7441.05 |
| 3 | 361020.03 | 8358891.86 | 4.61 | 20000 | 20000 | 319 | 15 | 60 | 7441.05 |
| 4 | 347742.88 | 8373835.91 | 4.61 | 20000 | 20000 | 319 | 15 | 56 | 7441.05 |
| 5 | 334460.41 | 8388774.09 | 3.07 | 20000 | 20000 | 319 | 15 | 64 | 7441.05 |
| 6 | 321151.18 | 8403717.51 | 4.61 | 20000 | 20000 | 319 | 15 | 60 | 7441.05 |
| 7 | 307837.04 | 8418644.38 | 6.15 | 20000 | 20000 | 319 | 15 | 56 | 7441.05 |
| 8 | 294507.24 | 8433576.95 | 6.15 | 20000 | 20000 | 319 | 15 | 52 | 7441.05 |
| 9 | 281151.29 | 8448493.18 | 4.61 | 20000 | 20000 | 319 | 15 | 60 | 7441.05 |
| 10 | 267790.88 | 8463404.50 | 4.61 | 20000 | 20000 | 319 | 15 | 60 | 7441.05 |
| 11 | 254404.44 | 8478321.99 | 4.61 | 20000 | 20000 | 319 | 15 | 68 | 7441.05 |
| 12 | 241013.97 | 8493223.90 | 4.61 | 20000 | 20000 | 319 | 15 | 76 | 7441.05 |
| 13 | 227608.72 | 8508121.39 | 3.07 | 20000 | 20000 | 319 | 15 | 76 | 7441.05 |
| 14 | 214318.10 | 8523093.52 | 0.00 | 20000 | 20000 | 319 | 15 | 0 | 7441.05 |
| 15 | 201013.25 | 8538050.66 | 0.00 | 20000 | 20000 | 319 | 15 | 0 | 7441.05 |
| 16 | 187694.21 | 8553004.07 | 0.00 | 20000 | 20000 | 319 | 15 | 0 | 7441.05 |
| 17 | 173821.13 | 8567692.89 | 3.07 | 20000 | 20000 | 319 | 15 | 72 | 7441.05 |
| 18 | 160344.34 | 8582571.18 | 4.61 | 20000 | 20000 | 319 | 15 | 60 | 7441.05 |
| 19 | 146842.71 | 8597457.15 | 6.15 | 20000 | 20000 | 319 | 15 | 68 | 7441.05 |
| 20 | 133338.42 | 8612329.12 | 7.69 | 20000 | 20000 | 319 | 15 | 76 | 7441.05 |
| 21 | 119809.72 | 8627198.08 | 9.22 | 20000 | 20000 | 319 | 15 | 72 | 7441.05 |
| 22 | 106278.39 | 8642075.60 | 10.76 | 20000 | 20000 | 319 | 15 | 68 | 7441.05 |
| 23 | 92723.11 | 8656939.43 | 7.69 | 20000 | 20000 | 319 | 15 | 60 | 7441.05 |
| 24 | 79165.69 | 8671801.14 | 4.61 | 20000 | 20000 | 319 | 15 | 76 | 7441.05 |
| 25 | 65595.21 | 8686671.87 | 3.07 | 20000 | 20000 | 319 | 15 | 64 | 7441.05 |
| 26 | 52001.24 | 8701529.50 | 1.54 | 20000 | 20000 | 319 | 15 | 60 | 7441.05 |
| 27 | 38405.61 | 8716385.62 | 1.54 | 20000 | 20000 | 319 | 15 | 64 | 7441.05 |
| 28 | 24786.46 | 8731251.20 | 1.54 | 20000 | 20000 | 319 | 15 | 64 | 7441.05 |
| 29 | 11166.14 | 8746104.60 | 1.54 | 20000 | 20000 | 319 | 15 | 72 | 7441.05 |
| 30 | -2466.46 | 8760968.04 | 3.07 | 20000 | 20000 | 319 | 15 | 52 | 7441.05 |
| 31 | -16121.80 | 8775819.36 | 3.07 | 20000 | 20000 | 319 | 15 | 40 | 7441.05 |
| 32 | -29777.99 | 8790670.21 | 3.07 | 20000 | 20000 | 319 | 15 | 52 | 7441.05 |
| 33 | -43456.97 | 8805531.54 | 1.54 | 20000 | 20000 | 319 | 15 | 48 | 7441.05 |
| 34 | -57136.30 | 8820381.71 | 1.54 | 20000 | 20000 | 319 | 15 | 40 | 7441.05 |
| 35 | -70826.96 | 8835231.86 | 1.54 | 20000 | 20000 | 319 | 15 | 44 | 7441.05 |
| 36 | 402077.87 | 8341649.54 | 4.61 | 20000 | 20000 | 319 | 15 | 52 | 12617.43 |
| 37 | 388847.36 | 8356624.94 | 6.15 | 20000 | 20000 | 319 | 15 | 60 | 12617.43 |
| 38 | 375589.82 | 8371582.85 | 6.15 | 20000 | 20000 | 319 | 15 | 64 | 12617.43 |
| 39 | 362326.85 | 8386545.67 | 6.15 | 20000 | 20000 | 319 | 15 | 64 | 12617.43 |
| 40 | 349037.19 | 8401491.35 | 4.61 | 20000 | 20000 | 319 | 15 | 56 | 12617.43 |
| 41 | 335742.50 | 8416431.27 | 3.07 | 20000 | 20000 | 319 | 15 | 56 | 12617.43 |
| 42 | 322432.09 | 8431376.61 | 4.61 | 20000 | 20000 | 319 | 15 | 68 | 12617.43 |
| 43 | 309095.48 | 8446305.36 | 7.69 | 20000 | 20000 | 319 | 15 | 60 | 12617.43 |
| 44 | 295754.34 | 8461228.93 | 7.69 | 20000 | 20000 | 319 | 15 | 64 | 12617.43 |
| 45 | 282387.13 | 8476158.40 | 7.69 | 20000 | 20000 | 319 | 15 | 64 | 12617.43 |
| 46 | 269015.83 | 8491072.01 | 9.22 | 20000 | 20000 | 319 | 15 | 68 | 12617.43 |
| 47 | 255629.59 | 8505992.00 | 7.69 | 20000 | 20000 | 319 | 15 | 64 | 12617.43 |
| 48 | 242217.94 | 8520896.32 | 6.15 | 20000 | 20000 | 319 | 15 | 64 | 12617.43 |
| 49 | 228802.61 | 8535796.43 | 3.07 | 20000 | 20000 | 319 | 15 | 80 | 12617.43 |
| 50 | 215361.96 | 8550703.38 | 3.07 | 20000 | 20000 | 319 | 15 | 72 | 12617.43 |
| 51 | 201918.07 | 8565595.46 | 1.54 | 20000 | 20000 | 319 | 15 | 56 | 12617.43 |
| 52 | 188460.14 | 8580483.80 | 3.07 | 20000 | 20000 | 319 | 15 | 64 | 12617.43 |
| 53 | 174977.33 | 8595379.57 | 6.15 | 20000 | 20000 | 319 | 15 | 60 | 12617.43 |
| 54 | 161491.80 | 8610261.05 | 9.22 | 20000 | 20000 | 319 | 15 | 52 | 12617.43 |
| 55 | 147981.82 | 8625139.26 | 10.76 | 20000 | 20000 | 319 | 15 | 56 | 12617.43 |
| 56 | 134469.18 | 8640025.73 | 13.83 | 20000 | 20000 | 319 | 15 | 64 | 12617.43 |
| 57 | 120932.53 | 8654898.25 | 13.83 | 20000 | 20000 | 319 | 15 | 68 | 12617.43 |
| 58 | 107393.54 | 8669779.44 | 10.76 | 20000 | 20000 | 319 | 15 | 68 | 12617.43 |
| 59 | 93841.76 | 8684647.20 | 7.69 | 20000 | 20000 | 319 | 15 | 68 | 12617.43 |
| 60 | 80266.28 | 8699512.67 | 6.15 | 20000 | 20000 | 319 | 15 | 60 | 12617.43 |
| 61 | 66688.95 | 8714387.43 | 4.61 | 20000 | 20000 | 319 | 15 | 48 | 12617.43 |
| 62 | 53088.37 | 8729249.20 | 1.54 | 20000 | 20000 | 319 | 15 | 44 | 12617.43 |
| 63 | 39486.42 | 8744109.59 | 1.54 | 20000 | 20000 | 319 | 15 | 40 | 12617.43 |
| 64 | 25872.15 | 8758979.72 | 1.54 | 20000 | 20000 | 319 | 15 | 64 | 12617.43 |
| 65 | 12235.10 | 8773837.47 | 3.07 | 20000 | 20000 | 319 | 15 | 60 | 12617.43 |



UNIVERSIDAD NACIONAL DE INGENIERÍA FACULTAD DE INGENIERÍA CIVIL

CENTRO PERUANO-JAPONÉS DE INVESTIGACIONES SÍSMICAS Y MITIGACIÓN DE DESASTRES



| Sub falla | Coordenada X (m) | Coordenada Y (m) | Deslizamiento (m) | Longitud (m) | Ancho (m) | Azimut (°) | Inmersión (°) | Deslizamiento (°) | Profundidad (m) |
|-----------|------------------|------------------|-------------------|--------------|-----------|------------|---------------|-------------------|-----------------|
| 66 | -1403.01 | 8788705.54 | 4.61 | 20000 | 20000 | 319 | 15 | 64 | 12617.43 |
| 67 | -15063.60 | 8803561.63 | 4.61 | 20000 | 20000 | 319 | 15 | 48 | 12617.43 |
| 68 | -28724.76 | 8818417.36 | 3.07 | 20000 | 20000 | 319 | 15 | 60 | 12617.43 |
| 69 | -42397.47 | 8833283.87 | 3.07 | 20000 | 20000 | 319 | 15 | 68 | 12617.43 |
| 70 | -56092.20 | 8848138.99 | 1.54 | 20000 | 20000 | 319 | 15 | 44 | 12617.43 |
| 71 | 416667.13 | 8354326.16 | 6.15 | 20000 | 20000 | 319 | 15 | 64 | 17793.81 |
| 72 | 403429.03 | 8369298.22 | 7.69 | 20000 | 20000 | 319 | 15 | 60 | 17793.81 |
| 73 | 390185.44 | 8384274.92 | 7.69 | 20000 | 20000 | 319 | 15 | 72 | 17793.81 |
| 74 | 376915.09 | 8399234.23 | 7.69 | 20000 | 20000 | 319 | 15 | 68 | 17793.81 |
| 75 | 363639.58 | 8414198.56 | 7.69 | 20000 | 20000 | 319 | 15 | 52 | 17793.81 |
| 76 | 350348.43 | 8429145.93 | 6.15 | 20000 | 20000 | 319 | 15 | 44 | 17793.81 |
| 77 | 337030.95 | 8444087.51 | 6.15 | 20000 | 20000 | 319 | 15 | 60 | 17793.81 |
| 78 | 323708.81 | 8459034.69 | 9.22 | 20000 | 20000 | 319 | 15 | 60 | 17793.81 |
| 79 | 310360.71 | 8473965.39 | 10.76 | 20000 | 20000 | 319 | 15 | 56 | 17793.81 |
| 80 | 297008.37 | 8488891.01 | 10.76 | 20000 | 20000 | 319 | 15 | 64 | 17793.81 |
| 81 | 283630.22 | 8503822.64 | 12.30 | 20000 | 20000 | 319 | 15 | 64 | 17793.81 |
| 82 | 270248.26 | 8518738.53 | 12.30 | 20000 | 20000 | 319 | 15 | 60 | 17793.81 |
| 83 | 256851.72 | 8533649.83 | 9.22 | 20000 | 20000 | 319 | 15 | 64 | 17793.81 |
| 84 | 243429.83 | 8548567.72 | 6.15 | 20000 | 20000 | 319 | 15 | 64 | 17793.81 |
| 85 | 230004.64 | 8563470.44 | 4.61 | 20000 | 20000 | 319 | 15 | 68 | 17793.81 |
| 86 | 216554.38 | 8578380.12 | 3.07 | 20000 | 20000 | 319 | 15 | 56 | 17793.81 |
| 87 | 203101.17 | 8593275.03 | 4.61 | 20000 | 20000 | 319 | 15 | 40 | 17793.81 |
| 88 | 189634.18 | 8608166.33 | 7.69 | 20000 | 20000 | 319 | 15 | 44 | 17793.81 |
| 89 | 176142.58 | 8623065.17 | 10.76 | 20000 | 20000 | 319 | 15 | 44 | 17793.81 |
| 90 | 162648.53 | 8637949.83 | 12.30 | 20000 | 20000 | 319 | 15 | 48 | 17793.81 |
| 91 | 149130.29 | 8652831.35 | 13.83 | 20000 | 20000 | 319 | 15 | 56 | 17793.81 |
| 92 | 135609.67 | 8667721.24 | 13.83 | 20000 | 20000 | 319 | 15 | 60 | 17793.81 |
| 93 | 122076.20 | 8682597.43 | 12.30 | 20000 | 20000 | 319 | 15 | 64 | 17793.81 |
| 94 | 108518.86 | 8697482.14 | 10.76 | 20000 | 20000 | 319 | 15 | 68 | 17793.81 |
| 95 | 94959.90 | 8712353.68 | 9.22 | 20000 | 20000 | 319 | 15 | 64 | 17793.81 |
| 96 | 81377.52 | 8727223.05 | 6.15 | 20000 | 20000 | 319 | 15 | 60 | 17793.81 |
| 97 | 67793.55 | 8742101.82 | 3.07 | 20000 | 20000 | 319 | 15 | 72 | 17793.81 |
| 98 | 54197.54 | 8756967.88 | 1.54 | 20000 | 20000 | 319 | 15 | 56 | 17793.81 |
| 99 | 40829.28 | 8771913.53 | 0.00 | 20000 | 20000 | 319 | 15 | 0 | 17793.81 |
| 100 | 26958.47 | 8786706.89 | 1.54 | 20000 | 20000 | 319 | 15 | 60 | 17793.81 |
| 101 | 13315.85 | 8801569.14 | 3.07 | 20000 | 20000 | 319 | 15 | 56 | 17793.81 |
| 102 | -327.37 | 8816430.75 | 3.07 | 20000 | 20000 | 319 | 15 | 52 | 17793.81 |
| 103 | -13993.15 | 8831302.67 | 3.07 | 20000 | 20000 | 319 | 15 | 64 | 17793.81 |
| 104 | -27659.05 | 8846163.27 | 3.07 | 20000 | 20000 | 319 | 15 | 60 | 17793.81 |
| 105 | -41336.22 | 8861034.77 | 1.54 | 20000 | 20000 | 319 | 15 | 60 | 17793.81 |
| 106 | 431260.95 | 8366992.97 | 4.61 | 20000 | 20000 | 319 | 15 | 76 | 22970.19 |
| 107 | 418036.58 | 8381972.80 | 6.15 | 20000 | 20000 | 319 | 15 | 60 | 22970.19 |
| 108 | 404785.35 | 8396946.05 | 6.15 | 20000 | 20000 | 319 | 15 | 76 | 22970.19 |
| 109 | 391528.91 | 8411924.03 | 6.15 | 20000 | 20000 | 319 | 15 | 64 | 22970.19 |
| 110 | 378245.96 | 8426884.74 | 7.69 | 20000 | 20000 | 319 | 15 | 48 | 22970.19 |
| 111 | 364958.20 | 8441839.51 | 7.69 | 20000 | 20000 | 319 | 15 | 48 | 22970.19 |
| 112 | 351654.94 | 8456799.54 | 9.22 | 20000 | 20000 | 319 | 15 | 52 | 22970.19 |
| 113 | 338325.66 | 8471742.83 | 12.30 | 20000 | 20000 | 319 | 15 | 60 | 22970.19 |
| 114 | 324992.01 | 8486691.83 | 13.83 | 20000 | 20000 | 319 | 15 | 60 | 22970.19 |
| 115 | 311632.66 | 8501624.46 | 12.30 | 20000 | 20000 | 319 | 15 | 56 | 22970.19 |
| 116 | 298269.34 | 8516552.12 | 12.30 | 20000 | 20000 | 319 | 15 | 60 | 22970.19 |
| 117 | 284891.31 | 8531485.99 | 13.83 | 20000 | 20000 | 319 | 15 | 56 | 22970.19 |
| 118 | 271488.07 | 8546404.05 | 12.30 | 20000 | 20000 | 319 | 15 | 56 | 22970.19 |
| 119 | 258081.36 | 8561317.73 | 9.22 | 20000 | 20000 | 319 | 15 | 64 | 22970.19 |
| 120 | 244649.56 | 8576238.10 | 7.69 | 20000 | 20000 | 319 | 15 | 68 | 22970.19 |
| 121 | 231214.73 | 8591143.42 | 6.15 | 20000 | 20000 | 319 | 15 | 60 | 22970.19 |
| 122 | 217765.97 | 8606055.92 | 7.69 | 20000 | 20000 | 319 | 15 | 48 | 22970.19 |
| 123 | 204292.78 | 8620953.55 | 10.76 | 20000 | 20000 | 319 | 15 | 40 | 22970.19 |
| 124 | 190816.96 | 8635847.80 | 13.83 | 20000 | 20000 | 319 | 15 | 44 | 22970.19 |
| 125 | 177316.79 | 8650749.69 | 15.37 | 20000 | 20000 | 319 | 15 | 44 | 22970.19 |
| 126 | 163814.44 | 8665637.53 | 15.37 | 20000 | 20000 | 319 | 15 | 48 | 22970.19 |
| 127 | 150288.17 | 8680522.34 | 13.83 | 20000 | 20000 | 319 | 15 | 52 | 22970.19 |
| 128 | 136759.80 | 8695415.64 | 12.30 | 20000 | 20000 | 319 | 15 | 60 | 22970.19 |
| 129 | 123218.85 | 8710295.36 | 12.30 | 20000 | 20000 | 319 | 15 | 64 | 22970.19 |
| 130 | 109654.42 | 8725172.64 | 10.76 | 20000 | 20000 | 319 | 15 | 64 | 22970.19 |
| 131 | 96088.38 | 8740059.02 | 7.69 | 20000 | 20000 | 319 | 15 | 52 | 22970.19 |
| 132 | 82499.31 | 8754932.28 | 4.61 | 20000 | 20000 | 319 | 15 | 48 | 22970.19 |
| 133 | 68908.94 | 8769815.05 | 1.54 | 20000 | 20000 | 319 | 15 | 72 | 22970.19 |



UNIVERSIDAD NACIONAL DE INGENIERÍA FACULTAD DE INGENIERÍA CIVIL

CENTRO PERUANO-JAPONÉS DE INVESTIGACIONES SÍSMICAS Y MITIGACIÓN DE DESASTRES



| Sub falla | Coordenada X (m) | Coordenada Y (m) | Deslizamiento (m) | Longitud (m) | Ancho (m) | Azimut (°) | Inmersión (°) | Deslizamiento (°) | Profundidad (m) |
|-----------|------------------|------------------|-------------------|--------------|-----------|------------|---------------|-------------------|-----------------|
| 134 | 55557.78 | 8784755.15 | 0.00 | 20000 | 20000 | 319 | 15 | 0 | 22970.19 |
| 135 | 42194.97 | 8799705.17 | 0.00 | 20000 | 20000 | 319 | 15 | 0 | 22970.19 |
| 136 | 28056.25 | 8814432.86 | 1.54 | 20000 | 20000 | 319 | 15 | 60 | 22970.19 |
| 137 | 14408.31 | 8829299.61 | 1.54 | 20000 | 20000 | 319 | 15 | 64 | 22970.19 |
| 138 | 760.03 | 8844165.83 | 3.07 | 20000 | 20000 | 319 | 15 | 52 | 22970.19 |
| 139 | -12899.55 | 8859042.65 | 1.54 | 20000 | 20000 | 319 | 15 | 44 | 22970.19 |
| 140 | -26580.94 | 8873907.95 | 1.54 | 20000 | 20000 | 319 | 15 | 52 | 22970.19 |
| 141 | 445880.77 | 8379639.18 | 3.07 | 20000 | 20000 | 319 | 15 | 48 | 28146.57 |
| 142 | 432648.43 | 8394637.73 | 3.07 | 20000 | 20000 | 319 | 15 | 56 | 28146.57 |
| 143 | 419410.90 | 8409618.62 | 4.61 | 20000 | 20000 | 319 | 15 | 56 | 28146.57 |
| 144 | 406146.75 | 8424593.03 | 3.07 | 20000 | 20000 | 319 | 15 | 52 | 28146.57 |
| 145 | 392877.68 | 8439572.29 | 4.61 | 20000 | 20000 | 319 | 15 | 52 | 28146.57 |
| 146 | 379593.16 | 8454534.43 | 7.69 | 20000 | 20000 | 319 | 15 | 60 | 28146.57 |
| 147 | 366282.50 | 8469490.63 | 9.22 | 20000 | 20000 | 319 | 15 | 56 | 28146.57 |
| 148 | 352967.42 | 8484452.25 | 12.30 | 20000 | 20000 | 319 | 15 | 60 | 28146.57 |
| 149 | 339626.57 | 8499397.24 | 13.83 | 20000 | 20000 | 319 | 15 | 64 | 28146.57 |
| 150 | 326281.63 | 8514348.05 | 12.30 | 20000 | 20000 | 319 | 15 | 56 | 28146.57 |
| 151 | 312922.08 | 8529282.67 | 13.83 | 20000 | 20000 | 319 | 15 | 56 | 28146.57 |
| 152 | 299537.17 | 8544212.28 | 13.83 | 20000 | 20000 | 319 | 15 | 52 | 28146.57 |
| 153 | 286148.66 | 8559148.29 | 12.30 | 20000 | 20000 | 319 | 15 | 48 | 28146.57 |
| 154 | 272735.19 | 8574068.60 | 10.76 | 20000 | 20000 | 319 | 15 | 52 | 28146.57 |
| 155 | 259318.53 | 8588984.63 | 9.22 | 20000 | 20000 | 319 | 15 | 64 | 28146.57 |
| 156 | 245877.04 | 8603907.48 | 9.22 | 20000 | 20000 | 319 | 15 | 60 | 28146.57 |
| 157 | 232432.79 | 8618815.39 | 10.76 | 20000 | 20000 | 319 | 15 | 48 | 28146.57 |
| 158 | 218975.00 | 8633719.52 | 12.30 | 20000 | 20000 | 319 | 15 | 40 | 28146.57 |
| 159 | 205492.82 | 8648631.04 | 13.83 | 20000 | 20000 | 319 | 15 | 40 | 28146.57 |
| 160 | 192008.40 | 8663528.21 | 15.37 | 20000 | 20000 | 319 | 15 | 48 | 28146.57 |
| 161 | 178499.89 | 8678433.15 | 13.83 | 20000 | 20000 | 319 | 15 | 56 | 28146.57 |
| 162 | 164989.47 | 8693324.16 | 15.37 | 20000 | 20000 | 319 | 15 | 56 | 28146.57 |
| 163 | 151466.31 | 8708212.37 | 13.83 | 20000 | 20000 | 319 | 15 | 64 | 28146.57 |
| 164 | 137919.49 | 8723108.95 | 13.83 | 20000 | 20000 | 319 | 15 | 60 | 28146.57 |
| 165 | 124371.28 | 8737992.18 | 12.30 | 20000 | 20000 | 319 | 15 | 64 | 28146.57 |
| 166 | 110799.86 | 8752873.10 | 9.22 | 20000 | 20000 | 319 | 15 | 56 | 28146.57 |
| 167 | 97227.11 | 8767763.23 | 6.15 | 20000 | 20000 | 319 | 15 | 56 | 28146.57 |
| 168 | 83642.52 | 8782640.50 | 3.07 | 20000 | 20000 | 319 | 15 | 52 | 28146.57 |
| 169 | 70297.07 | 8797597.02 | 0.00 | 20000 | 20000 | 319 | 15 | 0 | 28146.57 |
| 170 | 56940.37 | 8812541.21 | 0.00 | 20000 | 20000 | 319 | 15 | 0 | 28146.57 |
| 171 | 42796.48 | 8827274.41 | 1.54 | 20000 | 20000 | 319 | 15 | 72 | 28146.57 |
| 172 | 29165.44 | 8842157.65 | 1.54 | 20000 | 20000 | 319 | 15 | 64 | 28146.57 |
| 173 | 15512.39 | 8857028.88 | 1.54 | 20000 | 20000 | 319 | 15 | 44 | 28146.57 |
| 174 | 1859.30 | 8871899.70 | 1.54 | 20000 | 20000 | 319 | 15 | 40 | 28146.57 |
| 175 | -11508.97 | 8886852.02 | 0.00 | 20000 | 20000 | 319 | 15 | 0 | 28146.57 |
| 176 | 460504.91 | 8392287.04 | 1.54 | 20000 | 20000 | 319 | 15 | 60 | 33322.95 |
| 177 | 447286.04 | 8407282.20 | 1.54 | 20000 | 20000 | 319 | 15 | 64 | 33322.95 |
| 178 | 434040.48 | 8422281.70 | 1.54 | 20000 | 20000 | 319 | 15 | 80 | 33322.95 |
| 179 | 420789.99 | 8437263.63 | 1.54 | 20000 | 20000 | 319 | 15 | 60 | 33322.95 |
| 180 | 407513.16 | 8452239.20 | 3.07 | 20000 | 20000 | 319 | 15 | 80 | 33322.95 |
| 181 | 394231.68 | 8467219.71 | 6.15 | 20000 | 20000 | 319 | 15 | 76 | 33322.95 |
| 182 | 380935.02 | 8482183.20 | 7.69 | 20000 | 20000 | 319 | 15 | 72 | 33322.95 |
| 183 | 367612.47 | 8497140.87 | 10.76 | 20000 | 20000 | 319 | 15 | 72 | 33322.95 |
| 184 | 354285.79 | 8512104.07 | 13.83 | 20000 | 20000 | 319 | 15 | 68 | 33322.95 |
| 185 | 340944.43 | 8527050.81 | 12.30 | 20000 | 20000 | 319 | 15 | 68 | 33322.95 |
| 186 | 327577.65 | 8541992.28 | 12.30 | 20000 | 20000 | 319 | 15 | 60 | 33322.95 |
| 187 | 314207.23 | 8556939.87 | 13.83 | 20000 | 20000 | 319 | 15 | 52 | 33322.95 |
| 188 | 300811.78 | 8571871.49 | 13.83 | 20000 | 20000 | 319 | 15 | 40 | 33322.95 |
| 189 | 287413.01 | 8586809.62 | 10.76 | 20000 | 20000 | 319 | 15 | 44 | 33322.95 |
| 190 | 273989.53 | 8601732.17 | 9.22 | 20000 | 20000 | 319 | 15 | 52 | 33322.95 |
| 191 | 260563.15 | 8616650.56 | 10.76 | 20000 | 20000 | 319 | 15 | 52 | 33322.95 |
| 192 | 247123.07 | 8631575.96 | 10.76 | 20000 | 20000 | 319 | 15 | 48 | 33322.95 |
| 193 | 233658.76 | 8646486.34 | 10.76 | 20000 | 20000 | 319 | 15 | 44 | 33322.95 |
| 194 | 220192.05 | 8661393.16 | 10.76 | 20000 | 20000 | 319 | 15 | 40 | 33322.95 |
| 195 | 206701.22 | 8676307.49 | 12.30 | 20000 | 20000 | 319 | 15 | 48 | 33322.95 |
| 196 | 193208.42 | 8691207.58 | 12.30 | 20000 | 20000 | 319 | 15 | 56 | 33322.95 |
| 197 | 179702.70 | 8706115.67 | 13.83 | 20000 | 20000 | 319 | 15 | 64 | 33322.95 |
| 198 | 166173.53 | 8721009.71 | 13.83 | 20000 | 20000 | 319 | 15 | 56 | 33322.95 |
| 199 | 152642.80 | 8735901.19 | 13.83 | 20000 | 20000 | 319 | 15 | 52 | 33322.95 |
| 200 | 139088.68 | 8750801.16 | 12.30 | 20000 | 20000 | 319 | 15 | 56 | 33322.95 |
| 201 | 125533.44 | 8765687.90 | 9.22 | 20000 | 20000 | 319 | 15 | 60 | 33322.95 |



UNIVERSIDAD NACIONAL DE INGENIERÍA FACULTAD DE INGENIERÍA CIVIL

CENTRO PERUANO-JAPONÉS DE INVESTIGACIONES SÍSMICAS Y MITIGACIÓN DE DESASTRES

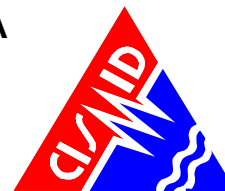


| Sub falla | Coordenada X (m) | Coordenada Y (m) | Deslizamiento (m) | Longitud (m) | Ancho (m) | Azimut (°) | Inmersión (°) | Deslizamiento (°) | Profundidad (m) |
|-----------|------------------|------------------|-------------------|--------------|-----------|------------|---------------|-------------------|-----------------|
| 202 | 111966.19 | 8780572.57 | 6.15 | 20000 | 20000 | 319 | 15 | 48 | 33322.95 |
| 203 | 98376.01 | 8795466.31 | 3.07 | 20000 | 20000 | 319 | 15 | 52 | 33322.95 |
| 204 | 84785.21 | 8810347.45 | 1.54 | 20000 | 20000 | 319 | 15 | 40 | 33322.95 |
| 205 | 71171.90 | 8825226.98 | 1.54 | 20000 | 20000 | 319 | 15 | 68 | 33322.95 |
| 206 | 57558.04 | 8840116.47 | 1.54 | 20000 | 20000 | 319 | 15 | 60 | 33322.95 |
| 207 | 43922.11 | 8854993.68 | 1.54 | 20000 | 20000 | 319 | 15 | 56 | 33322.95 |
| 208 | 30285.95 | 8869881.26 | 1.54 | 20000 | 20000 | 319 | 15 | 52 | 33322.95 |
| 209 | 16934.81 | 8884827.62 | 0.00 | 20000 | 20000 | 319 | 15 | 0 | 33322.95 |
| 210 | 3562.08 | 8899784.63 | 0.00 | 20000 | 20000 | 319 | 15 | 0 | 33322.95 |
| 211 | 475154.84 | 8404914.66 | 1.54 | 20000 | 20000 | 319 | 15 | 76 | 38499.33 |
| 212 | 461927.70 | 8419928.48 | 1.54 | 20000 | 20000 | 319 | 15 | 52 | 38499.33 |
| 213 | 448695.57 | 8434924.46 | 1.54 | 20000 | 20000 | 319 | 15 | 56 | 38499.33 |
| 214 | 435437.03 | 8449913.82 | 1.54 | 20000 | 20000 | 319 | 15 | 56 | 38499.33 |
| 215 | 422173.79 | 8464907.84 | 3.07 | 20000 | 20000 | 319 | 15 | 60 | 38499.33 |
| 216 | 408895.30 | 8479884.58 | 4.61 | 20000 | 20000 | 319 | 15 | 44 | 38499.33 |
| 217 | 395590.82 | 8494866.30 | 6.15 | 20000 | 20000 | 319 | 15 | 68 | 38499.33 |
| 218 | 382282.24 | 8509831.14 | 7.69 | 20000 | 20000 | 319 | 15 | 76 | 38499.33 |
| 219 | 368948.03 | 8524790.26 | 10.76 | 20000 | 20000 | 319 | 15 | 64 | 38499.33 |
| 220 | 355609.96 | 8539755.02 | 12.30 | 20000 | 20000 | 319 | 15 | 60 | 38499.33 |
| 221 | 342257.49 | 8554703.43 | 12.30 | 20000 | 20000 | 319 | 15 | 56 | 38499.33 |
| 222 | 328879.86 | 8569646.68 | 12.30 | 20000 | 20000 | 319 | 15 | 48 | 38499.33 |
| 223 | 315498.86 | 8584596.15 | 12.30 | 20000 | 20000 | 319 | 15 | 40 | 38499.33 |
| 224 | 302093.09 | 8599529.77 | 10.76 | 20000 | 20000 | 319 | 15 | 40 | 38499.33 |
| 225 | 288684.28 | 8614470.02 | 9.22 | 20000 | 20000 | 319 | 15 | 44 | 38499.33 |
| 226 | 275261.90 | 8629394.87 | 10.76 | 20000 | 20000 | 319 | 15 | 44 | 38499.33 |
| 227 | 261815.14 | 8644315.50 | 10.76 | 20000 | 20000 | 319 | 15 | 48 | 38499.33 |
| 228 | 248365.84 | 8659243.35 | 9.22 | 20000 | 20000 | 319 | 15 | 44 | 38499.33 |
| 229 | 234892.56 | 8674156.30 | 7.69 | 20000 | 20000 | 319 | 15 | 44 | 38499.33 |
| 230 | 221417.15 | 8689065.80 | 9.22 | 20000 | 20000 | 319 | 15 | 56 | 38499.33 |
| 231 | 207928.80 | 8703983.02 | 10.76 | 20000 | 20000 | 319 | 15 | 64 | 38499.33 |
| 232 | 194416.93 | 8718885.91 | 12.30 | 20000 | 20000 | 319 | 15 | 64 | 38499.33 |
| 233 | 180903.45 | 8733785.96 | 12.30 | 20000 | 20000 | 319 | 15 | 56 | 38499.33 |
| 234 | 167366.55 | 8748694.21 | 13.83 | 20000 | 20000 | 319 | 15 | 48 | 38499.33 |
| 235 | 153828.47 | 8763588.95 | 12.30 | 20000 | 20000 | 319 | 15 | 48 | 38499.33 |
| 236 | 140267.27 | 8778492.29 | 9.22 | 20000 | 20000 | 319 | 15 | 48 | 38499.33 |
| 237 | 126705.23 | 8793382.52 | 4.61 | 20000 | 20000 | 319 | 15 | 44 | 38499.33 |
| 238 | 113131.45 | 8808270.80 | 3.07 | 20000 | 20000 | 319 | 15 | 68 | 38499.33 |
| 239 | 99535.00 | 8823168.28 | 1.54 | 20000 | 20000 | 319 | 15 | 60 | 38499.33 |
| 240 | 85938.21 | 8838053.26 | 1.54 | 20000 | 20000 | 319 | 15 | 56 | 38499.33 |
| 241 | 72603.49 | 8853017.83 | 0.00 | 20000 | 20000 | 319 | 15 | 0 | 38499.33 |
| 242 | 59269.05 | 8867970.46 | 0.00 | 20000 | 20000 | 319 | 15 | 0 | 38499.33 |
| 243 | 45912.84 | 8882933.23 | 0.00 | 20000 | 20000 | 319 | 15 | 0 | 38499.33 |
| 244 | 32557.11 | 8897895.54 | 0.00 | 20000 | 20000 | 319 | 15 | 0 | 38499.33 |
| 245 | 19180.19 | 8912846.23 | 0.00 | 20000 | 20000 | 319 | 15 | 0 | 38499.33 |
| 246 | 489808.88 | 8417544.32 | 1.54 | 20000 | 20000 | 319 | 15 | 52 | 43675.71 |
| 247 | 476594.91 | 8432554.66 | 1.54 | 20000 | 20000 | 319 | 15 | 44 | 43675.71 |
| 248 | 463354.45 | 8447569.18 | 1.54 | 20000 | 20000 | 319 | 15 | 64 | 43675.71 |
| 249 | 450109.28 | 8462565.97 | 1.54 | 20000 | 20000 | 319 | 15 | 64 | 43675.71 |
| 250 | 436848.76 | 8477556.26 | 1.54 | 20000 | 20000 | 319 | 15 | 48 | 43675.71 |
| 251 | 423562.21 | 8492551.27 | 1.54 | 20000 | 20000 | 319 | 15 | 56 | 43675.71 |
| 252 | 410271.48 | 8507529.12 | 3.07 | 20000 | 20000 | 319 | 15 | 40 | 43675.71 |
| 253 | 396955.02 | 8522512.06 | 4.61 | 20000 | 20000 | 319 | 15 | 64 | 43675.71 |
| 254 | 383634.74 | 8537478.23 | 7.69 | 20000 | 20000 | 319 | 15 | 56 | 43675.71 |
| 255 | 370299.93 | 8552438.85 | 10.76 | 20000 | 20000 | 319 | 15 | 56 | 43675.71 |
| 256 | 356939.86 | 8567405.10 | 10.76 | 20000 | 20000 | 319 | 15 | 52 | 43675.71 |
| 257 | 343576.49 | 8582355.16 | 10.76 | 20000 | 20000 | 319 | 15 | 44 | 43675.71 |
| 258 | 330188.23 | 8597300.18 | 9.22 | 20000 | 20000 | 319 | 15 | 44 | 43675.71 |
| 259 | 316796.88 | 8612251.52 | 7.69 | 20000 | 20000 | 319 | 15 | 48 | 43675.71 |
| 260 | 303381.02 | 8627187.13 | 6.15 | 20000 | 20000 | 319 | 15 | 44 | 43675.71 |
| 261 | 289962.48 | 8642118.41 | 6.15 | 20000 | 20000 | 319 | 15 | 40 | 43675.71 |
| 262 | 276530.47 | 8657056.53 | 6.15 | 20000 | 20000 | 319 | 15 | 40 | 43675.71 |
| 263 | 263074.43 | 8671979.49 | 4.61 | 20000 | 20000 | 319 | 15 | 48 | 43675.71 |
| 264 | 249616.12 | 8686909.77 | 4.61 | 20000 | 20000 | 319 | 15 | 56 | 43675.71 |
| 265 | 236134.09 | 8701825.27 | 6.15 | 20000 | 20000 | 319 | 15 | 64 | 43675.71 |
| 266 | 222650.22 | 8716737.43 | 7.69 | 20000 | 20000 | 319 | 15 | 56 | 43675.71 |
| 267 | 209153.67 | 8731657.42 | 7.69 | 20000 | 20000 | 319 | 15 | 60 | 43675.71 |
| 268 | 195633.87 | 8746563.21 | 9.22 | 20000 | 20000 | 319 | 15 | 56 | 43675.71 |
| 269 | 182112.73 | 8761466.27 | 9.22 | 20000 | 20000 | 319 | 15 | 44 | 43675.71 |



UNIVERSIDAD NACIONAL DE INGENIERÍA
FACULTAD DE INGENIERÍA CIVIL

CENTRO PERUANO-JAPONÉS DE INVESTIGACIONES
SÍSMICAS Y MITIGACIÓN DE DESASTRES



| Sub falla | Coordenada X (m) | Coordenada Y (m) | Deslizamiento (m) | Longitud (m) | Ancho (m) | Azimut (°) | Inmersión (°) | Deslizamiento (°) | Profundidad (m) |
|-----------|------------------|------------------|-------------------|--------------|-----------|------------|---------------|-------------------|-----------------|
| 270 | 168568.43 | 8776377.65 | 10.76 | 20000 | 20000 | 319 | 15 | 40 | 43675.71 |
| 271 | 155023.24 | 8791275.63 | 7.69 | 20000 | 20000 | 319 | 15 | 44 | 43675.71 |
| 272 | 141466.14 | 8806182.45 | 4.61 | 20000 | 20000 | 319 | 15 | 40 | 43675.71 |
| 273 | 127886.57 | 8821076.05 | 3.07 | 20000 | 20000 | 319 | 15 | 44 | 43675.71 |
| 274 | 114306.49 | 8835967.93 | 3.07 | 20000 | 20000 | 319 | 15 | 60 | 43675.71 |
| 275 | 100704.00 | 8850869.13 | 1.54 | 20000 | 20000 | 319 | 15 | 40 | 43675.71 |
| 276 | 87101.45 | 8865757.95 | 1.54 | 20000 | 20000 | 319 | 15 | 72 | 43675.71 |
| 277 | 73772.46 | 8880726.52 | 0.00 | 20000 | 20000 | 319 | 15 | 0 | 43675.71 |
| 278 | 60444.04 | 8895683.26 | 0.00 | 20000 | 20000 | 319 | 15 | 0 | 43675.71 |
| 279 | 47094.12 | 8910650.27 | 0.00 | 20000 | 20000 | 319 | 15 | 0 | 43675.71 |
| 280 | 33733.96 | 8925616.80 | 0.00 | 20000 | 20000 | 319 | 15 | 0 | 43675.71 |

ANEXO II. Tabla de los parámetros de la fuente sísmica que considera 5 sub fallas.

| Sub falla | Coordenada X (m) | Coordenada Y (m) | Deslizamiento (m) | Longitud (m) | Ancho (m) | Azimut (°) | Inmersión (°) | Deslizamiento (°) | Profundidad (m) |
|-----------|------------------|------------------|-------------------|--------------|-----------|------------|---------------|-------------------|-----------------|
| 1 | 238821.00 | 8428801.00 | 9.00 | 110000 | 140000 | 329 | 20 | 90 | 8000.00 |
| 2 | 182650.00 | 8522063.00 | 17.50 | 110000 | 140000 | 329 | 20 | 90 | 8000.00 |
| 3 | 126139.00 | 8615283.00 | 17.00 | 110000 | 140000 | 329 | 20 | 90 | 8000.00 |
| 4 | 69317.00 | 8708472.00 | 7.00 | 110000 | 140000 | 329 | 20 | 90 | 8000.00 |
| 5 | 12218.00 | 8801664.00 | 7.00 | 110000 | 140000 | 329 | 20 | 90 | 8000.00 |